# Dévissages des F-complexes de $\mathfrak{D}$ -modules arithmétiques en F-isocristaux surconvergents

#### **Daniel Caro**

NWF I - Mathematik Universität Regensburg Universitätsstraße 31 93053 Regensburg DEUTSCHLAND

Received: / Revised version:

**Résumé** Nous définissons et étudions les dévissages des F-complexes de  $\mathbb D$ -modules arithmétiques en F-isocristaux surconvergents. Nous prouvons que les F-complexes surholonomes sont dévissables en F-isocristaux surconvergents. On établit ensuite une formule cohomologique, étendant celle d'Étesse et Le Stum, des fonctions L associées aux duaux des F-complexes de  $\mathbb D$ -modules arithmétiques dévissables en F-isocristaux surconvergents. Puis, nous obtenons un analogue p-adique de Weil II généralisant celui de Kedlaya.

**Key words.** Arithmetical  $\mathcal{D}$ -modules, overconvergent isocrystal, Frobenius, holonomicity, L-function, weight

#### Table des matières

1.	Isocristaux surconvergents sur les schémas affines et lisses							4
2.	F-isocristaux surcohérents sur les schémas lisses							38
3.	$F\text{-}\mathrm{complexes}$ de $\mathfrak D\text{-}\mathrm{modules}$ arithmétiques dévissables $\ .$ .							62

## Introduction

Soient X un schéma lisse sur le corps des complexes et  $\mathcal{D}_X$  l'anneau des opérateurs différentiels sur X. Pour tout  $\mathcal{D}_X$ -module (toujours à gauche par défaut) holonome  $\mathcal{E}$ , il existe un ouvert dense sur lequel  $\mathcal{E}$  devient  $\mathcal{O}_X$ -cohérent. Plus généralement, si  $\mathcal{E}$  est un complexe de  $\mathcal{D}_X$ -modules à cohomologie bornée et holonome, il existe une partition de  $X = \cup_r X_r$  en sous-schémas lisses telle que la restriction de  $\mathcal{E}$  sur chaque strate  $X_r$  soit à cohomologie  $\mathcal{O}_{X_r}$ -cohérente. On remarque qu'un analogue l-adique est

le dévissage au dessus d'une stratification d'un faisceau constructible en faisceaux lisses.

Le but de ce travail est de fournir un analogue *p*-adique de ce dévissage. Précisons d'abord celui-ci.

Soient  $\mathcal V$  un anneau de valuation discrète complet d'inégales caractéristiques (0,p), de corps résiduels k, de corps des fractions K,  $\mathcal P$  un  $\mathcal V$ -schéma formel lisse, P sa fibre spéciale, T un diviseur de P, et U l'ouvert de P complémentaire de T. Berthelot a construit le faisceau des opérateurs différentiels d'ordre infini et de niveau fini sur  $\mathcal P$  à singularités surconvergentes le long de T,  $\mathcal D_{\mathcal P}^\dagger(^\dagger T)_{\mathbb Q}$  (voir [Ber96a]). Ce faisceau est l'analogue p-adique de  $\mathcal D_U$ . Pour illustrer ce fait, rappelons qu'il existe un foncteur canonique pleinement fidèle de la catégorie des (F-)isocristaux sur U surconvergent le long de T dans celle des (F-) $\mathcal D_{\mathcal P}^\dagger(^\dagger T)_{\mathbb Q}$ -modules cohérents ([Ber96a, 4.4.5] et [Ber00]).

Berthelot conjecture que l'image essentielle des F-isocristaux sur U surconvergent le long de T est incluse dans celle des F- $\mathcal{D}_{\mathcal{P},\mathbb{Q}}^{\dagger}$ -modules holonomes (pour la structure induite par l'extension  $\mathcal{D}_{\mathcal{P},\mathbb{Q}}^{\dagger} \to \mathcal{D}_{\mathcal{P}}^{\dagger}(^{\dagger}T)_{\mathbb{Q}}$ ). Réciproquement, soit  $\mathcal{E}$  un F- $\mathcal{D}_{\mathcal{P},\mathbb{Q}}^{\dagger}$ -module holonome. Il existe alors un diviseur  $T_{\mathcal{E}}$  de P tel que la « restriction » (avec le sens de [CarO4b, 2.2.6]) de  $\mathcal{E}$  en dehors de  $T_{\mathcal{E}}$  soit un F-isocristal sur  $P \setminus T_{\mathcal{E}}$  surconvergent le long de  $T_{\mathcal{E}}$ .

Pour donner un sens aux dévissages de F-complexes de  $\mathcal{D}$ -modules arithmétiques, il s'agit dans un premier temps d'exprimer, avec le langage des  $\mathcal{D}$ -modules arithmétiques, un analogue p-adique des «  $\mathcal{D}_Y$ -modules  $\mathcal{O}_Y$ -cohérents », où Y est un schéma lisse sur le corps des complexes. Or, les « F-isocristaux surconvergents sur Y », avec Y un k-schéma séparé et lisse, forment de manière conjecturale cet analogue p-adique.

Pour valider cette analogie, il suffirait de construire un foncteur pleinement fidèle de la catégorie des F-isocristaux surconvergents sur Y dans celle des  $\mathcal D$ -modules arithmétiques « sur Y ». Comme on vient de le voir, un tel foncteur existe déjà lorsque Y est la fibre spéciale de l'ouvert (complémentaire d'un diviseur) d'un  $\mathcal V$ -schéma formel propre et lisse. L'étude du cas général fait l'objet de ce travail. Voici en gros le résultat obtenu.

Nous prouvons que, pour tout k-schéma lisse Y, il existe un ouvert dense  $\widetilde{Y}$  de Y et un foncteur canonique (explicite) pleinement fidèle de la catégorie des F-isocristaux surconvergents sur  $\widetilde{Y}$  dans celle des  $\mathcal{D}$ -modules arithmétiques sur  $\widetilde{Y}$ . Ainsi, cette construction est « génériquement » résolu.

Cela suffit ensuite à définir convenablement les « F-complexes de  ${\mathcal D}$ -modules dévissables en F-isocristaux surconvergents ».

L'intérêt fondamental de ces dévissages est de ramener l'étude des F-complexes de  $\mathcal{D}$ -modules dévissables à celle des F-isocristaux surconvergents. Voici un exemple de telle application.

Deligne a défini la notion de « faisceaux constructibles (pour la topologie étale l-adique) de poids mixte » (voir [Del80]) et a prouvé que le i-

ième espace de cohomologie de l'image directe extraordinaire d'un faisceau mixte de poids  $\leq n$  est un faisceau mixte de poids  $\leq n+i$ . Un tel résultat est nommé « Weil II » en raison des conjectures de Weil qui en découlent. Or, Kedlaya a prouvé un analogue p-adique de Weil II pour les F-isocristaux surconvergents ([Kedb]). Nous en déduisons alors par dévissage un analogue p-adique de Weil II pour les F-complexes de  $\mathbb D$ -modules arithmétiques dévissables.

Décrivons à présent le contenu des différentes parties de ce travail. Dans une première partie, nous étudions les  ${\mathbb D}$ -modules arithmétiques sur les  ${\mathcal V}$ -schémas formels faibles lisses. Nous comparons alors l'image directe, l'image inverse extraordinaire et le foncteur cohomologique local avec ceux défini sur les  ${\mathcal V}$ -schémas formels déduits par complétion.

Soient X un sous-schéma fermé d'un  $\mathcal{V}$ -schéma formel  $\mathcal{P}, T$  un diviseur de P, tel que  $Y:=X\setminus T$  soit lisse. Cette étude nous permet, lorsque Y est affine et lisse, de construire un foncteur pleinement fidèle de la catégorie des isocristaux surconvergents sur Y dans celle des  $\mathcal{D}_{\mathcal{P}}^{\dagger}(^{\dagger}T)_{\mathbb{Q}}$ -modules cohérents à support dans X. Il reste maintenant à caractériser son image essentielle. Avant de passer à la deuxième partie, signalons que ce premier travail s'inspire de la théorie des  $\mathcal{D}$ -modules arithmétiques élaborée par Mebkhout et Narváez-Macarro ([MNM90]) ainsi que du théorème de comparaison de Noot-Huyghe ([NH03]).

Dans une deuxième partie, nous construisons, sans supposer Y affine, une sous-catégorie pleine de celle des F- $\mathcal{D}^{\dagger}_{\mathcal{P}}(^{\dagger}T)_{\mathbb{Q}}$ -modules cohérents à support dans X. Nous nommerons ses objets « F-isocristaux surcohérents sur Y » (cette catégorie ne dépend que de Y lorsque  $\mathcal{P}$  est supposé propre). On construit ensuite un foncteur pleinement fidèle de la catégorie des F-isocristaux surcohérents sur Y dans celle des F-isocristaux surconvergents sur Y. Lorsque  $\mathcal{P}$  est propre et Y satisfait certaines propriétés géométriques, celles-ci étant au moins validées sur un ouvert dense de Y, on obtient en fait, via les deux foncteurs construits dans chacune des parties, une équivalence de catégorie entre les F-isocristaux surcohérents sur Y et les F-isocristaux surconvergents sur Y.

Dans une dernière partie, nous définissons les « F-complexes de  $\mathcal{D}$ -modules arithmétiques dévissables en F-isocristaux surconvergents ». Puis, nous décrivons une condition suffisante pratique pour obtenir un tel dévissage. On en tire en particulier que les F-complexes surholonomes (voir [Car]) se dévissent en F-isocristaux surconvergents.

Il faut souligner qu'une des conjectures de Berthelot sur la stabilité de l'holonomie ([Ber02, 5.3.6.D]) implique l'équivalence entre « surholonomie » et « holonomie », et entraı̂ne également celle entre « F-complexes dévissables » et « F-complexes holonomes ».

On termine ce travail en étendant quelques propriétés, notamment les formules cohomologiques des fonctions L et « Weil II », des F-isocristaux surconvergents aux F-complexes de  $\mathcal D$ -modules dévissables.

Notations Tout au long de cet article, nous garderons les notations suivantes : les  $\mathcal V$ -schémas formels seront notés par des lettres calligraphiques ou gothiques et leur fibre spéciale par les lettres romanes correspondantes. De plus, la lettre  $\mathcal V$  désignera un anneau de valuation discrète complet, de corps résiduel parfait k de caractéristique p>0, de corps de fractions K de caractéristique 0, d'idéal maximal m et  $\pi$  une uniformisante. Enfin,  $s\geq 1$  sera un entier naturel et F la puissance s-ième de l'endomorphisme de Frobenius. Les modules sont par défaut des modules à gauche. Si  $\mathcal E$  est un faisceau abélien,  $\mathcal E_{\mathbb Q}$  désignera  $\mathcal E \otimes_{\mathbb Z} \mathbb Q$ .

Si  $f:\mathfrak{X}'\to\mathfrak{X}$  est un morphisme de  $\mathcal{V}$ -schémas formels lisses,  $f_0$  (ou  $f):X'\to X$  sera le morphisme induit. Lorsque T et T' sont respectivement des diviseurs de X et X' tel que  $f(X'\setminus T')\subset X\setminus T$ , nous désignerons par  $f^!_{T',T}$  et  $f_{T,T',+}$  les foncteurs image inverse extraordinaire, image directe par f (voir [Ber02, 3.4, 3.5, 4.3] et [Car03, 1.1.5]) à singularités surconvergentes le long de T et T'. Si  $T'=f^{-1}(T)$ , on les notera  $f^!_T$  et  $f_{T,+}$ , ou simplement  $f^!$  et  $f_+$ . Les produits tensoriels externes et internes seront notés respectivement  $\boxtimes$  et  $\boxtimes^\dagger$  ([Ber02, 4.3]). En outre, si Z est un sous-schéma fermé de X,  $\mathbb{R} \underline{\Gamma}^\dagger_Z$  désignera le foncteur cohomologique local à support strict dans Z (au sens de [Car04b, 2.2.6]) et  $(^\dagger Z)$  le foncteur restriction ([Car04b, 2.2.6]). Si  $T'\subset T$  sont deux diviseurs de X, on notera abusivement  $(^\dagger T)$  à la place de  $(^\dagger T, T')$ . Pour tout diviseur T de X, nous désignerons par  $\mathbb{D}_{X,T}$  ou  $\mathbb{D}_T$ , le foncteur dual  $\mathbb{D}^\dagger_{\mathfrak{X}}(^\dagger T)_{\mathbb{Q}}$ -linéaire (voir [Vir00, I.3.2] pour la définition des foncteurs duaux). Si T est l'ensemble vide, nous noterons  $\mathbb{D}$ . Enfin, si aucune confusion n'est à craindre, il nous arriva d'omettre le foncteur canonique  $\mathbb{D}$ 

 $LD_{\mathbb{Q},qc}^{b}(\widehat{\mathcal{D}}_{\mathfrak{X}}^{(\cdot)}(T)) \to D(\mathcal{D}_{\mathfrak{X},\mathbb{Q}}^{\dagger}(^{\dagger}T))$  (voir [Ber02, 4.2.2] lorsque le diviseur est vide, mais la construction est analogue). Sauf mention du contraire, on supposera (sans nuire à la généralité) les k-schémas réduits.

### 1. Isocristaux surconvergents sur les schémas affines et lisses

# 1.1. D-modules sur les V-schémas formels faibles lisses

On appellera  $\mathcal{V}$ -algèbre f.c.t.f, une  $\mathcal{V}$ -algèbre commutative faiblement complète de type fini, i.e., un quotient de  $\mathcal{V}[t_1,\ldots,t_d]^{\dagger}$ . Une  $\mathcal{V}$ -algèbre f.c.t.f. est munie de la topologie p-adique. Un morphisme d'algèbres f.c.t.f. est une application entre deux  $\mathcal{V}$ -algèbres f.c.t.f. qui est un morphisme d'anneaux (unitaires). Un morphisme de  $\mathcal{V}$ -algèbres f.c.t.f. est donc toujours continue. Si  $A \to B$  et  $A \to C$  sont deux morphismes de  $\mathcal{V}$ -algèbres f.c.t.f., le complété faible de  $B \otimes_A C$  sera noté  $B \otimes_A^{\dagger} C$ . Comme le morphisme canonique  $B \otimes_{\mathcal{V}} A \to B \otimes_A C$  est surjectif, on vérifie que la  $\mathcal{V}$ -algèbre  $B \otimes_A^{\dagger} C$  est f.c.t.f.

Soit A une  $\mathcal{V}$ -algèbre f.c.t.f. On note  $A_0 = A/\pi A$  et, pour tout  $f \in A$ ,  $\overline{f}$  désigne l'image de f dans  $A_0$  et A[f], la complétion faible de  $A_f$ . Suivant Meredith le schéma formel faible affine associé à A, noté  $\mathrm{Spff}(A)$ , est l'espace annelé dont l'espace topologique sous-jacent correspond à  $X_0 = \mathrm{Spec}\,A_0$  (cet ensemble est aussi égal à celui des idéaux premiers ouverts de A) et dont les sections du faisceau structural  $\mathcal{O}_X$  sur un ouvert principal  $X_{\overline{f}}$ , avec  $f \in A$ , coïncident avec A[f] (voir [Mer72]). On notera D(f) l'ouvert de  $\mathrm{Spff}(A)$  dont l'espace topologique est  $X_{0\overline{f}}$ . Les ouverts de la forme D(f) seront dits principaux. Nous disposons du théorème de type A ([Mer72, 3.3]) sur  $A = \mathrm{Spff}(A)$ : les foncteurs  $A \mapsto \widetilde{M} := \mathcal{O}_X \otimes_A M$  et  $\mathcal{M} \mapsto \Gamma(X,\mathcal{M})$  sont des équivalences quasi-inverses entre la catégorie des  $\mathcal{O}_X$ -modules cohérents et celle des A-modules de type fini. En outre, on bénéficie de théorème de type  $A \mapsto A$  ([Mer72, 2.14]): pour tout  $A \mapsto A$  ( $A \mapsto A$  (Mer72,  $A \mapsto A$ ) pour tout entier  $A \mapsto A$  (Mer72,  $A \mapsto A$ ).

Soit  $\mathfrak P$  un idéal ouvert de A. On pose  $A_{[\mathfrak P]} = \lim_{\substack{\longrightarrow f \not\in \mathfrak P}} A[f]$  (le système inductif est filtrant). Celui-ci est muni de l'idéal  $\mathfrak PA_{[\mathfrak P]} = \lim_{\substack{\longrightarrow f \not\in \mathfrak P}} \mathfrak PA[f]$ . Pour tout  $f \not\in \mathfrak P$ ,  $\mathfrak PA[f]/\pi A[f] \tilde{\to} (\mathfrak P/\pi A)_{\overline{f}} \neq (A_0)_{\overline{f}}$ . Cela entraîne que  $\mathfrak PA[f] \neq A[f]$  et a fortiori  $\mathfrak PA_{[\mathfrak P]} \neq A_{[\mathfrak P]}$  (on vérifie que  $1 \not\in \mathfrak PA_{[\mathfrak P]}$ ). La proposition qui suit, analogue à [Gro60, 0.6.7.17], précise ce dernier fait.

**Proposition 1.1.1** L'anneau  $A_{[\mathfrak{P}]}$  est local et d'idéal maximal  $\mathfrak{P}A_{[\mathfrak{P}]}$ . De plus, son corps résiduel est isomorphe au corps des fractions de  $A/\mathfrak{P}$ .

Démonstration. Soit x un élément de  $A_{[\mathfrak{P}]}$  n'appartenant pas à  $\mathfrak{P}A_{[\mathfrak{P}]}$ . Pour établir la première assertion, il s'agit de vérifier que x est inversible. Il existe  $f \not\in \mathfrak{P}$  tel que x provienne d'un élément y de A[f]. Par hypothèse, l'image canonique  $\overline{y}$  de y sur  $A[f]/\pi A[f] \overset{\sim}{\to} (A_0)_{\overline{f}}$  n'appartient pas à  $(\mathfrak{P}/\pi A)_{\overline{f}}$ . Cela implique donc que  $\overline{y} = \overline{a}/\overline{f}^r$ , où  $a \in A \setminus \mathfrak{P}$  et  $r \in \mathbb{N}$  Ainsi,  $g := af \not\in \mathfrak{P}$  et l'image canonique de  $\overline{y}$  sur  $(A_0)_{\overline{g}}$  est inversible. Comme  $\pi A[g]$  est inclus dans l'idéal de Jacobson de A[g], il en découle que l'image canonique de y sur A[g] est inversible. L'élément x est par conséquent inversible.

Soit  $S=\widehat{A}\backslash\widehat{\mathfrak{P}}$ . En vertu de [Gro60, 0.6.7.17],  $\widehat{A}\{S\}$  est un anneau local d'idéal maximal  $\widehat{\mathfrak{P}}\widehat{A}\{S\}$ . L'homomorphisme canonique  $A_{[\mathfrak{P}]}\to \widehat{A}\{S\}$  est local. Il induit un morphisme  $A_{[\mathfrak{P}]}\to \widehat{A}\{S\}/\widehat{\mathfrak{P}}\widehat{A}\{S\}\widetilde{-}\operatorname{Frac}(A/\mathfrak{P})$  (l'isomorphisme se prouve grâce à [Gro60, 0.6.7.17] et via  $A/\mathfrak{P}\widetilde{-}\widehat{A}/\widehat{\mathfrak{P}}\widehat{A}$ ). Un élément de  $\operatorname{Frac}(A/\mathfrak{P})$  provient aisément d'un élément de  $A_{[\mathfrak{P}]}$ , i.e., ce dernier homomorphisme est surjectif. D'où l'isomorphisme de corps résiduels :  $A_{[\mathfrak{P}]}/\mathfrak{P}A_{[\mathfrak{P}]}\widetilde{-}\widehat{A}\{S\}/\widehat{\mathfrak{P}}\widehat{A}\{S\}$ .

**1.1.2.** Soient  $\phi: A \to B$  un morphisme de  $\mathcal{V}$ -algèbres f.c.t.f. et  $(X, \mathcal{O}_X) := \operatorname{Spff} A$  et  $(Y, \mathcal{O}_Y) := \operatorname{Spff} B$ . L'image inverse par  $\phi$  d'un idéal premier ouvert est un idéal premier ouvert. On obtient un morphisme d'espaces topologiques  $a\phi: Y \to X$ . Pour tout élément f de A, on dispose d'un

morphisme canonique  $A[f] \to B[\phi(f)]$  et, pour tout multiple f' de f, du diagramme commutatif :

$$A[f] \longrightarrow B[\phi(f)]$$

$$\downarrow \qquad \qquad \downarrow$$

$$A[f'] \longrightarrow B[\phi(f')].$$

Comme  ${}^a\phi^{-1}D(\phi(f))=D(f)$ , ces homomorphismes définissent donc un homomorphisme de faisceaux d'anneaux  $\widetilde{\phi}: \mathcal{O}_X \to {}^a\phi_*\mathcal{O}_Y$ . On a donc construit un morphisme  $({}^a\phi,\widetilde{\phi}): \operatorname{Spff} B \to \operatorname{Spff} A$  d'espaces annelés. De plus, pour tout idéal premier  $\mathfrak{Q}$  de B, on dispose d'un homomorphisme d'anneaux locaux  $A_{[\phi^{-1}(\mathfrak{Q})]} \to B_{[\mathfrak{Q}]}$ . L'homomorphisme  $({}^a\phi,\widetilde{\phi})$  est ainsi un homomorphisme d'espaces localement annelés. Via la proposition ciaprès, ils sont tous de cette forme.

**Proposition 1.1.3** Soient A et B deux V-algèbres f.c.t.f. et soient  $X = \operatorname{Spff} A$ ,  $Y = \operatorname{Spff} B$ . Pour qu'un morphisme  $u = (\psi, \theta) : Y \to X$  d'espaces annelés soit de la forme  $({}^a\phi, \widetilde{\phi})$ , où  $\phi$  est un homomorphisme d'anneaux  $A \to B$ , il faut et il suffit que u soit un morphisme d'espaces localement annelés.

*Démonstration*. Par le truchement de 1.1.1, on reprend les arguments de [Gro60, 10.2.2].

**Définition 1.1.4.** Un  $\mathcal{V}$ -schéma formel faible est un espace localement annelé en  $\mathcal{V}$ -algèbres  $(X, \mathcal{O}_X)$  localement isomorphe à un  $\mathcal{V}$ -schéma formel faible affine (voir [Mer72]). On pourra le noter X. Pour tout entier i, le  $\mathcal{V}/\pi^{i+1}\mathcal{V}$ -schéma induit par réduction modulo  $\pi^{i+1}$  sera noté  $X_i$ . De plus,  $\widehat{X}$  ou  $\mathfrak{X}$  désignera le  $\mathcal{V}$ -schéma formel déduit par complétion p-adique de X.

Un morphisme  $f: Y \to X$  de  $\mathcal{V}$ -schémas formels faibles est un morphisme d'espaces localement annelés. On pose  $f_i: Y_i \to X_i$  et  $\hat{f}: \mathcal{Y} \to \mathcal{X}$  les morphismes induits. Par abus de notations, on pourra parfois les noter f. Un tel morphisme est dit *lisse* (resp. *étale*) si pour tout i, les  $f_i$  sont des morphismes lisses (resp. *étales*). Enfin, f est *séparé* lorsque  $f_0$  est séparé. Un  $\mathcal{V}$ -schéma formel faible X est séparé si son morphisme structural  $X \to \operatorname{Spff} \mathcal{V}$  l'est. Les propriétés usuelles des morphismes séparés restent valables.

Soit Y un ouvert de l'espace topologique sous-jacent à un  $\mathcal{V}$ -schéma formel faible X. On munit Y de la structure canonique de  $\mathcal{V}$ -schéma formel faible en posant par abus de notations  $Y:=(Y, \mathcal{O}_X|_Y)$ . De plus, on dispose d'un morphisme canonique  $Y\to X$ . Le composé d'un tel morphisme avec un isomorphisme sera nommé *immersion ouverte*. On appelle *ouvert affine* de X, un ouvert de Y induisant un  $\mathcal{V}$ -schéma formel faible affine. Nous nous écartons de la terminologie de Meredith qui les nomment « affine wf open » afin de les démarquer des ouverts affines de  $X_0$  ([Mer72, 4]).

Un morphisme  $f: Y \to X$  de  $\mathcal{V}$ -schémas formels faibles est dit *affine* si, pour tout ouvert affine X' de X,  $f^{-1}(X')$  est un ouvert affine de Y.

**Proposition 1.1.5** Soient Y un V-schéma formel faible,  $X = \operatorname{Spff} A$  un V-schéma formel faible affine d'anneau A. Il existe une correspondance biunivoque canonique entre les morphismes de V-schémas formels faibles de la forme  $Y \to X$  et les homomorphismes d'anneaux de la forme de  $A \to \Gamma(Y, \mathcal{O}_Y)$ .

*Démonstration*. De manière analogue à [Gro60, 2.2.4 ou 10.4.6], cela résulte de 1.1.3. □

**Proposition 1.1.6** La catégorie des V-schémas formels faibles possèdent des produits fibrés.

Démonstration. Le cas affine se déduit de [MW68, 1.5] : si  $A \to B$  et  $A \to C$  sont deux morphismes de  $\mathcal{V}$ -algèbres f.c.t.f., le schéma faiblement formel  $\mathrm{Spff}\,(B) \times_{\mathrm{Spff}\,(A)} \mathrm{Spff}\,(C) := \mathrm{Spff}\,(B \otimes_A^\dagger C)$  vérifie la propriété universelle des produits fibrés. Pour le cas général, on procède par recollement (de manière analogue au cas des schémas : voir [Gro60]).

Passons maintenant aux immersions fermées. Afin d'y voir plus clair, la proposition suivante est utile.

**Proposition 1.1.7** Soient X un V-schéma formel faible et  $\mathbb{J}$  un idéal cohérent de  $\mathfrak{O}_X$ . Si Y est le support (fermé) de  $\mathfrak{O}_X/\mathbb{J}$ , l'espace topologique annelé  $(Y, (\mathfrak{O}_X/\mathbb{J})|_Y)$  est un V-schéma formel faible.

Démonstration. Comme  $\mathcal{O}_X$  est un anneau cohérent,  $\mathcal{O}_X/\mathcal{I}$  est cohérent et donc d'après [Gro60, 0.5.2.2], le support Y est bien un fermé de X. Supposons dans un premier temps  $X=\operatorname{Spff} A$ . Grâce au théorème de type A pour les  $\mathcal{O}_X$ -modules cohérents, en notant  $I:=\Gamma(X,\mathcal{I})$ , le morphisme canonique  $I\otimes_A\mathcal{O}_X\to\mathcal{I}$  est un isomorphisme. On obtient  $A/I\otimes_A\mathcal{O}_X\to\mathcal{O}_X/\mathcal{I}$ . Prouvons maintenant que l'on dispose d'un isomorphisme canonique  $(Y,(A/I\otimes_A\mathcal{O}_X)|_Y)\to\operatorname{Spff} A/I$ . Il s'agit alors de vérifier que l'on dispose, pour tout  $f\in A$  et tout  $g\in A$  multiple de f, d'un isomorphisme canonique  $A/I\otimes_AA[f]\to A/I[\overline{f}]$  induisant le diagramme commutatif

$$A/I \otimes_A A[f] \longrightarrow A/I \otimes_A A[g]$$

$$\downarrow \qquad \qquad \downarrow$$

$$A/I[\overline{f}] \longrightarrow A/I[\overline{g}],$$

où  $\overline{f},\overline{g}\in A/I$  sont les images canoniques respectives de f et g.

L'épimorphisme  $A_f woheadrightarrow (A/I)_{\overline{f}}$  induit le suivant  $(A_f)^{\dagger} woheadrightarrow ((A/I)_{\overline{f}})^{\dagger}$  puis  $A/I \otimes_A (A_f)^{\dagger} woheadrightarrow ((A/I)_{\overline{f}})^{\dagger}$ . La fonctorialité en f est de ce dernier

est immédiate. Il reste à s'assurer de son injectivité ce qui résulte du diagramme commutatif

$$A/I \otimes_A (A_f)^{\dagger} \longrightarrow ((A/I)_{\overline{f}})^{\dagger}$$

$$\downarrow \qquad \qquad \downarrow$$

$$A/I \widehat{\otimes}_A (A_f)^{\dagger} \longrightarrow ((A/I)_{\overline{f}})^{\wedge},$$

dont les flèches verticales sont injectives et celle du bas est un isomorphisme.

On a ainsi prouvé  $\operatorname{Spff} A/I \tilde{\to} (Y, (\mathfrak{O}_X/\mathfrak{I})|_Y)$ . On conclut en vérifiant que ceux-ci se recollent.

Soit  $\mathfrak I$  un idéal cohérent de  $\mathfrak O_X$ . On dispose d'un morphisme canonique  $(Y,(\mathfrak O_X/\mathfrak I)|_Y)\to (X,\mathfrak O_X)$ . De plus, Avec la preuve de 1.1.7, on vérifie que lorsque  $X=\operatorname{Spff} A$  et  $I=\Gamma(X,\mathfrak I)$ , ce morphisme correspond via 1.1.3 au morphisme canonique  $A\to A/I$ . En particulier,  $(Y,(\mathfrak O_X/\mathfrak I)|_Y)\to (X,\mathfrak O_X)$  est affine.

**Définition 1.1.8.** On appelle sous- $\mathcal{V}$ -schéma formel faible fermé d'un  $\mathcal{V}$ -schéma formel faible X tout  $\mathcal{V}$ -schéma formel faible  $(Y, (\mathcal{O}_X/\mathcal{I})|_Y)$ , où  $\mathcal{I}$  est un idéal cohérent de  $\mathcal{O}_X$ ; on dit que celui-ci est le sous- $\mathcal{V}$ -schéma formel faible fermé défini par  $\mathcal{I}$ .

Un morphisme  $f:Y\to X$  de  $\mathcal V$ -schémas formels faibles est une « immersion fermée » s'il se factorise en  $Y\stackrel{g}\to X'\stackrel{u}\to X$ , où X' est un sous- $\mathcal V$ -schéma formel fermé de X et g est un isomorphisme. Une immersion fermée est un morphisme affine.

**1.1.9.** De manière analogue à [Gro60, 10.14.4], on a la caractérisation suivante d'une immersion fermée. Soit  $f:Y\to X$  un morphisme de  $\mathcal{V}$ -schémas formels faibles, et soit  $(X_\alpha)$  un recouvrement de f(Y) par des ouverts affines de X, tels que les  $f^{-1}(X_\alpha)$  soient des ouverts affines de Y. Pour que f soit une immersion fermée, il faut et il suffit que f(Y) soit une partie fermée de X et que, pour tout  $\alpha$ , l'homomorphisme  $\Gamma(X_\alpha, \mathcal{O}_X) \to \Gamma(f^{-1}(X_\alpha), \mathcal{O}_Y)$ , induit via 1.1.3 par la restriction de f à  $f^{-1}(X_\alpha)$ , est surjectif.

**Remarques 1.1.10** Soient X et Y deux schémas formels faibles affines. Si X est lisse et si  $f_0: Y_0 \to X_0$  est un morphisme de k schémas, alors il existe un morphisme  $Y \to X$  de V-schémas formels faibles relevant  $f_0$ . En effet, puisque X est lisse, il existe un relèvement  $\widehat{Y} \to \widehat{X}$  de  $f_0$ . On conclut ensuite en vertu de [vdP86, 2.4.3].

**Proposition 1.1.11** (i) Si  $f: Z \to Y$  et  $g: Y \to X$  sont des immersions fermées de V-schémas formels faibles,  $g \circ f$  est une immersion fermée.

(ii) Soient X, Y, Z trois  $\mathcal{V}$ -schémas formels faibles,  $f: Y \to X$  une immersion fermée et  $Z \to X$  un morphisme. Le morphisme  $Y \times_X Z \to Z$  est une immersion fermée.

(iii) Soient X un V-schémas formels faibles et  $f: Y \to Y'$ ,  $g: Z \to Z'$  des immersions fermées, alors  $f \times_X g$  est une immersion fermée.

Démonstration. Soient  $A \to C$  un morphisme de  $\mathcal{V}$ -algèbres f.c.t.f., I un idéal de A et B := A/I. L'algèbre  $B \otimes_A C$  est une  $\mathcal{V}$ -algèbre f.c.t.f. Ainsi,  $C/IC \tilde{\to} B \otimes_A C \tilde{\to} B \otimes_A^{\dagger} C$ . Avec cette remarque, la preuve est analogue à [Gro60, 10.14.5]

La proposition qui suit donne des exemples d'immersions fermées.

**Proposition 1.1.12** Soient  $f: Z \to Y$  et  $g: Y \to X$  des morphismes de V-schémas formels faibles. Si g est séparé alors le morphisme graphe de f,  $\Gamma_f = (1, f)_X: Z \to Z \times_X Y$ , est une immersion fermée.

Démonstration. Analogue à [Gro60, 10.15.4].

**Définition 1.1.13.** Une « immersion » est le composé d'une immersion fermée suivi d'une immersion ouverte.

**Proposition 1.1.14** (i) Si  $f: Z \to Y$  et  $g: Y \to X$  sont des immersions de V-schémas formels faibles,  $g \circ f$  est une immersion.

- (ii) Soient X, Y, Z trois V-schémas formels faibles,  $f:Y\to X$  une immersion et  $Z\to X$  un morphisme. Le morphisme  $Y\times_X Z\to Z$  est une immersion.
- (iii) Soient X un V-schémas formels faibles et  $f: Y \to Y'$ ,  $g: Z \to Z'$  des immersions, alors  $f \times_X g$  est une immersion.

Démonstration. Traitons d'abord (i). Soient  $j:Z\to Y$  est une immersion ouverte et  $u:Y\to X$  une immersion fermée. L'image de Z par j est un ouvert de Y. Il existe donc un ouvert X' de X tel que  $u^{-1}(X')=j(Z)$ . En notant  $u':j(Z)\to X'$  l'immersion fermée induite par  $u,u\circ j$  se décompose en  $Z\stackrel{j}{\to} j(Z)\stackrel{u'}{\to} X'\subset X$ . Ainsi,  $u\circ j$  est le composé d'une immersion fermée suivi d'une immersion ouverte. Les assertions (ii) et (iii) découlent de 1.1.11.

**Proposition 1.1.15** Soit  $f: X \to Y$  un morphisme de  $\mathcal{V}$ -schémas formels faibles. Le morphisme canonique  $\delta = (1,1)_Y: X \to X \times_Y X$  est une immersion. On l'appellera « l'immersion diagonale ».

Démonstration. Soient  $(X_\alpha)$  et  $(Y_\alpha)$  des recouvrements respectifs de X et Y par des ouverts affines tels que f se factorise par  $X_\alpha \to Y_\alpha$ . Par construction du produit fibré  $X \times_Y X$ ,  $X_\alpha \times_{Y_\alpha} X_\alpha$  est un ouvert de  $X \times_Y X$  et  $\delta^{-1}(X_\alpha \times_{Y_\alpha} X_\alpha) = X_\alpha$ . Notons alors Y' l'ouvert de Y réunion des  $X_\alpha \times_{Y_\alpha} X_\alpha$ . Le morphisme  $\delta$  se factorise alors en un morphisme  $\delta'$ :  $X \to Y'$ . D'après la caractérisation 1.1.9 des immersions fermées, pour prouver que  $\delta'$  est une immersion fermée, il suffit de vérifier que les homomorphismes canoniques  $\Gamma(X_\alpha, \mathcal{O}_{X_\alpha}) \to \Gamma(X_\alpha \times_{Y_\alpha} X_\alpha, \mathcal{O}_{X_\alpha \times_{Y_\alpha} X_\alpha})$  sont surjectifs, ce qui est immédiat.

**Corollaire 1.1.16** Soient  $f: X \to S$ ,  $g: Y \to S$  et  $\phi: S \to T$  des morphismes de V-schémas formels faibles. Le morphisme canonique  $X \times_S Y \to X \times_T Y$  induit par  $\phi$  est une immersion. En particulier, lorsque S = Y, le graphe de  $f, X \to X \times_T Y$ , est une immersion.

*Démonstration.* Cela résulte de  $X \times_S Y \tilde{\to} S \times_{(S \times_T S)} (X \times_T Y)$ , de 1.1.15 et du fait que les immersions fermées sont stables par changement de base (1.1.14).

- **1.1.17.** Soit X est un  $\mathcal{V}$ -schéma de type fini. Meredith ([Mer72, 4]) construit le faisceau  $\mathcal{O}_X^\dagger$  de la façon suivante : si  $U \subset V \subset X$  sont des ouverts affines de X, alors  $\Gamma(U,\mathcal{O}_X^\dagger) := \Gamma(U,\mathcal{O}_X)^\dagger$  et  $\Gamma(V,\mathcal{O}_X^\dagger) \to \Gamma(U,\mathcal{O}_X^\dagger)$  est le morphisme canonique induit par  $\Gamma(V,\mathcal{O}_X) \to \Gamma(U,\mathcal{O}_X)$  via [MW68, 1.5]. En notant  $X^\dagger$  l'espace topologique de  $X_0 = X \times_{\operatorname{Spec} \mathcal{V}} \operatorname{Spec}(k)$ , il vérifie que l'espace annelé  $(X^\dagger,\mathcal{O}_X^\dagger)$  est un  $\mathcal{V}$ -schéma formel faible et que l'on dispose d'un morphisme canonique  $(X^\dagger,\mathcal{O}_X^\dagger) \to (X,O_X)$ , qu'il appelle complétion faible de  $(X,\mathcal{O}_X)$ . Par abus de notation, on écrira  $X^\dagger$  à la place de  $(X^\dagger,\mathcal{O}_X^\dagger)$ . On vérifie de plus que l'application  $X \mapsto X^\dagger$  induit canoniquement (via [MW68, 1.5]) un foncteur de la catégorie des  $\mathcal{V}$ -schémas de type fini dans celle des  $\mathcal{V}$ -schémas formels faibles.
- **Définition 1.1.18.** Soit U un V-schéma formel faible. On dit que U a des coordonnées locales s'il existe un morphisme étale  $U \to \mathbb{A}_{\mathcal{V}}^{d\dagger}$ . Les sections  $t_1, \ldots, t_d$  induites via ce morphisme par  $X_1, \ldots, X_d$  seront appelés coordonnées locales.
- **Remarques 1.1.19** Soit U un V-schéma formel faible affine et sans torsion. Alors,  $U_0$  a des coordonnées locales si et seulement si  $\widehat{U}$  en a si et seulement si U en a.
- **Lemme 1.1.20** Soient U un schéma formel faible affine muni de coordonnées locales  $t_1, \ldots, t_d$  et  $\tau_1 = 1 \otimes t_1 t_1 \otimes 1, \ldots, \tau_d = 1 \otimes t_d t_d \otimes 1$ . La suite  $\tau_1, \ldots, \tau_d$  est une suite régulière de générateurs de l'idéal définissant l'immersion  $U \hookrightarrow U \times_S U$ .
- Démonstration. Cela résulte du « cas formel ». En effet, soient A la  $\mathcal{V}$ -algèbre f.c.t.f. de U et I l'idéal de A correspondant à l'immersion fermée  $U \hookrightarrow U \times U$ . Les images canoniques de  $t_1, \ldots t_d$  dans  $\widehat{A}$  sont des coordonnées locales de  $\widehat{U}$ . De plus, par fidèle platitude de  $A \to \widehat{A}$ , comme  $\widehat{I} \overset{\sim}{\to} I \otimes_A \widehat{A}$  est engendré par les images de  $\tau_1, \ldots, \tau_d$ , alors  $\tau_1, \ldots, \tau_d$  engendre I. De plus, le morphisme  $I/(\tau_1, \ldots, \tau_r) \to \widehat{I}/(\tau_1, \ldots, \tau_r)$  est injectif. Comme la multiplication par  $\tau_{r+1}$  est injective dans  $\widehat{I}/(\tau_1, \ldots, \tau_r)$ , elle l'est alors aussi dans  $I/(\tau_1, \ldots, \tau_r)$ .
- **1.1.21.** Dans la suite de cette section, m sera un entier positif fixé et U un V-schéma formel faible. On note  $\Im$  l'idéal cohérent de l'immersion diagonale :  $U \hookrightarrow U \times_S U$ . On définit l'algèbre des parties principales de niveau

m et d'ordre n de U et noté  $\mathcal{P}^n_{U,(m)}$ , comme étant l'enveloppe à puissance divisée de niveau m et d'ordre  $\leq n$  de  $\mathfrak{I}.$  Les deux projections canoniques  $U\times_S U\to U$  induisent deux structures de  $O_U$ -algèbres sur  $\mathcal{P}^n_{U,(m)}$ : la structure à gauche et la structure à droite. Il résulte de [Ber96a, 1.5.3] et de 1.1.20 que, si U est muni de coordonnées locales  $t_1,\ldots,t_d$ , pour chacune des structures de  $\mathfrak{O}_U$ -algèbre, le faisceau  $\mathcal{P}^n_{U,(m)}$  est un  $\mathfrak{O}_U$ -module libre de base les éléments  $\underline{\tau}^{\{\underline{k}\}}=\tau_1^{\{k_1\}}\cdots\tau_d^{\{k_d\}}$ , pour  $\underline{k}\leq n$ .

Le faisceau des opérateurs différentiels de niveau m et d'ordre  $\leq n$  sur U, noté  $\mathfrak{D}_{U,n}^{(m)}$ , est le dual  $\mathfrak{O}_U$ -linéaire pour la structure gauche de  $\mathfrak{O}_U$ -algèbres de  $\mathfrak{P}_{U,(m)}^n$ . Le faisceau des opérateurs différentiels de niveau m sur U est la réunion :  $\mathfrak{D}_U^{(m)} := \cup_{n \in \mathbb{N}} \mathfrak{D}_{U,n}^{(m)}$ . De manière analogue à [Ber96a, 2.2.1], on munit ce faisceau d'une structure d'anneau et de deux structures de  $\mathfrak{O}_U$ -algèbre, l'une à droite et l'autre à gauche.

Si U est muni de coordonnées locales, à la base de  $\mathcal{P}^n_{U,(m)}$  formée des  $\underline{\tau}^{\{\underline{k}\}}$  pour  $\underline{k} \leq n$ , correspond la base duale de  $\mathcal{D}^{(m)}_{U,n}$ , dont les éléments seront notés  $\underline{\partial}^{<\underline{k}>}$ . Les  $\underline{\partial}^{<\underline{k}>}$  forment donc une base de  $\mathcal{D}^{(m)}_U$ .

Les propositions [Ber96a, 2.2.4 et 2.2.5] sont encore valables en remplaçant « formel » par « faiblement formel ». De même les définitions et résultats sur les m-PD-stratifications ([Ber96a, 2.3]) sont encore valables en remplaçant « formel » par « faiblement formel ».

**Lemme 1.1.22** L'anneau  $\Gamma(U, \mathcal{D}_U^{(m)})$  (resp.  $\mathcal{D}_{U,x}^{(m)}$  pour tout  $x \in U$ ) est noethérien à droite et à gauche.

Démonstration. Analogue à [Ber96a, 2.2.5].

**Proposition 1.1.23** Soit  $j: U \hookrightarrow P$  une immersion ouverte de V-schémas formels faibles telle que  $P_0 \setminus U_0$  soit le support d'un diviseur. Les faisceaux d'anneaux  $\mathcal{D}_P^{(m)}$  et  $j_*\mathcal{D}_U^{(m)}$  sont cohérents à droite et à gauche.

Démonstration. La cohérence à droite et à gauche de  $\mathcal{D}_P^{(m)}$  est un cas particulier de celle de  $j_*\mathcal{D}_U^{(m)}$ . Prouvons donc la cohérence à gauche de  $j_*\mathcal{D}_U^{(m)}$ . La preuve est similaire à celle de [Ber96a, 3.1.2] : il existe une base d'ouverts  $\mathcal{B}$  de P telle que pour tout  $V \in \mathcal{B}$ , V et  $V \cap U$  sont affines. Par 1.1.22, l'anneau  $\Gamma(V,j_*\mathcal{D}_U^{(m)}) = \Gamma(U \cap V,\mathcal{D}_U^{(m)})$  est noethérien à droite et à gauche. De plus, pour tous ouverts  $V' \subset V$  de  $\mathcal{B}$ ,  $\Gamma(U \cap V,\mathcal{O}_U) \to \Gamma(U \cap V',\mathcal{O}_U)$  est plat (c'est un homomorphisme de  $\mathcal{V}$ -algèbres f.c.t.f. lisses dont la réduction modulo  $\pi$  est plate). Comme  $\Gamma(U \cap V,\mathcal{O}_U) \otimes_{\Gamma(U \cap V',\mathcal{O}_U)} \Gamma(V,j_*\mathcal{D}_U^{(m)}) \tilde{\to} \Gamma(V',j_*\mathcal{D}_U^{(m)})$ ,  $\Gamma(V,j_*\mathcal{D}_U^{(m)}) \to \Gamma(V',j_*\mathcal{D}_U^{(m)})$  est plat. On conclut via [Ber96a, 3.1.1].

**1.1.24 (Notations).** Pour tous entiers n et n', on notera  $\mathcal{D}_{U,n}^{(m)} \cdot \mathcal{D}_{U,n'}^{(m)}$  l'image de l'homomorphisme  $\mathcal{O}_U$ -linéaire à droite et à gauche  $\mathcal{D}_{U,n}^{(m)} \otimes_{\mathcal{O}_U} \mathcal{D}_{U,n'}^{(m)} \to \mathcal{D}_{U,n+n'}^{(m)}$ .

**Proposition 1.1.25** *Pour* n < 0, *on pose*  $\mathfrak{D}_{U,n}^{(m)} := 0$ . *Pour tout couple*  $(r,s) \in \mathbb{N}^2$ ,  $\sum_{j=0,...,p^m-1} \mathfrak{D}_{U,r-j}^{(m)} \cdot \mathfrak{D}_{U,s+j}^{(m)} = \mathfrak{D}_{U,r+s}^{(m)}$ .

Démonstration. Même calcul que [Car02, 7.1.2].

**Définition 1.1.26.** Soit  $\mathcal M$  un  $\mathcal D_U^{(m)}$ -module. Une *filtration* de  $\mathcal M$  est une famille  $(\mathcal M_r)_{r\in\mathbb N}$  de sous- $\mathcal O_U$ -modules de  $\mathcal M$  telle que :

- 1. Pour tous  $r, s \in \mathbb{N} : \mathcal{M}_r \subset \mathcal{M}_{r+1}, \mathcal{D}_{U,r}^{(m)} \cdot \mathcal{M}_s \subset \mathcal{M}_{r+s}$ ,
- 2.  $\mathcal{M} = \bigcup_{r \in \mathbb{N}} \mathcal{M}_r$ .

**Définition 1.1.27.** Soit  $\mathfrak M$  un  $\mathfrak D_U^{(m)}$ -module à gauche muni d'une filtration. La filtration est *bonne* si et seulement si :

- 1. Quel que soit  $r \in \mathbb{N}$ ,  $\mathcal{M}_r$  est  $\mathcal{O}_U$ -cohérent;
- 2. Il existe un entier  $r_1 \in \mathbb{N}$  tel que pour tout entier  $r \geq r_1$ , on ait

$$\mathcal{M}_r = \sum_{j=0}^{p^m-1} \mathcal{D}_{U,r-r_1+j}^{(m)} \cdot \mathcal{M}_{r_1-j}.$$

D'après la proposition 1.1.25, la famille  $(\mathcal{D}_{U,r}^{(m)})_{r\in\mathbb{N}}$  est une filtration de  $\mathcal{D}_{U}^{(m)}$  vérifiant la condition 2 pour tout entier  $r_1$ . La condition 1 étant aussi vérifiée, cette filtration est donc bonne. On l'appellera la *filtration par l'ordre*.

**Proposition 1.1.28**  $Un \mathcal{D}_{U}^{(m)}$ -module globalement de présentation finie admet une bonne filtration.

Démonstration. Analogue à [Car02, 7.1.5]. □

**Théorème 1.1.29 (Théorème B)** On suppose U affine et soit  $\mathfrak{M}$  un  $\mathfrak{D}_U^{(m)}$ -module globalement de présentation finie. Alors, pour tout entier  $i \neq 0$ ,  $H^i(U,\mathfrak{M}) = 0$ .

Démonstration. Cela résulte de 1.1.28 et du fait que, pour tout entier  $i \neq 0$ , le foncteur  $H^i(U, \mathcal{M})$  commute aux limites inductives et du théorème de type B pour les  $\mathcal{O}_U$ -modules cohérents.

**Théorème 1.1.30 (Théorème A)** Lorsque U est affine, les foncteurs  $\mathfrak{M} \mapsto \Gamma(U,\mathfrak{M})$  et  $M \mapsto \widetilde{M}$  sont des équivalences quasi-inverses entre la catégorie des  $\mathfrak{D}_U^{(m)}$ -modules globalement de présentation finie et celle des  $\Gamma(U,\mathfrak{D}_U^{(m)})$ -modules de type fini.

Démonstration. Il s'agit de calquer [Car02, 7.1.8].

**Remarques 1.1.31** Comme le faisceau d'anneaux  $\mathcal{D}_{U}^{(m)}$  est cohérent (1.1.23), un  $\mathcal{D}_{U}^{(m)}$ -module  $\mathcal{M}$  est cohérent si et seulement s'il est localement de présentation finie, i.e., d'après 1.1.30, si et seulement s'il est localement de la forme  $\widetilde{M}$ , où M est un  $\Gamma(U, \mathcal{D}_{U}^{(m)})$ -module de type fini.

**Théorème 1.1.32** Soit M un  $\mathcal{D}_{U}^{(m)}$ -module. Alors M est cohérent si et seulement s'il admet localement de bonnes filtrations.

Démonstration. Similaire à [Car02, 7.1.10].

**Proposition 1.1.33** Soient  $j:U\subset P$  une immersion ouverte de  $\mathbb{V}$ -schémas formels lisses telle que  $P_0\setminus U_0$  soit le support d'un diviseur et  $\mathbb{M}$  un  $\mathbb{D}_U^{(m)}$ -module localement en P de présentation finie (i.e. il existe un recouvrement d'ouverts de  $P=\cup_{\alpha}P_{\alpha}$  tel que, pour tout  $\alpha$ ,  $\mathbb{M}|_{U\cap P_{\alpha}}$  soit globalement de présentation finie). Alors :

- 1. Le morphisme canonique  $j_*M \to \mathbb{R} j_*M$  est un isomorphisme;
- 2. Pour tout morphisme lisse  $P \to P'$  de  $\mathcal{V}$ -schémas formels faibles, pour tout ouvert U' de P', en posant  $U := f^{-1}(U')$ , le morphisme canonique  $j_*(\Omega^{\bullet}_{U/U'} \otimes_{\mathcal{O}_U} \mathcal{M}) \to \mathbb{R} j_*(\Omega^{\bullet}_{U/U'} \otimes_{\mathcal{O}_U} \mathcal{M})$  est un isomorphisme;
- 3. Le  $j_* \mathcal{D}_U^{(m)}$ -module  $j_* \mathcal{M}$  est cohérent. De plus, pour tout  $\mathcal{D}_U^{(m)}$ -module globalement de présentation finie  $\mathcal{N}$ ,  $j_* \mathcal{N}$  est globalement de présentation finie.

Démonstration. Prouvons i). Comme  $P_0 \setminus U_0$  est un diviseur, l'assertion étant locale, on peut supposer  $P_\alpha$  et  $U \cap P_\alpha$  affines. Pour tout entier i,  $(H^ij_*\mathcal{M})|_{P_\alpha}\tilde{\to}H^ij_{\alpha*}(\mathcal{M}|_{U\cap P_\alpha})$ , où  $j_\alpha:U\cap P_\alpha\hookrightarrow P_\alpha$ . Or,  $H^ij_{\alpha*}(\mathcal{M}_{U\cap P_\alpha})$  est le faisceau associé au préfaisceau qui à tout ouvert principal P' de  $P_\alpha$  associe  $H^i(U\cap P',\mathcal{M})$ . Le théorème B 1.1.29 nous permet de conclure i). L'assertion ii) découle de i) et du fait que  $\Omega_{U/U'}$  est un  $\mathcal{O}_U$ -module localement en P libre de type fini (on prend une base d'ouverts de P ayant des coordonnées locales au dessus de P'). L'assertion iii) est locale en P et on peut donc supposer que  $\mathcal M$  est globalement de présentation finie :  $(\mathcal{D}_U^{(m)})^r \stackrel{\phi}{\to} (\mathcal{D}_U^{(m)})^s \stackrel{\epsilon}{\to} \mathcal M \to 0$ . Or, il résulte de i) et de 1.1.39 que le foncteur  $j_*$  de la catégorie des  $\mathcal{D}_U^{(m)}$ -modules localement en P de présentation finie dans celle des  $j_*\mathcal{D}_U^{(m)}$ -modules est exact. On en déduit la suite exacte  $j_*(\mathcal{D}_U^{(m)})^r \stackrel{j_*\phi}{\to} j_*(\mathcal{D}_U^{(m)})^s \stackrel{j_*\epsilon}{\to} j_*\mathcal{M} \to 0$ .

**Notations 1.1.34** Dans la suite de cette section U sera supposé affine et lisse.

**Définition 1.1.35.** Soit M un  $\Gamma(U, \mathcal{O}_U)$ -module (resp.  $\Gamma(U, \mathcal{D}_U^{(m)})$ -module). Le  $\mathcal{O}_U$ -module (resp.  $\mathcal{D}_U^{(m)}$ -module) associé à M est  $\widetilde{M}:=\mathcal{O}_U\otimes_{\Gamma(U,\mathcal{O}_U)}M$  (resp.  $\mathcal{D}_U^{(m)}\otimes_{\Gamma(U,\mathcal{D}_U^{(m)})}M$ ). Un tel module est dit  $\Im nd$ -fini.

Si  $u:M'\to M$  est un homomorphisme de  $\Gamma(U,{\mathbb O}_U)$ -modules (resp.  $\Gamma(U,{\mathbb D}_U^{(m)})$ -modules), on note  $\widetilde u:\widetilde M'\to\widetilde M$  l'homomorphisme canonique induit.

**Théorème 1.1.36 (Théorème B)** On suppose U affine et soit  $\mathfrak{M}$  un  $\mathfrak{D}_{U}^{(m)}$ -module  $\mathfrak{I}nd$ -fini. Alors, pour tout entier  $i \neq 0$ ,  $H^{i}(U, \mathfrak{M}) = 0$ .

Démonstration. Analogue à 1.1.29

# **Remarques 1.1.37** - Le faisceau $\widehat{\mathbb{D}}_{\mathfrak{U}}^{(m)}$ n'est pas Ind-fini.

- De plus, pour qu'un  $\mathfrak{D}_{U}^{(m)}$ -module soit  $\operatorname{Ind}$ -fini, il faut et il suffit que pour la structure sous-jacente de  $\mathfrak{O}_{U}$ -module celui-ci soit  $\operatorname{Ind}$ -finie. En effet, comme  $\mathfrak{D}_{U}^{(m)}$  est limite inductive filtrante de  $\mathfrak{O}_{U}$ -module cohérent et puisque le foncteur  $\mathfrak{O}_{U} \otimes_{\Gamma(U,\mathfrak{O}_{U})}$  commute aux limites inductives filtrantes, on bénéficie de  $\mathfrak{D}_{U}^{(m)} \to \mathfrak{O}_{U} \otimes_{\Gamma(U,\mathfrak{O}_{U})} \Gamma(U,\mathfrak{D}_{U}^{(m)})$ .
- Soit M est un  $\Gamma(U, \mathcal{O}_U)$ -module. Comme le foncteur faisceautisation et le produit tensoriel commutent aux limites inductives, on déduit du cas cohérent que le préfaisceau  $U' \mapsto \Gamma(U', \mathcal{O}_U) \otimes_{\Gamma(U, \mathcal{O}_U)} M$  défini sur la catégorie des ouvert principal U' de U, est un faisceau.

On en déduit qu'il en est de même de  $U'\mapsto \Gamma(U', \mathcal{D}_U^{(m)})\otimes_{\Gamma(U, \mathcal{D}_U^{(m)})}M.$  Donc,  $\Gamma(U', \widetilde{M})\tilde{\to} \Gamma(U', \mathcal{D}_U^{(m)})\otimes_{\Gamma(U, \mathcal{D}_U^{(m)})}M.$ 

**Proposition 1.1.38** Les foncteurs  $M \mapsto \widetilde{M}$  et  $\mathfrak{M} \mapsto \Gamma(U, \mathfrak{M})$  induisent des équivalences quasi-inverses entre la catégorie des  $\Gamma(U, \mathcal{D}_U^{(m)})$ -modules et celle des  $\mathcal{D}_U^{(m)}$ -modules  $\operatorname{Ind-fini}$ . On dispose de résultats identiques en remplaçant  $\mathcal{D}_U^{(m)}$  par  $\mathfrak{O}_U$ .

 $\begin{array}{ll} \textit{D\'{e}monstration}. \ \ \text{Soit} \ \ M \ \ \text{un} \ \ \Gamma(U, \mathcal{D}_U^{(m)})\text{-module}. \ \ \text{D'après la dernière remarque de } 1.1.37, \ \ \Gamma(U, \widetilde{M}) \tilde{\rightarrow} M. \ \ \text{R\'{e}ciproquement, si} \ \ \mathcal{M} \ \ \text{est un} \ \ \mathcal{D}_U^{(m)}\text{-module isomorphe à } \widetilde{M}, \ \text{on obtient} \ \ \Gamma(U, \mathcal{M}) \tilde{\rightarrow} \widetilde{M} \tilde{\rightarrow} \mathcal{M}. \end{array}$ 

Le foncteur  $M\mapsto \widetilde{M}$  est exacte. Grâce à 1.1.36 et à la première partie de 1.1.38, le foncteur  $\mathcal{M}\mapsto \varGamma(U,\mathcal{M})$  est exact sur la catégorie des  $\mathcal{D}_U^{(m)}$ -modules  $\Im nd$ -fini.

**Proposition 1.1.39** (i) Soit  $u:M\to N$  un morphisme de  $\Gamma(U, \mathcal{D}_U^{(m)})$ -modules. les  $\mathcal{D}_U^{(m)}$ -modules associés à Keru, Imu, Cokeru, sont respectivement Ker $\tilde{u}$ , Im $\tilde{u}$ , Coker $\tilde{u}$ .

(ii) Si M est une limite inductive (resp. somme directe) d'une famille de  $\Gamma(U, \mathcal{D}_U^{(m)})$ -module  $(M_\lambda)$ ,  $\widetilde{M}$  est limite inductive (resp. somme directe) de la famille  $(\widetilde{M_\lambda})$ , à isomorphisme canonique près.

- (iii) Si M et N sont deux  $\Gamma(U, \mathcal{D}_U^{(m)})$ -modules, les  $\mathcal{D}_U^{(m)}$ -modules associés à  $M \otimes_{\Gamma(U,\mathcal{O}_U)} N$  et  $\operatorname{Hom}_{\Gamma(U,\mathcal{O}_U)}(M,N)$  sont respectivement  $\widetilde{M} \otimes_{\mathcal{O}_U} \widetilde{N}$ et  $\mathcal{H}om_{\mathcal{O}_{U}}(M,N)$ .
- (iv) Le foncteur  $\Gamma(U,-)$  est exact sur la catégorie des  $\mathfrak{D}_U^{(m)}$ -modules

On bénéficie de résultats identiques avec  $\mathcal{O}_U$  à la place de  $\mathcal{D}_U^{(m)}$ .

Démonstration. La partie (i) se prouve comme [Gro60, 1.3.9]. L'assertion (ii) résulte de la commutation aux limites inductives filtrante du produit tensoriel tandis que (iii) est aisé. La dernière résulte de (i) et du théorème de type B pour les  $\mathfrak{D}_{U}^{(m)}$ -modules  $\mathfrak{I}nd$ -finis.

**Remarques 1.1.40** Avec 1.1.39, la catégorie des  $\mathbb{D}_{IJ}^{(m)}$ -modules Ind-finis est la plus petite catégorie stable par limite inductive et contenant les  $\mathfrak{D}_{IJ}^{(m)}$ modules cohérents.

**Proposition 1.1.41** Soit  $0 \to \mathcal{E}' \to \mathcal{E} \to \mathcal{E}'' \to 0$  une suite exacte de  $\mathfrak{D}_{II}^{(m)}$ -modules. Si deux de ces modules sont Ind-finis, alors le troisième

Démonstration. Supposons que  $\mathcal{E}$  et  $\mathcal{E}''$  soient respectivement de la forme  $\widetilde{E}$  et  $\widetilde{E}''$ . Par 1.1.39.(iv), en appliquant  $\Gamma(U,-)$  à  $\mathcal{E} \to \mathcal{E}''$  on obtient une surjection. En appliquant le foncteur exact à la suite exact  $0 \to \Gamma(U, \mathcal{E}') \to$  $E \to E'' \to 0$ , on prouve que l'homomorphisme canonique  $\Gamma(U, \mathcal{E}') \to \mathcal{E}'$ est un isomorphisme.

Supposons à présent  $\mathcal{E}'$  est de la forme  $\widetilde{E}$  ainsi que l'un des deux autres. D'après le théorème B pour les  $\mathfrak{D}_{U}^{(m)}$ -modules  $\mathfrak{I}nd$ -finis, on a  $0 \to E' \to$  $\Gamma(U,\mathcal{E}) \to \Gamma(U,\mathcal{E}'') \to 0$ . En lui appliquant le foncteur exact, on conclut que les homomorphismes canoniques  $\Gamma(U,\mathcal{E}) \to \mathcal{E}$  et  $\Gamma(U,\mathcal{E''}) \to \mathcal{E''}$ sont des isomorphismes.

- 1.2. Opérateurs cohomologiques, lien entre les cas formel faible et formel
- **1.2.1.** Soient  $g: U' \to U$  et  $g': U'' \to U'$  deux morphismes de  $\mathcal{V}$ -schémas formels faibles. Le faisceau  $g^*\mathcal{D}_U^{(m)}$  est muni d'une structure canonique de  $(\mathcal{D}_{U'}^{(m)},g^{-1}\mathcal{D}_{U}^{(m)})$ -bimodule, que l'on notera  $\mathcal{D}_{U'\to U}^{(m)}$ . L'image inverse extraordinaire par g d'un complexe  $\mathcal{E} \in D^-(\mathcal{D}_U^{(m)})$  est définie en posant  $g^{!^{(m)}}(\mathcal{E}):=\hat{\mathcal{D}}_{U'\to U}^{(m)}\otimes_{g^{-1}\mathcal{D}_{U}^{(m)}}^{\mathbb{L}}g^{-1}\mathcal{E}[d_{U'/U}].$  Si aucune confusion sur le niveau n'est à craindre, on notera  $g^!$  à la place. On vérifie que l'on dispose d'un isomorphisme  $g'^! \circ g^!(\mathcal{E}) \tilde{\to} (g \circ g')^!(\mathcal{E})$  fonctoriel en  $\mathcal{E}$ . De plus, on notera  $\mathcal{D}_{U \leftarrow U'}^{(m)} := \omega_{U'} \otimes g_g^*(\mathcal{D}_{U}^{(m)} \otimes_{\mathcal{O}_U} \omega_U^{-1})$ , l'indice g

signifiant que l'on prend la structure gauche de  $\mathfrak{D}_U^{(m)}$ -module. Comme  $g_0$  :

 $U_0' \to U_0$  est un morphisme quasi-séparé et quasi-compact entre schémas noethériens de dimension de Krull finie, le foncteur  $g_{0*} = g_*$  est de dimension cohomologique finie. On définit l'image directe par g d'un complexe  $\mathcal{E}' \in D^-(\mathcal{D}_{U'}^{(m)})$  en posant  $g_{+^{(m)}}(\mathcal{E}') := \mathbb{R}g_*(\mathcal{D}_{U \leftarrow U'}^{(m)} \otimes_{\mathcal{D}_{U'}}^{\mathbb{L}} \mathcal{E}')$ . On pourra aussi le noter  $g_+$ . De manière analogue au cas des schémas (par exemple), on vérifie l'isomorphisme  $g_+ \circ g'_+(\mathcal{E}'') \tilde{\to} (g \circ g')_+(\mathcal{E}'')$  fonctoriel en  $\mathcal{E}'' \in D^-(\mathcal{D}_{U''}^{(m)})$ .

Soient  $\mathfrak{I}\subset \mathfrak{O}_U$  un idéal, Z le sous-schéma formel faible fermé défini par  $\mathfrak{I}$  et  $\mathfrak{P}^n_{(m)}(\mathfrak{I})$  l'enveloppe à puissance divisée de niveau m et d'ordre n de  $\mathfrak{I}$ . Pour tout  $\mathfrak{D}_U^{(m)}$ -module  $\mathcal{E}$ , le faisceau  $\underline{\Gamma}_Z^{(m)}(\mathcal{E}):=\varinjlim \mathcal{H}om_{\mathfrak{O}_U}(\mathfrak{P}^n_{(m)}(\mathfrak{I}),\mathcal{E})$ 

est muni d'une structure canonique de  $\mathcal{D}_U^{(m)}$ -module. Ce foncteur s'étend sur  $D^+(\mathcal{D}_U^{(m)})$  et sera noté  $\mathbb{R}\underline{\varGamma}_Z^{(m)}$ . Cette construction est fonctorielle en Z, i.e., si  $\mathcal{I}'\subset\mathcal{I}\subset\mathcal{O}_U$  sont des idéaux, Z' et Z les  $\mathcal{V}$ -schémas formels faibles correspondants, on dispose d'un morphisme  $\mathbb{R}\underline{\varGamma}_Z^{(m)}(\mathcal{E})\to\mathbb{R}\underline{\varGamma}_{Z'}^{(m)}(\mathcal{E})$  fonctoriel en  $\mathcal{E}\in D^+(\mathcal{D}_U^{(m)})$ .

Lorsque g est une immersion fermée, on dispose comme dans le cas des schémas d'un isomorphisme canonique

$$g_{+}g^{!}(\mathcal{E})\tilde{\to}\mathbb{R}\underline{\Gamma}_{U'}^{(m)}(\mathcal{E})$$
 (1.2.1.1)

fonctoriel en  $\mathcal{E}\in D^{\mathrm{b}}(\mathcal{D}_{U}^{(m)})$ . De plus, on bénéficie aussi, via un calcul analogue à la situation des schémas, d'un isomorphisme canonique  $\mathcal{E}'\tilde{\to}g^!g_+(\mathcal{E}')$  fonctoriel  $\mathcal{E}'\in D^{\mathrm{b}}(\mathcal{D}_{U'}^{(m)})$ .

**1.2.2** (Complexes quasi-cohérents). Soient  $\mathcal{E}$  un objet de  $D^{-}({}^{g}\mathcal{D}_{U}^{(m)})$  et  $\mathcal{F} \in D^{-}(\mathcal{D}_{U}^{(m)})$ . On pose  $\mathcal{E}_{i} := \mathcal{D}_{U_{i}}^{(m)} \otimes_{\mathcal{D}_{U}^{(m)}}^{\mathbb{L}} \mathcal{E}, \mathcal{F}_{i} := \mathcal{F} \otimes_{\mathcal{D}_{U}^{(m)}}^{\mathbb{L}} \mathcal{D}_{U_{i}}^{(m)}$  et

$$\mathfrak{F} \widehat{\otimes}^{\mathbb{L}}_{\mathcal{D}_{U}^{(m)}} \mathcal{E} := \mathbb{R} \underset{\longleftarrow}{\lim} \, \mathfrak{F}_{i} \otimes^{\mathbb{L}}_{\mathcal{D}_{U:}^{(m)}} \, \mathcal{E}_{i}.$$

De même en remplaçant  $\mathcal{D}_U^{(m)}$  par  $\mathcal{O}_U$  ou  $\widehat{\mathcal{D}}_U^{(m)}$  ou plus généralement un faisceau d'anneaux sur U. On dispose d'un morphisme canonique  $\mathcal{F} \otimes_{\mathcal{D}_U^{(m)}}^{\mathbb{L}} \mathcal{E}$  bifonctoriel en  $\mathcal{E}$  et  $\mathcal{F}$  (i.e., un cube est commutatif). Lorsque  $\mathcal{F} = \mathcal{D}_U^{(m)}$ , on notera  $\widehat{\mathcal{E}} := \mathcal{D}_U^{(m)} \widehat{\otimes}_{\mathcal{D}_U^{(m)}}^{\mathbb{L}} \mathcal{E}$ . On remarque enfin que le morphisme canonique  $\mathcal{O}_U \widehat{\otimes}_{\mathcal{O}_U}^{\mathbb{L}} \mathcal{E} \to \mathcal{D}_U^{(m)} \widehat{\otimes}_{\mathcal{D}_U^{(m)}}^{\mathbb{L}} \mathcal{E}$  est un isomorphisme. On définit  $D_{\mathrm{qc}}^{\mathrm{b}}(^*\mathcal{D}_U^{(m)})$ , la sous-catégorie pleine de  $D^{\mathrm{b}}(^*\mathcal{D}_U^{(m)})$ , des complexes  $\mathcal{E}$  tels que  $\mathcal{E}_i \in D_{\mathrm{qc}}^{\mathrm{b}}(^*\mathcal{D}_{U_i}^{(m)})$ . Ses objets seront appelés complexes quasicohérents. Par exemple, un  $\mathcal{D}_U^{(m)}$ -module  $\mathcal{I}nd$ -fini (1.1.35) est un complexe

quasi-cohérent. Par [Ber02, 3.2.2], on dispose d'un foncteur  $D^{\mathrm{b}}_{\mathrm{qc}}(^*\mathcal{D}_U^{(m)}) \to D^{\mathrm{b}}_{\mathrm{qc}}(^*\widehat{\mathcal{D}}_{\mathrm{M}}^{(m)})$ , qui à  $\mathcal{E}$  associé  $\widehat{\mathcal{E}}$ .

**Lemme 1.2.3** Soient U un V-schéma formel faible lisse et  $\mathcal{E} \in D^{\mathrm{b}}_{\mathrm{coh}}(\mathbb{D}_{U}^{(m)})$ . Le morphisme canonique :  $\widehat{\mathbb{D}}_{\mathfrak{U}}^{(m)} \otimes_{\mathbb{D}_{U}^{(m)}} \mathcal{E} \to \widehat{\mathcal{E}}$  est un isomorphisme de  $D^{\mathrm{b}}_{\mathrm{coh}}(\widehat{\mathbb{D}}_{U}^{(m)})$ .

Démonstration. L'assertion est locale. On peut supposer U affine et  $\mathcal E$  globalement de présentation finie sur  $\widehat{\mathcal D}^{(m)}_{\mathfrak U}$ . De plus, le complété p-adique de  $\mathcal D^{(m)}_U$  est isomorphe à  $\widehat{\mathcal D}^{(m)}_{\mathfrak U}$  et  $\Gamma(U,\mathcal D^{(m)}_U)$  est noethérien. Le lemme découle du théorème A 1.1.30 et de [Ber96a, 3.2.3].

**Lemme 1.2.4** Soit  $g: U' \to U$  un morphisme lisse de V-schémas formels faibles lisses. Pour tout  $\mathcal{D}_U^{(m)}$ -module globalement de présentation finie  $\mathcal{E}$ ,  $\mathcal{D}_{U' \to U}^{(m)} \otimes_{g^{-1}\mathcal{D}_U^{(m)}} g^{-1}\mathcal{E}$  est un  $\mathcal{D}_{U'}^{(m)}$ -module globalement de présentation finie.

*Démonstration.* Par associativité du produit tensoriel, on se ramène au cas où  $\mathcal{E} = \mathcal{D}_{U}^{(m)}$ . Celui-ci est aisé.

**Lemme 1.2.5** Soient  $g: U' \to U$  un morphisme de V-schémas formels faibles lisses et  $\mathcal{E} \in D^{\mathrm{b}}_{\mathrm{qc}}(\mathcal{D}^{(m)}_U)$  (1.2.2). Le morphisme canonique

$$\widehat{\mathcal{D}}_{\mathfrak{U}}^{(m)} \widehat{\otimes}_{\mathcal{D}_{II}^{(m)}}^{\mathbb{L}} g^{!}(\mathcal{E}) \to \widehat{g}^{!}(\widehat{\mathcal{D}}_{\mathfrak{U}}^{(m)} \widehat{\otimes}_{\mathcal{D}_{II}^{(m)}}^{\mathbb{L}} \mathcal{E}) \tag{1.2.5.1}$$

est un isomorphisme. De plus, celui-ci est transitif en g. En particulier, si  $\mathcal{E} \in D^{\mathrm{b}}_{\mathrm{coh}}(\mathfrak{D}_{U}^{(m)})$  et  $g^!(\mathcal{E}) \in D^{\mathrm{b}}_{\mathrm{coh}}(\mathfrak{D}_{U'}^{(m)})$  (ce qui est le cas si g est lisse 1.2.4), le morphisme canonique  $\widehat{\mathfrak{D}}_{\mathfrak{U}'}^{(m)} \otimes_{\mathfrak{D}_{U'}^{(m)}} g^!(\mathcal{E}) \to \widehat{g}^!(\widehat{\mathfrak{D}}_{\mathfrak{U}}^{(m)} \otimes_{\mathfrak{D}_{U}^{(m)}} \mathcal{E})$  est un isomorphisme.

*Démonstration.* Cela découle de 1.2.3 et de la commutation au changement de base de l'image inverse extraordinaire. □

**Proposition 1.2.6** Soient  $g: U' \to U$  un morphisme de  $\mathcal{V}$ -schémas formels faibles lisses et  $\mathcal{E}^{(m_0)} \in D^{\mathrm{b}}_{\mathrm{coh}}(\mathbb{D}^{(m_0)}_U)$ . Pour tout entier  $m \geq m_0$ , on note  $\mathcal{E}^{(m)} := \mathbb{D}^{(m)}_U \otimes_{\mathbb{D}^{(m_0)}_U} \mathcal{E}^{(m_0)}$ . Lorsque  $g^{!(m_0)}(\mathcal{E}^{(m_0)}) \in D^{\mathrm{b}}_{\mathrm{coh}}(\mathbb{D}^{(m_0)}_U)$  et  $g^{!(m)}(\mathcal{E}^{(m)}) \in D^{\mathrm{b}}_{\mathrm{coh}}(\mathbb{D}^{(m)}_U)$ , le morphisme canonique

$$\widehat{\mathcal{D}}_{\mathfrak{U}',\mathbb{Q}}^{(m)} \otimes_{\widehat{\mathcal{D}}_{\mathfrak{U}',\mathbb{Q}}^{(m_0)}} \hat{g}^{!(m_0)}(\widehat{\mathcal{E}}_{\mathbb{Q}}^{(m_0)}) \to \hat{g}^{!(m)}(\widehat{\mathcal{E}}_{\mathbb{Q}}^{(m)})$$
(1.2.6.1)

est un isomorphisme.

Lorsque, pour tout  $m \ge m_0$ ,  $g^{!(m)}(\mathcal{E}^{(m)}) \in D^{\mathrm{b}}_{\mathrm{coh}}(\mathcal{D}^{(m)}_{U'})$ , le morphisme

$$\mathcal{D}_{\mathfrak{U}',\mathbb{Q}}^{\dagger} \otimes_{\widehat{\mathcal{D}}_{\mathfrak{U}',\mathbb{Q}}^{(m_0)}} \hat{g}^{!(m_0)}(\widehat{\mathcal{E}}_{\mathbb{Q}}^{(m_0)}) \to \hat{g}^{!\dagger}(\mathcal{D}_{\mathfrak{U},\mathbb{Q}}^{\dagger} \otimes_{\widehat{\mathcal{D}}_{\mathfrak{U},\mathbb{Q}}^{(m_0)}} \widehat{\mathcal{E}}_{\mathbb{Q}}^{(m_0)}) \qquad (1.2.6.2)$$

est un isomorphisme. De plus, ceux-ci sont transitifs en g.

Démonstration. Notons  $\mathcal{E}:=\mathcal{E}^{(m)}_{\mathbb{Q}}$  ( $\mathcal{E}$  est indépendant de m à isomorphisme canonique près). Si m est un entier tel que  $g^!(\mathcal{E}^{(m)})\in D^{\mathrm{b}}_{\mathrm{coh}}(\mathcal{D}^{(m)}_{U'})$ , il découle de 1.2.5 que le morphisme canonique  $\widehat{\mathcal{D}}^{(m)}_{\mathfrak{U}',\mathbb{Q}}\otimes_{\mathcal{D}_{\mathfrak{U}',\mathbb{Q}}}g^!(\mathcal{E})\to \widehat{g}^!(\widehat{\mathcal{E}}^{(m_0)}_{\mathbb{Q}})$  est un isomorphisme. Il en résulte que 1.2.6.1 est un isomorphisme. Par passage à la limite sur le niveau, on en conclut 1.2.6.2.  $\square$ 

Corollaire 1.2.7 Soient  $g: U' \to U$  un morphisme lisse de V-schémas formels faibles lisses et  $\mathcal{E} \in D^{\mathrm{b}}_{\mathrm{coh}}(\mathcal{D}_U^{(m)})$ . Le morphisme canonique

$$\mathcal{D}_{\mathfrak{U},\mathbb{Q}}^{\dagger} \otimes_{\mathcal{D}_{U'}^{(m)}} g^{!^{(m)}}(\mathcal{E}) \to g^{!\dagger}(\mathcal{D}_{\mathfrak{U},\mathbb{Q}}^{\dagger} \otimes_{\mathcal{D}_{U}^{(m)}} \mathcal{E}) \tag{1.2.7.1}$$

est un isomorphisme. De plus, celui-ci est transitif en g.

**Lemme 1.2.8** Soient  $g: U' \to U$  un morphisme de V-schémas formels faibles lisses et  $\mathcal{E}' \in D^{\mathrm{b}}_{\mathrm{qc}}(\mathcal{D}^{(m)}_{U'})$  (1.2.2). Le morphisme canonique

$$\widehat{\mathcal{D}}_{\mathfrak{U}}^{(m)} \widehat{\otimes}_{\mathcal{D}_{tt}^{(m)}}^{\mathbb{L}} g_{+(m)}(\mathcal{E}') \to \widehat{g}_{+(m)}(\widehat{\mathcal{D}}_{\mathfrak{U}'}^{(m)} \widehat{\otimes}_{\mathcal{D}_{tt'}^{(m)}}^{\mathbb{L}} \mathcal{E}') \tag{1.2.8.1}$$

est un isomorphisme. De plus, celui-ci est transitif en g. En particulier, si  $\mathcal{E}' \in D^{\mathrm{b}}_{\mathrm{coh}}(\mathcal{D}^{(m)}_{U'})$  et  $g_{+^{(m)}}(\mathcal{E}') \in D^{\mathrm{b}}_{\mathrm{coh}}(\mathcal{D}^{(m)}_{U})$  le morphisme canonique  $\widehat{\mathcal{D}}^{(m)}_{\mathfrak{U}} \otimes_{\mathcal{D}^{(m)}_{U'}} g_{+^{(m)}}(\mathcal{E}') \to \widehat{g}_{+^{(m)}}(\widehat{\mathcal{D}}^{(m)}_{\mathfrak{U}'} \otimes_{\mathcal{D}^{(m)}_{U'}} \mathcal{E}')$  est un isomorphisme.

Démonstration. La construction canonique de ce morphisme est la suivante : via le morphisme canonique  $\mathcal{D}_{U\leftarrow U'}^{(m)} \to \widehat{\mathcal{D}}_{\mathfrak{U}\leftarrow\mathfrak{U}'}^{(m)}$ , la flèche 1.2.8.1 est l'unique morphisme rendant commutatif le diagramme ci-dessous

$$\mathbb{R}g_{*}(\widehat{\mathcal{D}}_{U\leftarrow U'}^{(m)} \otimes_{\widehat{\mathcal{D}}_{U'}^{(m)}}^{\mathbb{L}} \mathcal{E}') \longrightarrow \widehat{\mathcal{D}}_{\mathfrak{U}}^{(m)} \widehat{\otimes}_{\widehat{\mathcal{D}}_{U}^{(m)}}^{\mathbb{L}} g_{+}(\mathcal{E}') \qquad (1.2.8.2)$$

$$\downarrow \qquad \qquad \qquad \downarrow \qquad \qquad \downarrow$$

Comme c'est un morphisme dans  $D_{\mathrm{qc}}^{\mathrm{b}}(\widehat{\mathcal{D}}_{\mathfrak{U}'}^{(m)})$  ([Ber02, 3.5.2.(a)]), celui-ci est un isomorphisme si et seulement si, pour tout entier i, le morphisme

induit  $\mathcal{O}_{U_i} \otimes_{\mathcal{O}_U}^{\mathbb{L}} \widehat{\mathcal{D}}_{\mathfrak{U}}^{(m)} \widehat{\otimes}_{\mathcal{D}_U^{(m)}}^{\mathbb{L}} g_+(\mathcal{E}') \to \mathcal{O}_{U_i} \otimes_{\mathcal{O}_U}^{\mathbb{L}} \hat{g}_+(\widehat{\mathcal{D}}_{\mathfrak{U}'}^{(m)} \widehat{\otimes}_{\mathcal{D}_{U'}^{(m)}}^{\mathbb{L}} \mathcal{E}'))$  est un isomorphisme.

Or, on dispose de la suite exacte  $0 \to \mathcal{O}_U \xrightarrow{\pi^{i+1}} \mathcal{O}_U \to \mathcal{O}_{U_i} \to 0$ . Ainsi,  $\mathcal{O}_{U_i}$  est de Tor-dimension et on bénéficie de l'isomorphisme de projection :  $\mathcal{O}_{U_i} \otimes_{\mathcal{O}_U}^{\mathbb{L}} \mathbb{R} g_*(\mathcal{F}') \tilde{\to} \mathbb{R} g_*(g^{-1}\mathcal{O}_{U_i} \otimes_{g^{-1}\mathcal{O}_U}^{\mathbb{L}} \mathcal{F}'$  fonctoriel en  $\mathcal{F}' \in D(g^{-1}\mathcal{D}_U^{(m)})$ . D'où le diagramme commutatif :

$$\mathcal{O}_{U_{i}} \otimes_{\mathcal{O}_{U}}^{\mathbb{L}} \mathbb{R} g_{*}(\mathcal{D}_{U \leftarrow U'}^{(m)} \otimes_{\mathcal{D}_{U'}^{(m)}}^{\mathbb{L}} \mathcal{E}') \cong \mathbb{R} g_{*}(g^{-1}\mathcal{O}_{U_{i}} \otimes_{g^{-1}\mathcal{O}_{U}}^{\mathbb{L}} (\mathcal{D}_{U \leftarrow U'}^{(m)} \otimes_{\mathcal{D}_{U'}^{(m)}}^{\mathbb{L}} \mathcal{E}')) \\
\downarrow \qquad \qquad \qquad \downarrow \qquad \qquad \downarrow \\
\mathcal{O}_{U_{i}} \otimes_{\mathcal{O}_{U}}^{\mathbb{L}} \mathbb{R} g_{*}(\widehat{\mathcal{D}}_{\mathfrak{U} \leftarrow \mathfrak{U}'}^{(m)} \otimes_{\mathcal{D}_{U'}^{(m)}}^{\mathbb{L}} \mathcal{E}') \cong \mathbb{R} g_{*}(g^{-1}\mathcal{O}_{U_{i}} \otimes_{g^{-1}\mathcal{O}_{U}}^{\mathbb{L}} (\widehat{\mathcal{D}}_{\mathfrak{U} \leftarrow \mathfrak{U}'}^{(m)} \otimes_{\mathcal{D}_{U'}^{(m)}}^{\mathbb{L}} \mathcal{E}')) \\
\downarrow \qquad \qquad \qquad \downarrow \qquad \qquad \downarrow \\
\mathcal{O}_{U_{i}} \otimes_{\mathcal{O}_{U}}^{\mathbb{L}} \mathbb{R} g_{*}(\widehat{\mathcal{D}}_{\mathfrak{U} \leftarrow \mathfrak{U}'}^{(m)} \widehat{\otimes}_{\mathcal{D}_{U'}^{(m)}}^{\mathbb{L}} \mathcal{E}') \cong \mathbb{R} g_{*}(g^{-1}\mathcal{O}_{U_{i}} \otimes_{g^{-1}\mathcal{O}_{U}}^{\mathbb{L}} (\widehat{\mathcal{D}}_{\mathfrak{U} \leftarrow \mathfrak{U}'}^{(m)} \widehat{\otimes}_{\mathcal{D}_{U'}^{(m)}}^{\mathbb{L}} \mathcal{E}')) \\
(1.2.8.3)$$

De plus, on dispose des morphismes  $\mathcal{D}_{U\leftarrow U'}^{(m)} \to \widehat{\mathcal{D}}_{\mathfrak{U}\leftarrow\mathfrak{U}'}^{(m)} \to \mathcal{D}_{U_i\leftarrow U_i'}^{(m)}$  qui induisent  $g^{-1}\mathcal{O}_{U_i}\otimes_{g^{-1}\mathcal{O}_U}^{\mathbb{L}}\mathcal{D}_{U\leftarrow U'}^{(m)} \tilde{\to} g^{-1}\mathcal{O}_{U_i}\otimes_{g^{-1}\mathcal{O}_U}^{\mathbb{L}}\widehat{\mathcal{D}}_{\mathfrak{U}\leftarrow\mathfrak{U}'}^{(m)} \tilde{\to} \mathcal{D}_{U_i\leftarrow U_i'}^{(m)}$ . Il en résulte le diagramme commutatif :

$$\mathbb{R}g_{*}(g^{-1}\mathcal{O}_{U_{i}} \otimes_{g^{-1}\mathcal{O}_{U}}^{\mathbb{L}} (\mathcal{D}_{U \leftarrow U'}^{(m)} \otimes_{\mathcal{D}_{U'}^{(m)}}^{\mathbb{L}} \mathcal{E}')) \xrightarrow{\sim} \mathbb{R}g_{*}(\mathcal{D}_{U_{i} \leftarrow U'_{i}}^{(m)} \otimes_{\mathcal{D}_{U'_{i}}^{(m)}}^{\mathbb{L}} \mathcal{E}'_{i})$$

$$\mathbb{R}g_{*}(g^{-1}\mathcal{O}_{U_{i}} \otimes_{g^{-1}\mathcal{O}_{U}}^{\mathbb{L}} (\widehat{\mathcal{D}}_{\mathfrak{U} \leftarrow \mathfrak{U}'}^{(m)} \otimes_{\mathcal{D}_{U'}^{(m)}}^{\mathbb{L}} \mathcal{E}')) \xrightarrow{\sim} \mathbb{R}g_{*}(\mathcal{D}_{U_{i} \leftarrow U'_{i}}^{(m)} \otimes_{\mathcal{D}_{U'_{i}}^{(m)}}^{\mathbb{L}} \mathcal{E}'_{i})$$

$$\mathbb{R}g_{*}(g^{-1}\mathcal{O}_{U_{i}} \otimes_{g^{-1}\mathcal{O}_{U}}^{\mathbb{L}} (\widehat{\mathcal{D}}_{\mathfrak{U} \leftarrow \mathfrak{U}'}^{(m)} \otimes_{\mathcal{D}_{U'_{i}}^{(m)}}^{\mathbb{L}} \mathcal{E}')) \xrightarrow{\sim} \mathbb{R}g_{*}(\mathcal{D}_{U_{i} \leftarrow U'_{i}}^{(m)} \otimes_{\mathcal{D}_{U'_{i}}^{(m)}}^{\mathbb{L}} \mathcal{E}'_{i}).$$

$$(1.2.8.4)$$

Via 1.2.8.3 et 1.2.8.4, le morphisme  $\mathcal{O}_{U_i} \otimes_{\mathcal{O}_U}^{\mathbb{L}} \widehat{\mathcal{D}}_{\mathfrak{U}}^{(m)} \widehat{\otimes}_{\mathcal{D}_U^{(m)}}^{\mathbb{L}} g_+(\mathcal{E}') \to \mathcal{O}_{U_i} \otimes_{\mathcal{O}_U}^{\mathbb{L}} \hat{g}_+(\widehat{\mathcal{D}}_{\mathcal{U}}^{(m)} \widehat{\otimes}_{\mathcal{D}_U^{(m)}}^{\mathbb{L}} \mathcal{E}'))$  est un isomorphisme et donc aussi 1.2.8.1.

La transitivité de 1.2.8.2 est aisée.

**Proposition 1.2.9** Soient  $g: U' \to U$  un morphisme de  $\mathcal{V}$ -schémas formels faibles lisses et  $\mathcal{E}' \in D^{\mathrm{b}}_{\mathrm{coh}}(\mathfrak{D}^{(m)}_{U'})$  tel que  $g_{+^{(m)}}(\mathcal{E}') \in D^{\mathrm{b}}_{\mathrm{coh}}(\mathfrak{D}^{(m)}_{U})$ . Le

morphisme canonique

$$\mathcal{D}_{\mathfrak{U}}^{\dagger} \otimes_{\mathcal{D}_{U}^{(m)}} g_{+^{(m)}}(\mathcal{E}') \to g_{+}^{\dagger}(\mathcal{D}_{\mathfrak{U}'}^{\dagger} \otimes_{\mathcal{D}_{U'}^{(m)}} \mathcal{E}') \tag{1.2.9.1}$$

est un isomorphisme. De plus, celui-ci est transitif en g.

*Démonstration*. Cela découle de 1.2.8 et de [Ber02, 2.4.3] par complétion et passage à la limite. □

Le lemme qui suit est aisé.

**Lemme 1.2.10** Soient U un V-schéma formel faible lisse et  $Z' \hookrightarrow Z$  deux sous-schémas fermés faibles de U et  $\mathcal{E} \in D^{\mathrm{b}}_{\mathrm{qc}}(\mathfrak{D}_U^{(m)})$ . On dispose d'un isomorphisme canonique  $\widehat{\mathfrak{D}}_{\mathfrak{U}}^{(m)}\widehat{\otimes}_{\mathfrak{D}_U^{(m)}}^{\mathbb{L}}\mathbb{R}\underline{\Gamma}_Z^{(m)}(\mathcal{E})\widetilde{\to} \mathbb{R}\underline{\Gamma}_{Z_0}^{(m)}(\widehat{\mathfrak{D}}_{\mathfrak{U}}^{(m)}\widehat{\otimes}_{\mathfrak{D}_U^{(m)}}^{\mathbb{L}}\mathcal{E})$  bifonctoriel en Z et  $\mathcal{E}$ , i.e., le diagramme suivant

$$\begin{split} \widehat{\mathcal{D}}^{(m)}_{\mathfrak{U}} \widehat{\otimes}^{\mathbb{L}}_{\mathcal{D}^{(m)}_{U}} \mathbb{R} \underline{\varGamma}^{(m)}_{Z'}(\mathcal{E}) & \xrightarrow{\sim} \mathbb{R} \underline{\varGamma}^{(m)}_{Z'_{0}}(\widehat{\mathcal{D}}^{(m)}_{\mathfrak{U}} \widehat{\otimes}^{\mathbb{L}}_{\mathcal{D}^{(m)}_{U}} \mathcal{E}) \\ \downarrow & \downarrow \\ \widehat{\mathcal{D}}^{(m)}_{\mathfrak{U}} \widehat{\otimes}^{\mathbb{L}}_{\mathcal{D}^{(m)}_{U}} \mathbb{R} \underline{\varGamma}^{(m)}_{Z}(\mathcal{E}) & \xrightarrow{\sim} \mathbb{R} \underline{\varGamma}^{(m)}_{Z_{0}}(\widehat{\mathcal{D}}^{(m)}_{\mathfrak{U}} \widehat{\otimes}^{\mathbb{L}}_{\mathcal{D}^{(m)}_{U}} \mathcal{E}) \end{split}$$

est commutatif et le cube qui s'en déduit par fonctorialité en  $\mathcal{E}$  l'est aussi. Soit  $v:Y\hookrightarrow U$  une immersion fermée de  $\mathcal{V}$ -schémas formels faibles lisses. Le diagramme canonique suivant

$$\widehat{\mathcal{D}}_{\mathfrak{U}}^{(m)} \widehat{\otimes}_{\mathcal{D}_{U}^{(m)}}^{\mathbb{L}} v_{+} v^{!}(\mathcal{E}) \xrightarrow{\sim} \widehat{\mathcal{D}}_{\mathfrak{U}}^{(m)} \widehat{\otimes}_{\mathcal{D}_{U}^{(m)}}^{\mathbb{L}} \mathbb{R} \underline{\Gamma}_{Y}^{(m)}(\mathcal{E}) \qquad (1.2.10.1)$$

$$\downarrow^{\sim} \qquad \qquad \downarrow^{\sim}$$

$$\widehat{v}_{+} \widehat{v}^{!} (\widehat{\mathcal{D}}_{\mathfrak{U}}^{(m)} \widehat{\otimes}_{\mathcal{D}_{U}^{(m)}}^{\mathbb{L}} \mathcal{E}) \xrightarrow{\sim} \mathbb{R} \underline{\Gamma}_{Y_{0}}^{(m)} (\widehat{\mathcal{D}}_{\mathfrak{U}}^{(m)} \widehat{\otimes}_{\mathcal{D}_{U}^{(m)}}^{\mathbb{L}} \mathcal{E}),$$

où l'isomorphisme du haut (resp. du bas) est 1.2.1.1 (resp. résulte de [Ber02, 4.4.5]) et celui de gauche de 1.2.8 et 1.2.5, est commutatif.

**Proposition 1.2.11** Soient  $v: Y \hookrightarrow U$  une immersion fermée de  $\mathbb{V}$ -schémas formels faibles lisses et  $Z' \hookrightarrow Z$  deux sous-schémas fermés faibles de U. Soient  $\mathcal{E}^{(m_0)} \in D^{\mathrm{b}}_{\mathrm{coh}}(\mathcal{D}_U^{(m_0)})$ . Pour tout entier  $m \geq m_0$ , on note  $\mathcal{E}^{(m)} := \mathcal{D}_U^{(m)} \otimes_{\mathcal{D}_U^{(m_0)}} \mathcal{E}^{(m_0)}$ . Lorsqu'il existe un entier  $m \geq m_0$  tel que  $\mathbb{R}\underline{\Gamma}_Z^{(m_0)}(\mathcal{E}^{(m_0)}) \in D^{\mathrm{b}}_{\mathrm{coh}}(\mathcal{D}_U^{(m_0)})$  et  $\mathbb{R}\underline{\Gamma}_Z^{(m)}(\mathcal{E}^{(m)}) \in D^{\mathrm{b}}_{\mathrm{coh}}(\mathcal{D}_U^{(m)})$  et

de même pour Z' à la place de Z, les diagrammes suivants

$$\mathbb{R}\underline{\Gamma}_{Z_{0}}^{(m)}(\widehat{\mathcal{E}}_{\mathbb{Q}}^{(m)}) \xrightarrow{\sim} \widehat{\mathcal{D}}_{\mathfrak{U},\mathbb{Q}}^{(m)} \otimes_{\widehat{\mathcal{D}}_{\mathfrak{U},\mathbb{Q}}^{(m_{0})}} \mathbb{R}\underline{\Gamma}_{Z_{0}}^{(m_{0})}(\widehat{\mathcal{E}}_{\mathbb{Q}}^{(m_{0})}) \tag{1.2.11.1}$$

$$\uparrow \qquad \qquad \qquad \qquad \uparrow \qquad \qquad \qquad \uparrow \qquad \qquad \downarrow \qquad$$

dont les morphismes horizontaux sont des isomorphismes, sont commutatifs. Lorsque, pour tout  $m \geq m_0$ ,  $\mathbb{R}\underline{\varGamma}_Z^{(m)}(\mathcal{E}^{(m)}) \in D^{\mathrm{b}}_{\mathrm{coh}}(\mathcal{D}_U^{(m)})$ , et de même pour Z', les diagrammes analogues à 1.2.11.1 et 1.2.11.2 en remplaçant respectivement «  $\widehat{\mathcal{E}}_{\mathbb{Q}}^{(m)}$  » par «  $\mathcal{D}_{\mathfrak{U},\mathbb{Q}}^{\dagger} \otimes_{\widehat{\mathcal{D}}_{\mathfrak{U},\mathbb{Q}}^{(m_0)}} \widehat{\mathcal{E}}_{\mathbb{Q}}^{(m_0)}$  » et « (m) » par «  $\dagger$  » sont commutatifs et leurs flèches horizontales sont des isomorphismes.

*Démonstration*. Cela découle de 1.2.10 de manière analogue au fait que 1.2.6 résulte de 1.2.5. □

**Proposition 1.2.12** Soit  $v:Y\hookrightarrow U$  une immersion fermée de  $\mathbb{V}$ -schémas formels faibles affines et lisses. Pour  $\mathbb{D}_Y^{(m)}$ -module à droite globalement de présentation finie  $\mathbb{M}, v_+(\mathbb{M})$  est globalement de présentation finie et on a un isomorphisme canonique :

$$\Gamma(U, v_{+}(\mathcal{M})) \tilde{\to} \Gamma(Y, \mathcal{M}) \otimes_{\Gamma(Y, \mathcal{D}_{V}^{(m)})} \Gamma(Y, \mathcal{D}_{Y \hookrightarrow U}^{(m)}).$$

De même, en remplaçant "module à droite" par "module à gauche".

Démonstration. Via 1.1.30, puisque  $\mathbb{M}$  est un  $\mathbb{D}_{Y}^{(m)}$ -module à droite globalement de présentation finie,  $\mathbb{M} \otimes_{\mathbb{D}_{Y}^{(m)}} \mathbb{D}_{Y \hookrightarrow U}^{(m)} \tilde{\to} \Gamma(Y, \mathbb{M}) \otimes_{\Gamma(Y, \mathbb{D}_{Y}^{(m)})} \mathbb{D}_{Y \hookrightarrow U}^{(m)}$ . Pout tout entier n, il découle de la  $\mathbb{O}_{U}$ -cohérence de  $\mathbb{D}_{U,n}^{(m)}$  et du théorème de type A pour les  $\mathbb{O}_{U}$ -modules cohérents que le morphisme canonique  $\Gamma(Y, \mathbb{O}_{Y}) \otimes_{\Gamma(U, \mathbb{O}_{U})} \Gamma(U, \mathbb{D}_{U,n}^{(m)}) \to \Gamma(Y, v^* \mathbb{D}_{U,n}^{(m)})$  est un isomorphisme. Le produit tensoriel et le foncteur  $\Gamma(U, -)$  commutant aux limites inductives filtrantes, il en dérive que le morphisme  $\Gamma(Y, \mathbb{O}_{Y}) \otimes_{\Gamma(U, \mathbb{O}_{U})} \Gamma(U, \mathbb{D}_{U}^{(m)}) \to \Gamma(Y, \mathbb{D}_{Y \hookrightarrow U}^{(m)})$  est un isomorphisme. Soient U' un ouvert principal de U et  $Y' := Y \cap U'$ . On obtient de même  $\Gamma(Y', \mathbb{O}_{Y}) \otimes_{\Gamma(U', \mathbb{O}_{U})} \Gamma(U', \mathbb{D}_{U}^{(m)}) \tilde{\to} \Gamma(Y', \mathbb{D}_{V' \hookrightarrow U'}^{(m)}) =$ 

 $\Gamma(Y', \mathcal{D}_{Y \hookrightarrow U}^{(m)}). \text{ Or, } \Gamma(Y, \mathcal{O}_Y) \otimes_{\Gamma(U, \mathcal{O}_U)} \Gamma(U, \mathcal{D}_U^{(m)}) \otimes_{\Gamma(U, \mathcal{D}_U^{(m)})} \Gamma(U', \mathcal{D}_U^{(m)}) \tilde{\to} \Gamma(Y', \mathcal{O}_Y) \otimes_{\Gamma(U', \mathcal{O}_U)} \Gamma(U', \mathcal{D}_U^{(m)}).$  Finalement, on obtient :

$$\Gamma(Y, \mathcal{D}^{(m)}_{Y \hookrightarrow U}) \otimes_{\Gamma(U, \mathcal{D}^{(m)}_{rr})} \Gamma(U', \mathcal{D}^{(m)}_{U}) \tilde{\rightarrow} \Gamma(Y', \mathcal{D}^{(m)}_{Y \hookrightarrow U}).$$

Comme le foncteur "faisceau associé à un préfaisceau" commute à  $v_*$  (en effet, v est une immersion fermée),  $v_*(\mathcal{M} \otimes_{\mathcal{D}_Y^{(m)}} \mathcal{D}_{Y \hookrightarrow U}^{(m)})$  est le faisceau associé au préfaisceau défini sur les ouverts principaux U' de U par  $U' \mapsto \Gamma(Y,\mathcal{M}) \otimes_{\Gamma(Y,\mathcal{D}_Y^{(m)})} \Gamma(Y,\mathcal{D}_{Y \hookrightarrow U}^{(m)}) \otimes_{\Gamma(U,\mathcal{D}_U^{(m)})} \Gamma(U',\mathcal{D}_U^{(m)})$ . Il reste ainsi à vérifier que  $\Gamma(Y,\mathcal{M}) \otimes_{\Gamma(Y,\mathcal{D}_Y^{(m)})} \Gamma(Y,\mathcal{D}_{Y \hookrightarrow U}^{(m)})$  est un  $\Gamma(U,\mathcal{D}_U^{(m)})$ -module de type fini. Le produit tensoriel étant exact à droite et  $\Gamma(Y,\mathcal{M})$  étant un  $\Gamma(Y,\mathcal{D}_Y^{(m)})$ -module de type fini, il suffit de prouver que  $\Gamma(Y,\mathcal{D}_{Y \hookrightarrow U}^{(m)})$  est un  $\Gamma(U,\mathcal{D}_U^{(m)})$ -module de type fini. On conclut via  $\Gamma(U,\mathcal{D}_U^{(m)}) \twoheadrightarrow \Gamma(Y,\mathcal{O}_Y) \otimes_{\Gamma(U,\mathcal{O}_U)} \Gamma(U,\mathcal{D}_U^{(m)}) \tilde{\to} \Gamma(Y,\mathcal{D}_{Y \hookrightarrow U}^{(m)})$ .

**Corollaire 1.2.13** Soit  $v:Y\hookrightarrow U$  une immersion fermée de V-schémas formels faibles lisses. Pour tout  $\mathcal{D}_{Y}^{(m)}$ -module cohérent  $\mathcal{M}, v_{+}(\mathcal{M})$  est  $\mathcal{D}_{U}^{(m)}$ -cohérent.

**Notations 1.2.14** Soient P un V-schéma formel faible lisse,  $T_0$  un diviseur de  $P_0$ , U l'ouvert de P complémentaire de  $T_0$  et  $j:U\hookrightarrow P$  l'immersion ouverte. On reprend les notations de Huyghe [NH03] concernant les faisceaux  $\mathcal{O}_{\mathcal{P}}(^{\dagger}*T_0)$  et  $\mathcal{D}_{\mathcal{P}}^{\dagger}(^{\dagger}*T_0)$ . De plus, pour tout entier m, on notera  $\mathcal{D}_{\mathcal{P}}^{(m)}(^{\dagger}*T_0):=\mathcal{O}_{\mathcal{P}}(^{\dagger}*T_0)\otimes_{\mathcal{O}_{\mathcal{P}}}\mathcal{D}_{\mathcal{P}}^{(m)}$  et  $\mathcal{D}_{\mathcal{P}}(^{\dagger}T_0)_{\mathbb{Q}}:=\mathcal{O}_{\mathcal{P}}(^{\dagger}T_0)_{\mathbb{Q}}\otimes_{\mathcal{O}_{\mathcal{P}}}\mathcal{D}_{\mathcal{P}}^{(m)}$ , ce dernier ne dépendant pas de m à isomorphisme canonique près.

**Proposition 1.2.15** Les homomorphismes canoniques  $\mathcal{O}_{\mathcal{P}}(^{\dagger} * T_0) \to j_* \mathcal{O}_{\mathfrak{U}}$  et  $\mathcal{D}_{\mathcal{P}}^{\dagger}(^{\dagger} * T_0) \to j_* \mathcal{D}_{\mathfrak{U}}^{\dagger}$  sont fidèlement plats à droite et à gauche.

Démonstration. On sait déjà que ces morphismes sans le symbole "\*" sont plats (cela est prouvé au cours de la preuve de [Ber96a, 4.3.10]). Il en découle que les morphismes de 1.2.15 sont plats. Par analogie, contentonsnous d'établir la fidèle platitude du deuxième morphisme de 1.2.15 dont la preuve est analogue à celle [Ber96a, 4.3.10] : grâce à [Ber96a, 3.3.5 et 4.3.8], il suffit de prouver que si  $\mathcal{P}'$  est un ouvert affine de  $\mathcal{P}$  sur lequel il existe  $f \in \Gamma(\mathcal{P}', \mathcal{O}_{\mathcal{P}})$  relevant une équation locale de  $T_0$ , et M un  $\Gamma(\mathcal{P}', \mathcal{D}_{\mathcal{P}}^{\dagger})$  (†\*  $T_0$ )-module monogène de présentation finie tel que  $T_0$ 0. Soient  $T_0$ 1 existe un  $T_0$ 2 existe un  $T_0$ 3 existe un  $T_0$ 4 existe un  $T_0$ 5 existe un  $T_0$ 6 existe un  $T_0$ 7 existe un  $T_0$ 8 existe un  $T_0$ 9 exist

M'=0. Sur  $\mathcal{P}'$ , le foncteur  $(*T_0)$  est isomorphe au foncteur localisation en f. Soit e un générateur de M'. On note E le sous- $\Gamma(\mathcal{P}',\widehat{\mathbb{B}}^{(m')}_{\mathcal{P}}(T_0)\widehat{\otimes}\widehat{\mathcal{D}}^{(m)}_{\mathcal{P}})$ -module de M' engendré par e. Comme  $\Gamma(\mathcal{P}',\widehat{\mathbb{B}}^{(m')}_{\mathcal{P}}(T_0)\widehat{\otimes}\widehat{\mathcal{D}}^{(m)}_{\mathcal{P}})$  est noethérien, E est un  $\Gamma(\mathcal{P}',\widehat{\mathbb{B}}^{(m')}_{\mathcal{P}}(T_0)\widehat{\otimes}\widehat{\mathcal{D}}^{(m)}_{\mathcal{P}})$ -module monogène, de présentation finie, sans f-torsion et tel que  $E[1/f]\widetilde{\to}M'$ . Comme  $M'/\pi M'=0$ , on obtient  $(E/\pi E)_{\overline{f}}=0$ , où  $\overline{f}$  est l'image canonique de f sur  $A/\pi A$ . On termine la preuve de façon similaire à [Ber96a, 4.3.10].

**Corollaire 1.2.16** Avec les notations de 1.2.14, pour tout entier m, les homomorphismes ,  $j_*\mathcal{O}_U \to \mathcal{O}_{\mathcal{P}}(^{\dagger}*T_0)$ ,  $j_*\mathcal{D}_U^{(m)} \to \mathcal{D}_{\mathcal{P}}^{(m)}(^{\dagger}*T_0)$  et  $j_*\mathcal{D}_{U,\mathbb{Q}} \to \mathcal{D}_{\mathcal{P}}(^{\dagger}T_0)_{\mathbb{Q}}$  sont fidèlement plats à droite et à gauche. De plus,  $j_*\mathcal{D}_U \to \mathcal{D}_{\mathcal{P}}^{\dagger}(^{\dagger}*T_0)$  et  $j_*\mathcal{D}_U^{(m)} \to \mathcal{D}_{\mathcal{P}}^{\dagger}(^{\dagger}T_0)_{\mathbb{Q}}$  sont plats à droite et à gauche.

Démonstration. Traitons d'abord la pleine fidélité. Comme  $T_0$  est un diviseur, il existe une base de voisinages affines de P telle que celle induite sur U soit constituée d'ouverts affines. Or, pour tout ouverte affine  $V^\dagger$  de  $U^\dagger$ , l'extension  $\Gamma(V^\dagger, \mathcal{O}_{U^\dagger}) \to \Gamma(V^\dagger, \mathcal{O}_{\mathfrak{U}})$  est fidèlement plate à droite et à gauche. L'extension  $j_*\mathcal{O}_U \to j_*\mathcal{O}_{\mathfrak{U}}$  est donc fidèlement plate à droite et à gauche. Grâce à 1.2.15, on l'obtient pour  $j_*\mathcal{O}_U \to \mathcal{O}_{\mathcal{P}}(^\dagger * T_0)$ .

Celle du deuxième morphisme du corollaire découle de l'isomorphisme canonique :  $\mathfrak{O}_{\mathcal{P}}(^{\dagger}*T_0)\otimes_{j_*\mathcal{O}_U}j_*\mathcal{D}_U^{(m)}\tilde{\to}\mathcal{D}_{\mathcal{P}}^{(m)}(^{\dagger}*T_0)$ . Le troisième s'en déduit par changement de base.

Passons à la platitude. Pour tout m, les extensions  $j_* \mathcal{D}_U^{(m)} \to j_* \widehat{\mathcal{D}}_{\mathfrak{U}}^{(m)}$  sont plates. Par passage à la limite sur le niveau,  $j_* \mathcal{D}_U \to j_* \mathcal{D}_{\mathfrak{U}}^{\dagger}$  est plate. La proposition 1.2.15 nous permet de conclure le premier cas. La platitude du dernier morphisme résulte, en plus des arguments précédents, de la platitude de  $j_* \widehat{\mathcal{D}}_{\mathfrak{U}}^{(m)} \to j_* \mathcal{D}_{\mathfrak{U},\mathbb{Q}}^{\dagger}$  (on utilise [Ber96a, 3.5.4]).

**Remarques 1.2.17** Soient  $\mathcal{P}$  un  $\mathcal{V}$ -schéma formel lisse,  $T_0$  un diviseur de  $P_0$  et  $\mathcal{E}$  un  $\mathcal{D}^{\dagger}_{\mathcal{P}}(^{\dagger}T_0)$ -module. On suppose qu'il existe une section  $f \in \Gamma(\mathcal{P}, \mathcal{O}_{\mathcal{P}})$  relevant une équation locale de  $T_0$ . Comme  $\mathfrak{X}$  est noethérien, le préfaisceau qui a un ouvert  $\mathcal{P}'$  associe  $\Gamma(\mathcal{P}', \mathcal{E})[1/f]$  est un faisceau. Pour tout entier  $q \geq 0$ , il en dérive  $H^q(\mathcal{P}, \mathcal{E})[1/f] \tilde{\rightarrow} H^q(\mathcal{P}, \mathcal{E}(*T_0))$ .

De plus, si  $\mathcal{F}$  est un  $\mathcal{D}^{\dagger}_{\mathcal{P}}(^{\dagger}*T_0)$ -module globalement de présentation finie, alors il existe un  $\mathcal{D}^{\dagger}_{\mathcal{P}}(^{\dagger}T_0)$ -module de présentation finie  $\mathcal{E}$  tel que  $\mathcal{E}(*T_0)\tilde{\to}\mathcal{F}$ .

On obtient ainsi les théorèmes A et B:

A) Pour qu'un  $\mathcal{D}^{\dagger}_{\mathcal{P}}(^{\dagger}*T_0)$ -module  $\mathcal{F}$  soit globalement de présentation finie, il faut et il suffit que  $\Gamma(\mathcal{P},\mathcal{F})$  soit un  $\Gamma(\mathcal{P},\mathcal{D}^{\dagger}_{\mathcal{P}}(^{\dagger}*T_0))$ -module de présentation finie, et que l'homomorphisme  $\mathcal{D}^{\dagger}_{\mathcal{P}}(^{\dagger}*T_0)\otimes_{\Gamma(\mathcal{P},\mathcal{D}^{\dagger}_{\mathcal{P}}(^{\dagger}*T_0))}\Gamma(\mathcal{P},\mathcal{F})$  soit un isomorphisme.

B) Pour tout  $\mathcal{D}^{\dagger}_{\mathcal{P}}(^{\dagger}*T_0)$ -module  $\mathcal{F}$  globalement de présentation finie, pour tout entier  $q\geq 1,\, H^q(\mathcal{P},\mathcal{F})=0.$ 

En outre, les foncteurs  $\Gamma(\mathfrak{P},-)$  et  $\mathfrak{D}^{\dagger}_{\mathfrak{P}}(^{\dagger}*T_0)\otimes_{\Gamma(\mathfrak{P},\mathfrak{D}^{\dagger}_{\mathfrak{P}}(^{\dagger}*T_0))}-sont$  des équivalences quasi-inverses entre la catégories des  $\Gamma(\mathfrak{P},\mathfrak{D}^{\dagger}_{\mathfrak{P}}(^{\dagger}*T_0))-modules$  de présentation finie et celle des  $\mathfrak{D}^{\dagger}_{\mathfrak{P}}(^{\dagger}*T_0)-modules$  de présentation finie.

En effet, en vertu de [Ber96a, 3.6], on le sait sans le symbole "\*". Les remarques précédentes nous permettent alors de conclure.

**Proposition 1.2.18** Avec les notations de 1.2.15, pour tout  $\mathcal{D}_{\mathfrak{P}}^{\dagger}(^{\dagger}*T_0)$ -module localement de présentation finie  $\mathcal{E}$ , l'homomorphisme canonique

$$j_* \mathcal{D}_{\mathfrak{U}}^{\dagger} \otimes_{\mathcal{D}_{\mathcal{P}}^{\dagger}(^{\dagger}*T_0)} \mathcal{E} \to j_* j^* \mathcal{E}$$
 (1.2.18.1)

est un isomorphisme. De plus, pour que'un morphisme de  $\mathcal{D}_{\mathcal{P}}^{\dagger}(^{\dagger}*T_0)$ modules localement de présentation finie  $\mathcal{E}$  soit injectif, surjectif ou bijectif,
il faut et il suffit que sa restriction à  $\mathfrak{U}$  le soit.

On bénéficie d'un résultat analogue en remplaçant «  $\mathcal{D}^{\dagger}_{\mathfrak{P}}(^{\dagger}*T_0)$  » par «  $\mathcal{D}^{(m)}_{\mathfrak{P}}(^{\dagger}*T_0)$  » et «  $\mathcal{D}^{\dagger}_{\mathfrak{U}}$  » par «  $\mathcal{D}^{(m)}_{\mathfrak{U}}$  ».

Démonstration. On reprend les arguments de [Ber96a, 4.3.12] : l'exactitude à droite des foncteurs en  $\mathcal{E}$  (grâce au théorème B pour les  $\mathcal{D}^{\dagger}_{\mathfrak{U}}$ -modules cohérents ou  $\mathcal{D}^{(m)}_{\mathfrak{U}}$ -modules cohérents impliquent l'exactitude de  $j_*$  dans nos cas) nous ramène, afin d'établir l'isomorphisme 1.2.18.1, au cas immédiat où  $\mathcal{E} = \mathcal{D}^{\dagger}_{\mathfrak{P}}(^{\dagger} * T_0)$  ou  $\mathcal{E} = \mathcal{D}^{(m)}_{\mathfrak{P}}(^{\dagger} * T_0)$ . La proposition 1.2.15 permet ensuite d'obtenir le critère d'isomorphie.

**Lemme 1.2.19** Soient  $f: P' \to P$  un morphisme de V-schémas formels faibles,  $T_0$  (resp.  $T_0'$ ) un diviseur de  $P_0$  (resp.  $P_0'$ ), U (resp. U') l'ouvert de P (resp. P') complémentaire de  $T_0$  (resp.  $T_0'$ ),  $j: U \hookrightarrow P$  et  $j': U' \hookrightarrow P'$  les immersions ouvertes. On suppose que f se factorise par  $g: U' \to U$ . Pour tout entier m, il existe un morphisme canonique  $j_*^{\prime} \mathcal{D}_{U' \to U}^{(m)} \to \mathcal{D}_{\mathcal{P}' \to \mathcal{P}}^{(m)}(\dagger * T_0')$  de  $(j_*^{\prime} \mathcal{D}_{U'}^{(m)}, j_*^{\prime} g^{-1} \mathcal{D}_{U}^{(m)})$ -bimodules. En outre, le morphisme induit par extension des scalaires,  $\mathcal{D}_{\mathcal{P}'}^{(m)}(\dagger * T_0') \otimes_{j_*^{\prime} \mathcal{D}_{U'}^{(m)}} j_*^{\prime} \mathcal{D}_{U' \to U}^{(m)} \to \mathcal{D}_{\mathcal{P}' \to \mathcal{P}}^{(m)}(\dagger * T_0')$ , est un isomorphisme.

Démonstration. On note

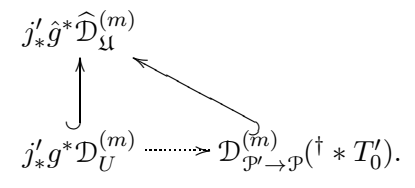
$$\mathcal{D}^{(m)}_{\mathcal{P}'\to\mathcal{P}}(^{\dagger}*T_0') := \mathcal{O}_{\mathcal{P}'}(^{\dagger}*T_0') \otimes_{f^{-1}\mathcal{O}_{\mathcal{P}}}(^{\dagger}*T_0) f^{-1}\mathcal{D}^{(m)}_{\mathcal{P}}(^{\dagger}*T_0)$$

$$\tilde{\leftarrow} \mathcal{O}_{\mathcal{P}'}(^{\dagger}*T_0') \otimes_{f^{-1}\mathcal{O}_{\mathcal{P}}} f^{-1}\mathcal{D}^{(m)}_{\mathcal{P}}.$$

L'injection canonique  $g^*\mathcal{D}_U^{(m)}\hookrightarrow \hat{g}^*\widehat{\mathcal{D}}_{\mathfrak{U}}^{(m)}$  induit  $j'_*g^*\mathcal{D}_U^{(m)}\hookrightarrow j'_*\hat{g}^*\widehat{\mathcal{D}}_{\mathfrak{U}}^{(m)}$ Puisque le morphisme  $\mathcal{O}_{\mathcal{D}'}(^\dagger*T_0')\to j'_*\mathcal{O}_{\mathfrak{U}'}$  est injectif, par un calcul en coordonnées locales, on obtient les injections (adjonction de  $j'_*$  puis complétion)

$$\mathcal{D}^{(m)}_{\mathcal{P}' \to \mathcal{P}}(^{\dagger} * T_0) \hookrightarrow j'_* \mathcal{D}^{(m)}_{\mathfrak{U}' \to \mathfrak{U}} \hookrightarrow j'_* \widehat{\mathcal{D}}^{(m)}_{\mathfrak{U}' \to \mathfrak{U}}.$$

Via un calcul en coordonnées locales et l'injection canonique  $j'_* \mathcal{O}_{U'} \hookrightarrow \mathcal{O}_{\mathcal{P}'}(^{\dagger} * T'_0)$ , on établit la factorisation :



Par extension des scalaires, il dérive de cette factorisation  $\mathcal{O}_{\mathcal{P}'}(^{\dagger}*T'_0)\otimes_{j'_*\mathcal{O}_{U'}}j'_*\mathcal{D}^{(m)}_{U'\to U}\to \mathcal{D}^{(m)}_{\mathcal{P}'\to\mathcal{P}}(^{\dagger}*T'_0)$ . Par un calcul en coordonnées locales, on vérifie que celui-ci est un isomorphisme. On conclut grâce à l'isomorphisme canonique  $\mathcal{O}_{\mathcal{P}'}(^{\dagger}*T'_0)\otimes_{j'_*\mathcal{O}_{U'}}j'_*\mathcal{D}^{(m)}_{U'\to U}\tilde{\to}\mathcal{D}^{(m)}_{\mathcal{P}'}(^{\dagger}*T'_0)\otimes_{j'_*\mathcal{D}^{(m)}_{U'}}j'_*\mathcal{D}^{(m)}_{U'\to U}$ .

**Proposition 1.2.20** Avec les notations 1.2.19, on suppose f lisse. Pour tout  $\mathfrak{D}_U^{(m)}$ -module localement en P de présentation finie  $\mathcal{E}$ , on dispose d'un isomorphisme canonique

$$\mathcal{D}_{\mathcal{P}'}^{\dagger}(^{\dagger}T'_{0})_{\mathbb{Q}} \otimes_{j'_{*}\mathcal{D}_{U'}^{(m)}} j'_{*}(\mathcal{D}_{U' \to U}^{(m)} \otimes_{g^{-1}\mathcal{D}_{U}^{(m)}} g^{-1}\mathcal{E})$$

$$\tilde{\to} \mathcal{D}_{\mathcal{P}' \to \mathcal{P}}^{\dagger}(^{\dagger}T'_{0})_{\mathbb{Q}} \otimes_{f^{-1}\mathcal{D}_{\mathcal{P}}^{\dagger}(^{\dagger}T_{0})_{\mathbb{Q}}} f^{-1}(\mathcal{D}_{\mathcal{P}}^{\dagger}(^{\dagger}T_{0})_{\mathbb{Q}} \otimes_{j_{*}\mathcal{D}_{U}^{(m)}} j_{*}\mathcal{E}).$$

En outre, ceux-ci sont transitifs en f et g.

*Démonstration.* L'homomorphisme  $j'_*\mathcal{D}^{(m)}_{U'\to U}\otimes_{j'_*g^{-1}\mathcal{D}^{(m)}_U}j'_*g^{-1}\mathcal{E}\to j'_*(\mathcal{D}^{(m)}_{U'\to U}\otimes_{q^{-1}\mathcal{D}^{(m)}_U}g^{-1}\mathcal{E})$  induit par extension des scalaires

$$\mathcal{D}_{\mathcal{P}'}^{(m)}(^{\dagger} * T'_{0}) \otimes_{j'_{*}\mathcal{D}_{U'}^{(m)}} j'_{*}\mathcal{D}_{U' \to U}^{(m)} \otimes_{j'_{*}g^{-1}\mathcal{D}_{U}^{(m)}} j'_{*}g^{-1}\mathcal{E}$$

$$\to \mathcal{D}_{\mathcal{P}'}^{(m)}(^{\dagger} * T'_{0}) \otimes_{j'_{*}\mathcal{D}_{U'}^{(m)}} j'_{*}(\mathcal{D}_{U' \to U}^{(m)} \otimes_{g^{-1}\mathcal{D}_{U}^{(m)}} g^{-1}\mathcal{E}).$$

Via 1.2.19 et le morphisme canonique  $f^{-1}j_* \to j'_*g^{-1}$  (construit par adjonction), il en dérive  $\mathcal{D}^{(m)}_{\mathcal{P}' \to \mathcal{P}}(^{\dagger} * T'_0) \otimes_{f^{-1}j_*\mathcal{D}^{(m)}_U} f^{-1}j_*\mathcal{E} \to \mathcal{D}^{(m)}_{\mathcal{P}'}(^{\dagger} * T'_0)\otimes_{j'_*\mathcal{D}^{(m)}_U} j'_*(\mathcal{D}^{(m)}_{U'\to U}\otimes_{g^{-1}\mathcal{D}^{(m)}_U} g^{-1}\mathcal{E}).$  Or,  $\mathcal{D}^{(m)}_{\mathcal{P}'\to\mathcal{P}}(^{\dagger} * T'_0)\otimes_{f^{-1}\mathcal{D}^{(m)}_\mathcal{P}}(^{\dagger} * T_0)\otimes_{f^{-1}\mathcal{D}^{(m)}_\mathcal{P}}(^{\dagger} * T_0)\otimes_{j_*\mathcal{D}^{(m)}_U} j_*\mathcal{E})$   $\to \mathcal{D}^{(m)}_{\mathcal{P}'\to\mathcal{P}}(^{\dagger} * T'_0)\otimes_{f^{-1}j_*\mathcal{D}^{(m)}_U} f^{-1}j_*\mathcal{E}.$  D'où  $\mathcal{D}^{(m)}_{\mathcal{P}'\to\mathcal{P}}(^{\dagger} * T'_0)\otimes_{f^{-1}\mathcal{D}^{(m)}_\mathcal{P}}(^{\dagger} * T_0)\otimes_{f^{-1}\mathcal{D}^{(m)}_\mathcal{P}}(^{\dagger} * T_0)\otimes_{j_*\mathcal{D}^{(m)}_U} j_*\mathcal{E}) \to \mathcal{D}^{(m)}_{\mathcal{P}'}(^{\dagger} * T'_0)\otimes_{j'_*\mathcal{D}^{(m)}_{U'}} j'_*(\mathcal{D}^{(m)}_{U'\to U}\otimes_{g^{-1}\mathcal{D}^{(m)}_U} g^{-1}\mathcal{E}). \tag{1.2.20.1}$ 

Comme  $\mathcal{E}$  est localement en P de présentation finie, il découle de 1.2.4 que  $\mathcal{D}^{(m)}_{U' o U} \otimes_{g^{-1}\mathcal{D}^{(m)}_U} g^{-1}\mathcal{E}$  est localement en P' de présentation finie. Par 1.1.33, le terme de droite de 1.2.20.1 est localement de présentation finie sur  $\mathfrak{D}^{(m)}_{\mathfrak{P}'}(^{\dag}*T_0').$  De plus, il en est de même de celui de gauche. Comme 1.2.20.1 est un isomorphisme au-dessus de  $\mathfrak{U}'$ , il découle de 1.2.18 que 1.2.20.1 est un isomorphisme. Pour en conclure la construction de l'isomorphisme de 1.2.20, il suffit de vérifier que l'homomorphisme canonique  $\mathcal{D}_{\mathcal{P}'}^{\dagger}(^{\dagger}T_0')_{\mathbb{Q}} \otimes_{\mathcal{D}_{\mathcal{P}'}^{(m)}(^{\dagger}*T_0')} \mathcal{D}_{\mathcal{P}'\to\mathcal{P}}^{(m)}(^{\dagger}*T_0') \to \mathcal{D}_{\mathcal{P}'\to\mathcal{P}}^{\dagger}(^{\dagger}T_0')_{\mathbb{Q}}, \text{ induit par ex-}$ tension des scalaires, est un isomorphisme. Comme f est lisse, ce dernier est un morphisme de  $\mathcal{D}_{\mathcal{D}'}^{\dagger}(^{\dagger}*T_0')$ -modules localement de présentation finie. Par 1.2.18, il suffit d'établir que sa restriction à  $\mathfrak{U}'$  est un isomorphisme. Or, comme g est lisse,  $\mathcal{D}^{(m)}_{\mathfrak{U}'\to\mathfrak{U}}$  est  $\mathcal{D}^{(m)}_{\mathfrak{U}'}$ -cohérent. Le morphisme  $\widehat{\mathcal{D}}^{(m)}_{\mathfrak{U}'}\otimes_{\mathcal{D}^{(m)}}$  $\mathcal{D}^{(m)}_{\mathfrak{U}'\to\mathfrak{U}}\to\,\widehat{\mathcal{D}}^{(m)}_{\mathfrak{U}'\to\mathfrak{U}}\text{ est donc un isomorphisme. Il en dérive }\widehat{\mathcal{D}}^{(m)}_{\mathfrak{U}',\mathbb{Q}}\otimes_{\mathcal{D}^{(m)}_{\mathfrak{U}'}}$  $\mathcal{D}_{\mathfrak{U}'\to\mathfrak{U}}^{(m)} \tilde{\to} \widehat{\mathcal{D}}_{\mathfrak{U}'\to\mathfrak{U},\mathbb{Q}}^{(m)}$ . On termine grâce à la commutation à isogénie près de l'image inverse extraordinaire par un morphisme lisse au niveau ([Ber02, 4.3.31).

En ce qui concerne la commutation aux isomorphismes de composition des images inverses extraordinaires, il s'agit de vérifier la commutativité d'un diagramme canonique. Par 1.2.18, il suffit de l'établir pour sa restriction à  $\mathfrak{U}''$ , ce qui est aisé.

**Proposition 1.2.21** Avec les notations 1.2.19, on suppose  $T_0' = f^{-1}(T_0)$ . Soit  $\mathcal{E}'$  un  $\mathcal{D}_{U'}^{(0)}$ -module localement en P' de présentation finie tel que  $g_+(\mathcal{E}')$  soit un  $\mathcal{D}_{U}^{(0)}$ -module localement en P de présentation finie. On dispose alors d'un morphisme canonique :

$$\mathcal{D}_{\mathcal{P}}^{\dagger}(^{\dagger} * T_{0}) \otimes_{j_{*}\mathcal{D}_{U}^{(0)}} j_{*}g_{+}(\mathcal{E}')$$

$$\rightarrow \mathbb{R}f_{*}(\mathcal{D}_{\mathcal{P}\leftarrow\mathcal{P}'}^{\dagger}(^{\dagger} * T_{0}) \otimes_{\mathcal{D}_{\mathcal{P}'}^{\dagger}(^{\dagger} * T_{0}')}^{\mathbb{L}} (\mathcal{D}_{\mathcal{P}'}^{\dagger}(^{\dagger} * T_{0}') \otimes_{j_{*}'\mathcal{D}_{U'}^{(0)}}^{\mathbb{L}} j_{*}'\mathcal{E}')).$$

$$(1.2.21.1)$$

Celui-ci est un isomorphisme au dessus de  $\mathfrak{U}$ . De plus, ceux-ci sont transitifs en f et g.

Démonstration. Par 1.2.12, on remarque que lorsque f est une immersion fermée,  $g_+(\mathcal{E}')$  est forcément un  $\mathcal{D}_U^{(0)}$ -module localement en P de présentation finie. De plus, le morphisme f est le composé de son graphe  $P' \hookrightarrow P' \times P$  suivant de la projection  $P' \times P \to P$ . On se ramène ainsi à supposer que f est soit lisse soit une immersion fermée.

Grâce à 1.1.33,  $j_*\mathbb{R}g_*(\mathcal{D}_{U\leftarrow U'}^{(0)}\otimes_{\mathcal{D}_{U'}^{(0)}}^{\mathbb{L}}\mathcal{E}')\tilde{\to}\mathbb{R}f_*j_*'(\mathcal{D}_{U\leftarrow U'}^{(0)}\otimes_{\mathcal{D}_{U'}^{(0)}}^{\mathbb{L}}\mathcal{E}').$  Lorsque f est lisse, de manière analogue à [Ber02, 2.4.6.2], on dispose

d'un quasi-isomorphisme canonique  $\Omega^{ullet}_{U'/U} \otimes_{\mathcal{O}_{U'}} \mathcal{D}^{(0)}_{U'}[d_{U'/U}] \to \mathcal{D}^{(0)}_{U\leftarrow U'}$ . En particulier,  $\mathcal{D}^{(0)}_{U\leftarrow U'}$  admet une résolution finie par des  $\mathcal{D}^{(0)}_{U'}$ -modules libres de type fini. Lorsque f est une immersion fermée,  $\mathcal{D}^{(0)}_{U'}$  est un  $\mathcal{D}^{(0)}_{U'}$ -module libre. Dans les deux cas, il en découle que le morphisme  $j'_*\mathcal{D}^{(0)}_{U\leftarrow U'} \otimes_{j'_*\mathcal{D}^{(0)}_{U'}}^{\mathbb{L}} j'_*\mathcal{E}' \to j'_*(\mathcal{D}^{(0)}_{U\leftarrow U'} \otimes_{\mathcal{D}^{(0)}_{U'}}^{\mathbb{L}} \mathcal{E}')$  est un isomorphisme. On obtient par composition :  $j_*g_+(\mathcal{E}')\tilde{\to}\mathbb{R}f_*(j'_*\mathcal{D}^{(0)}_{U\leftarrow U'} \otimes_{j'_*\mathcal{D}^{(0)}_{U'}}^{\mathbb{L}} j'_*\mathcal{E}')$ . Nous aurons besoin du lemme ci-après.

**Lemme 1.2.22** Pour tout entier m, il existe un homomorphisme canonique  $j'_*\mathcal{D}^{(m)}_{U\leftarrow U'} \to \mathcal{D}^{(m)}_{\mathcal{P}\leftarrow \mathcal{P}'}(^\dagger*T_0)$  de  $(j'_*g^{-1}\mathcal{D}^{(m)}_U, j'_*\mathcal{D}^{(m)}_{U'})$ -bimodules.

*Démonstration*. En rajoutant les faisceaux de formes différentielles de degré maximum, cela se vérifie de manière analogue à 1.2.19. □

On dispose d'un morphisme canonique  $\mathcal{D}^{(m)}_{\mathcal{P}\leftarrow\mathcal{P}'}(^{\dagger}*T_0)\to \mathcal{D}^{\dagger}_{\mathcal{P}\leftarrow\mathcal{P}'}(^{\dagger}*T_0)$ . Avec 1.2.22, on obtient  $j'_*\mathcal{D}^{(m)}_{U\leftarrow U'}\to \mathcal{D}^{\dagger}_{\mathcal{P}\leftarrow\mathcal{P}'}(^{\dagger}*T_0)$ . D'où :  $\mathbb{R}f_*(j'_*\mathcal{D}^{(0)}_{U\leftarrow U'}\otimes^{\mathbb{L}}_{j'_*\mathcal{D}^{(0)}_{U'}}j'_*\mathcal{E}')\to \mathbb{R}f_*(\mathcal{D}^{\dagger}_{\mathcal{P}\leftarrow\mathcal{P}'}(^{\dagger}*T_0)\otimes^{\mathbb{L}}_{j'_*\mathcal{D}^{(0)}_{U'}}j'_*\mathcal{E}')$   $\tilde{\to}\mathbb{R}f_*(\mathcal{D}^{\dagger}_{\mathcal{P}\leftarrow\mathcal{P}'}(^{\dagger}*T_0)\otimes^{\mathbb{L}}_{\mathcal{D}^{\dagger}_{\mathcal{P}'}(^{\dagger}*T_0')}\mathcal{D}^{\dagger}_{\mathcal{P}'}(^{\dagger}*T_0')\otimes^{\mathbb{L}}_{j'_*\mathcal{D}^{(0)}_{U'}}j'_*\mathcal{E}')$ . On obtient par composition :

$$\theta: j_*g_+(\mathcal{E}') \to \mathbb{R} f_*(\mathcal{D}_{\mathcal{P}\leftarrow\mathcal{P}'}^{\dagger}(^{\dagger}*T_0) \otimes_{\mathcal{D}_{\mathcal{P}'}^{\dagger}(^{\dagger}*T_0')}^{\mathbb{L}} \mathcal{D}_{\mathcal{P}'}^{\dagger}(^{\dagger}*T_0') \otimes_{j_*'\mathcal{D}_{U'}^{(0)}}^{\mathbb{L}} j_*'\mathcal{E}').$$

Il en résulte par extension la construction du morphisme de 1.2.21.

La restriction à  $\mathfrak U$  de  $\theta$  correspond au morphisme composé :

$$\mathbb{R}g_*(\mathcal{D}_{U\leftarrow U'}^{(0)}\otimes_{\mathcal{D}_{U'}^{(0)}}^{\mathbb{L}}\mathcal{E}')\to\mathbb{R}g_*(\widehat{\mathcal{D}}_{\mathfrak{U}\leftarrow\mathfrak{U}'}^{(0)}\otimes_{\mathcal{D}_{U'}^{(0)}}^{\mathbb{L}}\mathcal{E}')\to\mathbb{R}g_*(\mathcal{D}_{\mathfrak{U}\leftarrow\mathfrak{U}}^{\dagger}\otimes_{\mathcal{D}_{U'}^{(0)}}^{\mathbb{L}}\mathcal{E}').$$

D'après 1.2.8,  $\widehat{\mathcal{D}}_{\mathfrak{U}}^{(0)}\otimes_{\mathcal{D}_{U}^{(0)}}\mathbb{R}g_{*}(\mathcal{D}_{U\leftarrow U'}^{(0)}\otimes_{\mathcal{D}_{U'}^{(0)}}^{\mathbb{L}}\mathcal{E}')\to\mathbb{R}g_{*}(\widehat{\mathcal{D}}_{\mathfrak{U}\leftarrow \mathfrak{U}'}^{(0)}\otimes_{\mathcal{D}_{U'}^{(0)}}^{\mathbb{L}}\mathcal{E}')$  est un isomorphisme. De plus, il résulte de [Ber02, 3.5.3.(ii)] (en passant à la limite), que  $\mathcal{D}_{\mathfrak{U}}^{\dagger}\otimes_{\widehat{\mathcal{D}}_{\mathfrak{U}}^{(0)}}\mathbb{R}g_{*}(\widehat{\mathcal{D}}_{\mathfrak{U}\leftarrow \mathfrak{U}'}^{(0)}\otimes_{\mathcal{D}_{U'}^{(0)}}^{\mathbb{L}}\mathcal{E}')\to\mathbb{R}g_{*}(\mathcal{D}_{\mathfrak{U}\leftarrow \mathfrak{U}'}^{\dagger}\otimes_{\mathcal{D}_{U'}^{(0)}}^{\mathbb{L}}\mathcal{E}')$  est aussi un isomorphisme. Il en dérive que la restriction à  $\mathfrak{U}$  de 1.2.21 est un isomorphisme.

1.3. Description des isocristaux surconvergents sur les schémas affines et lisses

Soit  $Y^{\dagger}$  un  $\mathcal{V}$ -schéma formel faible affine et lisse. On remarque que grâce à Elkik ([Elk73]), il existe un  $\mathcal{V}$ -schéma affine et lisse Y dont le complété faible est isomorphe à  $Y^{\dagger}$ .

**1.3.1.** Il résulte de [Ber96b, 2.5.2], qu'il existe un foncteur pleinement fidèle de la catégorie des isocristaux surconvergents sur  $Y_0$  dans celle des  $\Gamma(Y^\dagger, \mathcal{O}_{Y^\dagger, \mathbb{Q}})$ -modules projectifs de type fini munis d'une connexion intégrable. Or, pour tout  $\Gamma(Y^\dagger, \mathcal{O}_{Y^\dagger, \mathbb{Q}})$ -module de type fini E muni d'une connexion intégrable, le morphisme canonique  $\mathcal{O}_{Y^\dagger\mathbb{Q}}\otimes_{\Gamma(Y^\dagger, \mathcal{O}_{Y^\dagger\mathbb{Q}})}E \to \mathcal{D}_{Y^\dagger\mathbb{Q}}\otimes_{\Gamma(Y^\dagger, \mathcal{D}_{Y^\dagger\mathbb{Q}})}E$  est un isomorphisme. La catégorie des  $\Gamma(Y^\dagger, \mathcal{O}_{Y^\dagger\mathbb{Q}})$ -modules de type fini munis d'une connexion intégrable est ainsi équivalente à celle des  $\mathcal{D}_{Y^\dagger,\mathbb{Q}}$ -modules globalement de présentation finie et qui soient en outre  $\mathcal{O}_{Y^\dagger,\mathbb{Q}}$ -cohérents.

Il en résulte un foncteur pleinement fidèle, noté  $\operatorname{sp}_*$ , de la catégorie des isocristaux surconvergents sur  $Y_0$  dans celle des  $\mathcal{D}_{Y^\dagger,\mathbb{Q}}$ -modules globalement de présentation finie et  $\mathcal{O}_{Y^\dagger,\mathbb{Q}}$ -cohérents.

**Proposition 1.3.2** Soient E surconvergent sur  $Y_0$  et  $\mathcal{E} := \mathrm{sp}_*(E)$ . Il existe  $\mathcal{E}^{(m)}$ , un  $\mathcal{D}^{(m)}_{Y^\dagger}$ -module globalement de présentation et  $\mathcal{O}_{Y^\dagger}$ -cohérent, et un isomorphisme  $\mathcal{D}_{Y^\dagger,\mathbb{Q}}$ -linéaire  $\mathcal{E}^{(m)}_{\mathbb{Q}} \tilde{\to} \mathcal{E}$ .

 $\begin{array}{ll} \textit{D\'{e}monstration}. \ \ \text{Notons} \ A^\dagger := \Gamma(Y^\dagger, \mathbb{O}_{Y^\dagger}) \ \text{et} \ E := \Gamma(Y^\dagger, \mathcal{E}). \ \ \text{Comme} \\ E \ \text{est un} \ A^\dagger_K\text{-module projectif de type fini, il existe un} \ A^\dagger_K\text{-module} \ F, \\ \text{un entier} \ r \ \text{et un isomorphisme} \ A^\dagger_K\text{-lin\'eaire} : E \oplus F \tilde{\to} (A^\dagger_K)^r. \ \text{En notant} \\ \widehat{E} := \widehat{A}_K \otimes_{A^\dagger_K} E \ \text{et} \ \widehat{F} := \widehat{A}_K \otimes_{A^\dagger_K} F, \ \text{on obtient l'isomorphisme} \ \widehat{E} \oplus \widehat{F} \tilde{\to} (\widehat{A}_K)^r \ \text{ainsi que les injections canoniques} \ E \hookrightarrow \widehat{E} \ \text{et} \ F \hookrightarrow \widehat{F}. \ \text{Par abus de notations, on considérera tous ces ensembles inclus dans} \ (\widehat{A}_K)^r. \end{array}$ 

On pose  $E^{(m)}:=\{e\in E/\ \forall \underline{k},\ \underline{\partial}^{<\underline{k}>}e\in E\cap (A^\dagger)^r\}$ . Il résulte de [Ber96a, 2.2.4.(iii)], que  $E^{(m)}$  est un sous- $A^\dagger$ -module de  $E\cap (A^\dagger)^r$ . Il en découle que l'ensemble  $E^{(m)}$  est un sous- $\Gamma(Y^\dagger, \mathcal{D}^{(m)}_{Y^\dagger})$ -module de E et qu'il est de type fini sur  $A^\dagger$ .

Notons  $\|-\|$  la norme spectrale sur  $\widehat{A}_K$ . Pour tout  $a \in \widehat{A}_K$ ,  $\|a\| \le 1$  si et seulement si  $a \in \widehat{A}$  ([Ber96a, 2.4.2]). Si  $\widehat{A}^N \twoheadrightarrow \widehat{E} \cap (\widehat{A})^r$  est un homomorphisme surjectif, celui-ci induit (on applique  $\otimes_{\mathcal{V}} K$ ) le suivant  $\widehat{A}_K^N \twoheadrightarrow \widehat{E}$ . On notera  $\|-\|$  la norme quotient (qui est une norme de Banach) induite par celui-ci. Pour tout  $e \in \widehat{E}$ , si  $\|e\| \le 1$  alors  $e \in \widehat{E} \cap (\widehat{A})^r$ .

Pour  $k \in \mathbb{N}$ , posons  $k = p^m q_k^{(m)} + r_k^{(m)}$ . D'après [Ber96a, 2.4.3.(i)], il existe  $\eta < 1, c \in \mathbb{R}$  tels que  $|q_k^{(m)}| \leq c \eta^k$  pour tout k. Or,  $\|\underline{\partial}^{<\underline{k}>_{(m)}}e\| = |q_k^{(m)}| \|\underline{\partial}^{[\underline{k}]}e\| \leq c^d \eta^{|\underline{k}|} \|\underline{\partial}^{[\underline{k}]}e\|$ . Comme  $\widehat{E}$  est un isocristal convergent sur  $Y_0$ , ce dernier terme tend vers 0 lorsque  $|\underline{k}|$  tend vers l'infini. Pour tout  $e \in \widehat{E}$ , il existe donc un entier N tel que  $\forall \underline{k}$  vérifiant  $|\underline{k}| \geq N, \underline{\partial}^{<\underline{k}>}e \in \widehat{E} \cap (\widehat{A})^r$ . Comme E est stable par l'action des  $\underline{\partial}^{<\underline{k}>}$  et puisque que  $E \cap \widehat{E} \cap (\widehat{A})^r = E \cap (A_K^{\dagger})^r \cap (\widehat{A})^r = E \cap (A^{\dagger})^r$  (la dernière égalité résultant de

[Éte02, Corollaire de la Proposition 2]), on en déduit que  $\forall e \in E, \exists N \in \mathbb{N}, \forall \underline{k}$  tel que  $|\underline{k}| \geq N, \underline{\partial}^{<\underline{k}>} e \in E \cap (A^\dagger)^r$ . Il en dérive que le morphisme canonique  $E_{\mathbb{Q}}^{(m)} \to E$  est un isomorphisme.

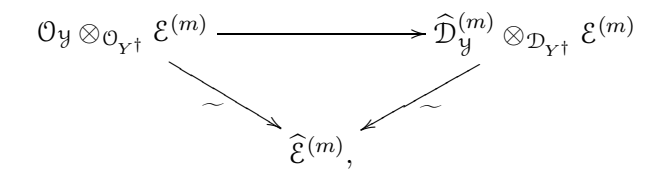
Comme le morphisme  $\mathcal{O}_{Y^\dagger} \otimes_{\varGamma(Y^\dagger,\mathcal{O}_{Y^\dagger})} E^{(m)} \to \mathcal{D}_{Y^\dagger}^{(m)} \otimes_{\varGamma(Y^\dagger,\mathcal{D}_{Y^\dagger}^{(m)})} E^{(m)}$  est un isomorphisme, le faisceau  $\mathcal{E}^{(m)} := \mathcal{D}_{Y^\dagger}^{(m)} \otimes_{\varGamma(Y^\dagger,\mathcal{D}_{Y^\dagger}^{(m)})} E^{(m)}$  répond à la question.

**Remarques 1.3.3** De manière analogue à [Ber90, 3.1.3], on voit qu'un  $\mathbb{D}_{Y^{\dagger}}^{(m)}$ -module, cohérent en tant que  $\mathbb{O}_{Y^{\dagger}}$ -module est alors cohérent en tant que  $\mathbb{D}_{Y^{\dagger}}^{(m)}$ -module.

**Corollaire 1.3.4** Avec les notations de 1.3.2, le morphisme  $\mathfrak{O}_{y,\mathbb{Q}} \otimes_{\mathfrak{O}_{Y^{\dagger},\mathbb{Q}}} \mathcal{E} \to \mathfrak{D}_{y,\mathbb{Q}}^{\dagger} \otimes_{\mathfrak{D}_{Y^{\dagger},\mathbb{Q}}} \mathcal{E}$  est un isomorphisme.

De plus, soient  $\widehat{E}$  l'isocristal convergent sur  $Y_0$  induit par E et  $\widehat{\mathcal{E}}:=\mathcal{D}_{\mathcal{Y},\mathbb{Q}}^{\dagger}\otimes_{\mathcal{D}_{Y^{\dagger},\mathbb{Q}}}\mathcal{E}$ . Alors,  $\widehat{\mathcal{E}} \overset{\sim}{\to} \mathrm{sp}_*(\widehat{E})$ , où  $\mathrm{sp}:\mathcal{Y}_K \to \mathcal{Y}$  est le morphisme de spécialisation.

 $\textit{D\'{e}monstration}.$  En notant  $\widehat{\mathcal{E}}^{(m)}$  le complété p-adique de  $\mathcal{E}^{(m)},$  on dispose du diagramme commutatif



dont les flèches obliques sont des isomorphismes. Celle horizontale l'est donc aussi. Il en dérive que le morphisme canonique  $\mathfrak{O}_{\mathfrak{Y},\mathbb{Q}}\otimes_{\mathfrak{O}_{Y^{\dagger},\mathbb{Q}}}\mathcal{E}\to\widehat{\mathcal{D}}^{(m)}_{\mathfrak{Y},\mathbb{Q}}\otimes_{\mathcal{D}_{Y^{\dagger},\mathbb{Q}}}\mathcal{E}$  est un isomorphisme. On obtient la première partie du corollaire en passant à la limite sur le niveau. La seconde partie est aisée.  $\square$ 

1.4. D-modules arithmétiques associés aux isocristaux surconvergents sur les schémas affines et lisses

Soient  $P^\dagger$  un  $\mathcal V$ -schéma formel faible lisse,  $T_0$  un diviseur de  $P_0$ ,  $U^\dagger$  l'ouvert de  $P^\dagger$  complémentaire de  $T_0$ ,  $j:U^\dagger\hookrightarrow P^\dagger$  l'immersion ouverte et  $v:Y^\dagger\hookrightarrow U^\dagger$  une immersion fermée de  $\mathcal V$ -schémas formels faibles. On suppose en outre  $Y^\dagger$  affine et lisse et on note  $X_0$  l'adhérence schématique de  $Y_0$  dans  $P_0$  et  $(F\text{-})\mathrm{Coh}(\mathcal P,T_0,X_0)$ , la catégorie des  $(F\text{-})\mathcal D_{\mathcal P}^\dagger(^\dagger T_0)_{\mathbb Q}$ -modules cohérents à support dans  $X_0$ .

**1.4.1.** Soit E un isocristal surconvergent sur  $Y_0$  et  $\mathcal{E} := \mathrm{sp}_*(E)$ . Choisissons  $\mathcal{E}^{(0)}$ , un  $\mathcal{D}_{Y^\dagger}^{(0)}$ -module globalement de présentation,  $\mathcal{O}_{Y^\dagger}$ -cohérent et vérifiant  $\mathcal{E}_{\mathbb{Q}}^{(0)} \tilde{\to} \mathcal{E}$  (voir 1.3.2). On garde les notations de 1.3.4 concernant  $\widehat{E}$ , l'isocristal convergent  $\widehat{E}$  sur  $Y_0$  induit par E et  $\widehat{\mathcal{E}} := \mathcal{D}_{\mathbb{R}}^\dagger \otimes_{\mathcal{D}_{Y^\dagger}} \otimes_{\mathcal{D}_{Y^\dagger}} \mathcal{E}$ .

Grâce à la proposition 1.2.12, le  $\mathcal{D}_{U^{\dagger}}^{(0)}$ -module  $v_+(\mathcal{E}^{(0)})$  est localement en  $P_0$  globalement de présentation finie. D'après 1.1.33, il en dérive que  $j_*v_+(\mathcal{E}^{(0)})$  est un  $j_*\mathcal{D}_{U^{\dagger}}^{(0)}$ -module cohérent. On en déduit que le faisceau

$$\operatorname{sp}_{Y^{\dagger} \hookrightarrow U^{\dagger}, T_0, +}(E) := \mathcal{D}_{\mathcal{D}}^{\dagger}(^{\dagger}T_0)_{\mathbb{Q}} \otimes_{j_* \mathcal{D}_{U^{\dagger}}^{(0)}} j_* v_+(\mathcal{E}^{(0)}),$$

est un  $\mathcal{D}^{\dagger}_{\mathcal{P}}(^{\dagger}T_0)_{\mathbb{Q}}$ -module cohérent à support dans  $X_0$ . On remarque que celui-ci est indépendant du choix de  $\mathcal{E}^{(0)}$ . On dispose ainsi d'un foncteur  $\operatorname{sp}_{Y^{\dagger} \hookrightarrow U^{\dagger}, T_0, +} : \operatorname{Isoc}^{\dagger}(Y_0/K) \to \operatorname{Coh}(\mathcal{P}, T_0, X_0)$ . Lorsque  $T_0$  est vide, on omettra comme d'habitude de l'indiquer.

**1.4.2.** Avec les notations de 1.4.1, soit  $T_0' \supset T_0$  un diviseur de  $P_0$ ,  $U'^{\dagger} := P^{\dagger} \setminus T_0'$ ,  $Y'^{\dagger} := Y^{\dagger} \setminus T_0'$  et  $j' : U'^{\dagger} \subset P^{\dagger}$ . Grâce à 1.2.20, on vérifie que l'on dispose de l'isomorphisme  $({}^{\dagger}T_0')\operatorname{sp}_{Y^{\dagger} \hookrightarrow U^{\dagger}, T_0, +}(E) \tilde{\to} \operatorname{sp}_{Y'^{\dagger} \hookrightarrow U'^{\dagger}, T_0', +}(j'^{\dagger}E)$  fonctoriel en  $E \in \operatorname{Isoc}^{\dagger}(Y_0/K)$ .

**Remarques 1.4.3** Soit  $Y^{\dagger}$  un  $\mathcal{V}$ -schéma formel faible affine et lisse. Grâce à Elkik ([Elk73]), il existe un  $\mathcal{V}$ -schéma affine et lisse Y dont le complété faible est isomorphe à  $Y^{\dagger}$ . Il existe alors une immersion fermée  $Y \hookrightarrow \mathbb{A}^r_{\mathcal{V}}$ . En notant  $P := \mathbb{P}^r_{\mathcal{V}}, \ U := \mathbb{A}^r_{\mathcal{V}}$  et T le diviseur  $P \setminus U$ , on obtient une immersion fermée  $v : Y^{\dagger} \hookrightarrow U^{\dagger}$  de  $\mathcal{V}$ -schémas formels faibles lisses et l'inclusion  $j : U^{\dagger} \subset P^{\dagger}$ . Cette situation géométrique est un cas particulier de celle de la section.

**Lemme 1.4.4** Avec les notations de 1.4.1, on dispose d'un isomorphisme canonique  $\operatorname{sp}_{Y^{\dagger} \hookrightarrow U^{\dagger}, T_0, +}(E)|_{\mathfrak{U}} \tilde{\to} \operatorname{sp}_{Y_0 \hookrightarrow \mathfrak{U}+}(\widehat{E})|_{\mathfrak{U}} \tilde{\to} v_+^{\dagger} \widehat{\mathfrak{E}}.$ 

 $\begin{array}{lll} \textit{D\'{e}monstration}. & \text{Par } 1.2.8, \ \text{sp}_{Y^{\dagger} \hookrightarrow U^{\dagger}, T_{0}, +}(E)|_{\mathfrak{U}} = \mathcal{D}_{\mathfrak{U}, \mathbb{Q}}^{\dagger} \otimes_{\mathcal{D}_{U^{\dagger}}^{(0)}} v_{+}(\mathcal{E}^{(0)}) \\ \tilde{\rightarrow} \mathcal{D}_{\mathfrak{U}, \mathbb{Q}}^{\dagger} \otimes_{\widehat{\mathcal{D}}_{\mathfrak{U}}^{(0)}} \hat{v}_{+}(\widehat{\mathcal{D}}_{\mathcal{Y}}^{(0)} \otimes_{\mathcal{D}_{Y^{\dagger}}^{(0)}} \mathcal{E}^{(0)}). & \text{Par [Ber02, 4.3.8], il en d\'{e}coule l'isomorphisme } \text{sp}_{Y^{\dagger} \hookrightarrow U^{\dagger}, T_{0}, +}(E)|_{\mathfrak{U}} \tilde{\rightarrow} v_{+}^{\dagger}(\mathcal{D}_{\mathcal{Y}, \mathbb{Q}}^{\dagger} \otimes_{\mathcal{D}_{Y^{\dagger}}^{(0)}} \mathcal{E}^{(0)}). & \text{On conclut via} \\ \widehat{\mathcal{E}} \tilde{\rightarrow} \mathcal{D}_{\mathcal{Y}, \mathbb{Q}}^{\dagger} \otimes_{\mathcal{D}_{Y^{\dagger}}^{(0)}} \mathcal{E}^{(0)} & (1.3.4). & \Box \end{array}$ 

**Proposition 1.4.5** Le foncteur  $\operatorname{sp}_{Y^{\dagger} \hookrightarrow U^{\dagger}, T_0, +}$  est exact et fidèle.

*Démonstration.* D'après 1.1.33, le morphisme canonique  $j_*v_+(\mathcal{E}^{(0)}) \to \mathbb{R} j_*v_+(\mathcal{E}^{(0)})$  est un isomorphisme. Le foncteur  $E \mapsto j_*\mathcal{D}_{U^\dagger,\mathbb{Q}} \otimes_{j_*\mathcal{D}_{U^\dagger}^{(0)}}$   $j_*v_+(\mathcal{E}^{(0)})$  (qui ne dépend pas du choix de  $\mathcal{E}^{(0)}$ ) est donc exact. Comme

l'extension  $\mathcal{D}_{\mathcal{D}}(^{\dagger}T_0)_{\mathbb{Q}} \to \mathcal{D}_{\mathcal{D}}^{\dagger}(^{\dagger}T_0)_{\mathbb{Q}}$  est plate à droite et à gauche, il résulte de 1.2.16 que  $\mathcal{D}_{\mathcal{D}}^{\dagger}(^{\dagger}T_0)_{\mathbb{Q}}$  est  $j_*\mathcal{D}_{U^{\dagger},\mathbb{Q}}$ -plat à droite et à gauche. Le foncteur  $\mathrm{sp}_{Y^{\dagger}\hookrightarrow U^{\dagger},T_0,+}$  est donc exact.

Traitons à présent la fidélité. Via [Ber96a, 4.3.12], il suffit d'établir celle de  $E\mapsto \mathrm{sp}_{Y^\dagger\hookrightarrow U^\dagger,T_0,+}(E)|_{\mathfrak U}\tilde{\to}v_+^\dagger\widehat{\mathcal E}.$  Or, le foncteur  $E\mapsto\widehat{E}$  est fidèle (cela résulte de [Ber96b, 2.1.11]),  $\mathrm{sp}_*$  est pleinement fidèle sur la catégorie des isocristaux convergent sur  $Y_0$  et  $v_+^\dagger$  est pleinement fidèle sur la catégorie des  $\mathcal D_{\mathfrak A,\mathbb O}^\dagger$ -modules cohérents. D'où le résultat.

**1.4.6.** Lorsque  $X_0$  est lisse, on dispose (voir [Car, 2.2.17]) du foncteur canonique  $\operatorname{sp}_{X_0 \hookrightarrow \mathcal{P}, T_0+} : (F\text{-})\operatorname{Isoc}^\dagger(Y_0, X_0/K) \to (F\text{-})\operatorname{Coh}(X, \mathcal{P}, T_0)$ . Ce dernier est pleinement fidèle avec et sans Frobenius et on notera  $(F\text{-})\operatorname{Isoc}^\dagger(\mathcal{P}, T_0, X_0/K)$  son image essentielle (on omet d'indiquer  $T_0$  lorsque celui-ci est vide). On dispose du diagramme essentiellement commutatif (i.e., les deux foncteurs composés sont canoniquement isomorphes) :

$$F\operatorname{-Isoc}^{\dagger}(\mathfrak{P}, T_0, X_0/K) \xrightarrow{\mid_{\mathfrak{U}}} F\operatorname{-Isoc}^{\dagger}(\mathfrak{U}, Y_0/K)$$

$$\sup_{X_0 \hookrightarrow \mathfrak{P}, T_0, +} \bigwedge \cong \sup_{Y_0 \hookrightarrow \mathfrak{U}, +} \bigwedge \cong F\operatorname{-Isoc}^{\dagger}(Y_0/X_0/K) \xrightarrow{} F\operatorname{-Isoc}(Y_0/K),$$

dont les foncteurs verticaux sont des équivalences de catégorie et où les foncteurs horizontaux sont les restrictions canoniques. D'après Kedlaya,  $F\operatorname{-Isoc}^{\dagger}(Y_0/X_0/K) \to F\operatorname{-Isoc}(Y_0/K)$  est pleinement fidèle ([Ked04]). Il en est donc de même de  $|_{\mathfrak{U}}: F\operatorname{-Isoc}^{\dagger}(\mathfrak{P}, T_0, X_0/K) \to F\operatorname{-Isoc}^{\dagger}(\mathfrak{U}, Y_0/K)$ .

**1.4.7.** Lorsque l'on travaille avec les F-isocristaux surconvergents, le théorème de pleine fidélité de Kedlaya ([Ked04]) est un outil très puissant. Le théorème ci-après en fournit une illustration. Définissons d'abord la catégorie F-Isoc $^{\dagger*}(\mathcal{P}, T_0, X_0/K)$ . Ses objets sont les couples  $(\mathcal{E}, \phi)$ , où  $\mathcal{E} \in \operatorname{Coh}(\mathcal{P}, T_0, X_0)$  tel que  $\mathcal{E}|_{\mathfrak{U}} \in \operatorname{Isoc}^{\dagger}(\mathfrak{U}, Y_0)$  et  $\phi : F^*\mathcal{E}|_{\mathfrak{U}} \stackrel{\sim}{\to} \mathcal{E}|_{\mathfrak{U}}$  dans Isoc $^{\dagger}(\mathfrak{U}, Y_0)$ . Ses flèches  $(\mathcal{E}_1, \phi_1) \rightarrow (\mathcal{E}_2, \phi_2)$  sont les morphismes  $\mathcal{D}^{\dagger}_{\mathcal{P}}(^{\dagger}T_0)_{\mathbb{Q}}$ -linéaires  $\mathcal{E}_1 \rightarrow \mathcal{E}_2$  dont la restriction à  $\mathfrak{U}$  commute à  $\phi_1$  et  $\phi_2$ . Par 1.4.4, le foncteur  $\operatorname{sp}_{Y^{\dagger} \hookrightarrow U^{\dagger}, T_0, +}$  induit F-Isoc $^{\dagger}(Y_0/K) \rightarrow F$ -Isoc $^{\dagger*}(\mathcal{P}, T_0, X_0)$ , celui-ci étant fidèle grâce à 1.4.5.

**Théorème 1.4.8** Avec les notations de 1.4.7, le foncteur  $\operatorname{sp}_{Y^{\dagger} \hookrightarrow U^{\dagger}, T_0, +}$ :  $F\operatorname{-Isoc}^{\dagger}(Y_0/K) \to F\operatorname{-Isoc}^{\dagger*}(\mathfrak{P}, T_0, X_0/K)$  est pleinement fidèle.

*Démonstration.* On dispose du diagramme canonique essentiellement commutatif

$$F\operatorname{-Isoc}^{\dagger}(Y_{0}/K) \xrightarrow{\operatorname{sp}_{Y^{\dagger} \hookrightarrow U^{\dagger}, T_{0}, +}} F\operatorname{-Isoc}^{\dagger *}(\mathfrak{P}, T_{0}, X_{0})$$

$$\downarrow \qquad \qquad \downarrow |_{\mathfrak{U}}$$

$$F\operatorname{-Isoc}(Y_{0}/K) \xrightarrow{\cong} F\operatorname{-Isoc}^{\dagger}(\mathfrak{U}, Y_{0}).$$

Comme  $\operatorname{sp}_{Y^\dagger \hookrightarrow U^\dagger, T_0, +}$  et  $|_{\mathfrak U}$  sont des foncteurs fidèles et que les deux autres sont pleinement fidèles, il en résulte que  $\operatorname{sp}_{Y^\dagger \hookrightarrow U^\dagger, T_0, +}$  et  $|_{\mathfrak U}$  sont pleinement fidèles.

**1.4.9** (**Remarque**). Si  $E \in (F ext{-})\operatorname{Isoc}^{\dagger}(Y_0/K)$ , le théorème 1.4.8 n'implique pas directement l'on dispose d'un isomorphisme canonique de commutation à Frobenius  $F^*\operatorname{sp}_{Y^{\dagger} \to U^{\dagger}, T_0, +}(E) \tilde{\to} \operatorname{sp}_{Y^{\dagger} \to U^{\dagger}, T_0, +}(F^*E)$ .

mutation à Frobenius  $F^* \operatorname{sp}_{Y^{\dagger} \hookrightarrow U^{\dagger}, T_0, +}(E) \tilde{\rightarrow} \operatorname{sp}_{Y^{\dagger} \hookrightarrow U^{\dagger}, T_0, +}(F^*E)$ . On dit que  $\phi : \operatorname{sp}_{Y^{\dagger} \hookrightarrow U^{\dagger}, T_0, +}(F^*E) \tilde{\rightarrow} F^* \operatorname{sp}_{Y^{\dagger} \hookrightarrow U^{\dagger}, T_0, +}(E)$  est *l'isomorphisme canonique de commutation à Frobenius* s'il induit le diagramme commutatif suivant

$$\operatorname{sp}_{Y^{\dagger} \hookrightarrow U^{\dagger}, T_{0}, +}(F^{*}E)|_{\mathfrak{U}} \xrightarrow{\sim} \operatorname{sp}_{Y_{0} \hookrightarrow \mathfrak{U}+}(F^{*}\widehat{E}) \xrightarrow{\sim} v_{+}^{\dagger}F^{*}\widehat{\mathcal{E}}$$

$$\sim \downarrow^{\phi|_{\mathfrak{U}}} \qquad \qquad \downarrow^{\sim}$$

$$F^{*}(\operatorname{sp}_{Y^{\dagger} \hookrightarrow U^{\dagger}, T_{0}, +}(E)|_{\mathfrak{U}}) \xrightarrow{\sim} F^{*}\operatorname{sp}_{Y_{0} \hookrightarrow \mathfrak{U}+}(\widehat{E}) \xrightarrow{\sim} F^{*}v_{+}^{\dagger}\widehat{\mathcal{E}},$$

$$(1.4.9.1)$$

où les isomorphismes horizontaux sont 1.4.4 et celui-ci de droite est l'isomorphisme canonique de commutation à Frobenius de l'image directe (voir [Ber02]). Le diagramme 1.4.9.1 implique l'unicité de cet isomorphisme. Tout le problème est de prouver son existence. Nous la prouverons lorsque  $X_0$  est lisse (voir 1.4.14) et surtout lorsque  $Y_0$  se désingularise idéalement (voir 2.3.5).

Conjecture 1.4.10. Notons  $\rho_{Y_0,X_0}:\operatorname{Isoc}^\dagger(Y_0/K)\to\operatorname{Isoc}^\dagger(Y_0,X_0/K)$  et  $\wedge:\operatorname{Isoc}^\dagger(Y_0,X_0/K)\to\operatorname{Isoc}(Y_0/K)$  les foncteurs restrictions (de même en rajoutant F-). Il est conjectural que ceux-ci soient pleinement fidèles (voir [Tsu02]). Cela implique alors les deux suivantes :

(a) Lorsque  $X_0$  est lisse, pour tout isocristal surconvergent E sur  $Y_0$ , on dispose d'un isomorphisme fonctoriel

$$\mathrm{sp}_{Y^{\dagger} \hookrightarrow U^{\dagger}, T_0, +}(E) \tilde{\to} \mathrm{sp}_{X_0 \hookrightarrow \mathcal{P}, T_0 +} \circ \rho_{Y_0, X_0}(E).$$

(b) Le foncteur  $\operatorname{sp}_{Y^{\dagger} \hookrightarrow U^{\dagger}, T_0, +}$  est pleinement fidèle.

Le théorème 1.4.16 valide la conjecture (a) lorsque l'on dispose de structure de Frobenius.

**Lemme 1.4.11** [INUTILE??] Soient  $\mathcal{P}$  un  $\mathcal{V}$ -schéma formel lisse, T un diviseur de P,  $\mathfrak{U}$  l'ouvert de  $\mathcal{P}$  complémentaire de T,  $(\mathcal{P}_{\alpha})_{\alpha\in\Lambda}$  un recouverment ouvert de  $\mathcal{P}$  et  $\mathfrak{U}_{\alpha}:=\mathcal{P}_{\alpha}\cap\mathfrak{U}$ ,  $\mathcal{E}_{1}$  et  $\mathcal{E}_{2}$  deux  $\mathcal{D}_{\mathcal{P}}^{\dagger}(^{\dagger}T)_{\mathbb{Q}}$ -modules cohérents. On suppose qu'il existe un morphisme  $\mathcal{D}_{\mathcal{P},\mathbb{Q}}^{\dagger}$ -linéaire  $\psi:\mathcal{E}_{1}|_{\mathfrak{U}}\to\mathcal{E}_{2}|_{\mathfrak{U}}$  et des morphismes  $\mathcal{D}_{\mathcal{P}_{\alpha}}^{\dagger}(^{\dagger}T\cap P_{\alpha})_{\mathbb{Q}}$ -linéaires  $\phi_{\alpha}:\mathcal{E}_{1}|_{\mathcal{P}_{\alpha}}\to\mathcal{E}_{2}|_{\mathcal{P}_{\alpha}}$  tels que  $\phi_{\alpha}|_{\mathfrak{U}_{\alpha}}=\psi|_{\mathfrak{U}_{\alpha}}$ . Alors, il existe un et un seul morphisme  $\mathcal{D}_{\mathcal{P}}^{\dagger}(^{\dagger}T)_{\mathbb{Q}}$ -linéaire  $\phi:\mathcal{E}_{1}\to\mathcal{E}_{2}$  induisant par restriction les  $\phi_{\alpha}$  et  $\psi$ .

Démonstration. Grâce à [Ber96a, 4.3.12], comme le foncteur restriction  $D^{\mathrm{b}}_{\mathrm{coh}}(\mathcal{D}^{\dagger}_{\mathcal{P}}(^{\dagger}T)_{\mathbb{Q}}) \to D^{\mathrm{b}}_{\mathrm{coh}}(\mathcal{D}^{\dagger}_{\mathfrak{U},\mathbb{Q}})$  est fidèle ? ? La condition de recollement des  $\phi_{\alpha}$  est donc satisfaite.

**Lemme 1.4.12** Soient  $\mathcal{P}$  un  $\mathcal{V}$ -schéma formel lisse,  $T \subset T'$  deux diviseurs de P et  $\mathcal{E}$  un  $(F-)\mathcal{D}^{\dagger}_{\mathcal{P}}(^{\dagger}T)_{\mathbb{Q}}$ -module cohérent. Il existe au plus une structure de  $(F-)\mathcal{D}^{\dagger}_{\mathcal{P}}(^{\dagger}T')_{\mathbb{Q}}$ -module cohérent sur  $\mathcal{E}$  prolongeant sa structure canonique de  $(F-)\mathcal{D}^{\dagger}_{\mathcal{P}}(^{\dagger}T)_{\mathbb{Q}}$ -module. De plus, l'existence d'une telle structure est locale en  $\mathcal{P}$ .

*Démonstration.* On dispose du morphisme  $\mathcal{E} \to \mathcal{D}^{\dagger}_{\mathcal{P}}(^{\dagger}T')_{\mathbb{Q}} \otimes_{\mathcal{D}^{\dagger}_{\mathcal{P}}(^{\dagger}T)_{\mathbb{Q}}} \mathcal{E}$ . Par [Ber96a, 4.3.12], celui-ci est un isomorphisme si et seulement si  $\mathcal{E}$  est muni d'une structure de  $\mathcal{D}^{\dagger}_{\mathcal{P}}(^{\dagger}T')_{\mathbb{Q}}$ -module cohérent prolongeant sa structure canonique de (F-) $\mathcal{D}^{\dagger}_{\mathcal{P}}(^{\dagger}T)_{\mathbb{Q}}$ -module.

**Lemme 1.4.13** Soient  $\mathcal{P}$  un  $\mathcal{V}$ -schéma formel lisse, X, X' des sous-schémas fermés lisses de P, T et T' deux diviseurs de P tels que  $X \setminus T = X' \setminus T'$ . Soit  $\mathcal{E}$  un  $(F-)\mathcal{D}^{\dagger}_{\mathcal{P}}(^{\dagger}T)_{\mathbb{Q}}$ -module tel qu'il existe un (F-) isocristal E sur  $X \setminus T$  surconvergent le long  $T \cap X$  et un isomorphisme  $(F-)\mathcal{D}^{\dagger}_{\mathcal{P}}(^{\dagger}T)_{\mathbb{Q}}$ -linéaire  $\mathcal{E} \xrightarrow{\sim} \operatorname{sp}_{X \hookrightarrow \mathcal{P}, T, +}(E)$ .

La structure de  $(F-)\mathcal{D}^{\dagger}_{\mathcal{P}}(^{\dagger}T)_{\mathbb{Q}}$ -module de  $\mathcal{E}$  se prolonge en une structure de  $(F-)\mathcal{D}^{\dagger}_{\mathcal{P}}(^{\dagger}T\cup T')_{\mathbb{Q}}$ -module cohérent. De plus, il existe un (F-) isocristal E' sur  $X'\setminus T'$  surconvergent le long  $T'\cap X'$  et  $\mathcal{E}\tilde{\to}\operatorname{sp}_{X'\hookrightarrow\mathcal{P},T',+}(E')$  un isomorphisme  $(F-)\mathcal{D}^{\dagger}_{\mathcal{P}}(^{\dagger}T')_{\mathbb{Q}}$ -linéaire.

Démonstration. Traitons d'abord le cas où T'=T. D'après la caractérisation de l'image essentielle de  $\operatorname{sp}_{X' \hookrightarrow \mathcal{P}, T', +}$ , il suffit de prouver que  $\mathcal{E}$  est à support dans X'. Or, grâce à [Car04b, 2.2.9], comme  $\mathbb{R}\underline{\Gamma}_T^{\dagger}((^{\dagger}X)\mathcal{E})=0$ ,  $(^{\dagger}X)\mathcal{E}=0$  si et seulement si  $((^{\dagger}X)\mathcal{E})|_{\mathcal{P}\backslash T}=0$ , de même en remplaçant X par X'. Or,  $[(^{\dagger}X)(\mathcal{E})]|_{\mathcal{P}\backslash T}\tilde{\to}(^{\dagger}X\setminus T)(\mathcal{E}|_{\mathcal{P}\backslash T})=(^{\dagger}X'\setminus T)(\mathcal{E}|_{\mathcal{P}\backslash T})$   $\tilde{\to}[(^{\dagger}X')(\mathcal{E})]|_{\mathcal{P}\backslash T}$ . Donc,  $(^{\dagger}X)(\mathcal{E})=0$  si et seulement si  $(^{\dagger}X')(\mathcal{E})=0$ .

Supposons maintenant X=X'. Par 1.4.12, le fait que  $\mathcal E$  soit même un  $(F ext{-})\mathcal D_{\mathcal P}^\dagger(^\dagger T\cup T')_{\mathbb Q}$ -module cohérent est local en  $\mathcal P$ . On peut donc supposer que  $X\hookrightarrow P$  se relève en un morphisme  $u:\mathfrak X\to \mathcal P$  de  $\mathcal V$ -schémas formels lisses. Comme les foncteurs  $u_+,u_{T,+}$  et  $u_{T\cup T',+}$  sont isomorphes, puisque  $(T\cup T')\cap X=T\cap X$ , on obtient  $\mathrm{sp}_{X\hookrightarrow \mathcal P,T,+}(E)\tilde\to u_{T\cup T',+}\mathrm{sp}_*(E)$ . La cohérence se préservant par image directe par un morphisme propre,  $\mathrm{sp}_{X\hookrightarrow \mathcal P,T,+}(E)$  est donc un  $(F ext{-})\mathcal D_{\mathcal P}^\dagger(^\dagger T\cup T')_{\mathbb Q}$ -module cohérent. On prouve de manière analogue que le faisceau  $\mathrm{sp}_{X\hookrightarrow \mathcal P,T,+}(E)$  est donc dans l'image essentielle de  $\mathrm{sp}_{X\hookrightarrow \mathcal P,T'+}$ .

En remarquant que  $X \setminus T = X \setminus (T \cup T') = X' \setminus (T \cup T') = X' \setminus T'$ , on vérifie que le cas général se déduit des deux précédents.  $\square$ 

**Proposition 1.4.14** On suppose  $X_0$  est lisse,  $P_0$  séparé et on se donne E un isocristal sur  $Y_0$  surconvergent le long de  $X_0 \setminus Y_0$ . L'isomorphisme canonique  $\phi: \operatorname{sp}_{Y^\dagger \hookrightarrow U^\dagger, T_0, +}(F^*E) \tilde{\to} F^* \operatorname{sp}_{Y^\dagger \hookrightarrow U^\dagger, T_0, +}(E)$  de commutation à Frobenius existe (voir 1.4.9), i.e., il induit le diagramme canonique

ci-dessous

$$\operatorname{sp}_{Y^{\dagger} \hookrightarrow U^{\dagger}, T_{0}, +}(F^{*}E)|_{\mathfrak{U}} \xrightarrow{\phi|_{\mathfrak{U}}} F^{*}(\operatorname{sp}_{Y^{\dagger} \hookrightarrow U^{\dagger}, T_{0}, +}(E)|_{\mathfrak{U}}) \qquad (1.4.14.1)$$

$$\downarrow^{\sim} \qquad \qquad \downarrow^{\sim}$$

$$v_{+}^{\dagger}F^{*}\widehat{\varepsilon} \xrightarrow{\sim} F^{*}v_{+}^{\dagger}\widehat{\varepsilon},$$

où les isomorphismes verticaux sont 1.4.4 et celui du bas est l'isomorphisme de commutation à Frobenius de l'image directe, est commutatif. Ainsi, lorsque E est un F-isocristal surconvergent,  $\operatorname{sp}_{Y^{\dagger} \to U^{\dagger}, T_0, +}(E)$  est muni d'une structure canonique de F- $\mathbb{D}_{\mathfrak{D}}^{\dagger}(^{\dagger}T_0)_{\mathbb{D}}$ -module.

 $\begin{array}{l} \textit{D\'{e}monstration}. \ \ \text{Fixons} \ F: Y^\dagger \to Y^\dagger \ \ \text{un rel\`{e}vement de Frobenius}. \ \text{Notons} \\ P'^\dagger := P^\dagger \times P^\dagger, \ U'^\dagger := U^\dagger \times U^\dagger, \ j': U'^\dagger \subset P'^\dagger, \ T_0' := P_0' \setminus U_0', \ f_1 \ \ \text{et} \ f_2 : P'^\dagger \to P^\dagger \ \ \text{(resp.} \ g_1 : U'^\dagger \to U^\dagger \ \ \text{et} \ g_2 : U'^\dagger \to U^\dagger, \ \text{les projections respectives à gauche et à droite,} \ h_1 : U^\dagger \times P^\dagger \to U^\dagger \ \ \text{et} \ v' \ \ \text{l'immersion ferm\'{e}e} \ \ (v, v \circ F) : Y^\dagger \to U'^\dagger. \ \ \text{D'apr\`{e}s} \ \ 1.2.20, \ \mathcal{D}_{\mathcal{P}'}^\dagger (^\dagger T_0')_{\mathbb{Q}} \otimes_{j'_*\mathcal{D}_{U'}^{(0)}} \\ j'_*g_2^!(v_+(\mathcal{E}^{(0)})) \tilde{\to} \ f_{2,T_0',T_0}^!(\mathcal{D}_{\mathcal{P}}^\dagger (^\dagger T_0)_{\mathbb{Q}} \otimes_{j_*\mathcal{D}_{U^\dagger}^{(0)}} j_*v_+(\mathcal{E}^{(0)})). \ \ \text{Or, on dispose des morphismes}: \end{array}$ 

$$v'_{+}F^{!}(\mathcal{E}^{(0)})\tilde{\to}v'_{+}F^{!}v^{!}v_{+}(\mathcal{E}^{(0)})\tilde{\to}v'_{+}v'^{!}g_{2}^{!}v_{+}(\mathcal{E}^{(0)})\to g_{2}^{!}v_{+}(\mathcal{E}^{(0)}). \tag{1.4.14.2}$$

Il en dérive par fonctorialité et composition

$$\mathcal{D}_{\mathcal{P}'}^{\dagger}(^{\dagger}T'_{0})_{\mathbb{Q}} \underset{j'_{*}\mathcal{D}_{U'}^{(0)}}{\otimes} j'_{*}(v'_{+}F^{!}(\mathcal{E}^{(0)})) \to f^{!}_{2,T'_{0},T_{0}}(\mathcal{D}_{\mathcal{P}}^{\dagger}(^{\dagger}T_{0})_{\mathbb{Q}} \underset{j_{*}\mathcal{D}_{U^{\dagger}}^{(0)}}{\otimes} j_{*}v_{+}(\mathcal{E}^{(0)})).$$

$$(1.4.14.3)$$

Notons  $\delta_{F_0}$  le morphisme  $(id, F_0): P_0 \hookrightarrow P_0 \times P_0$ , où  $F_0$  est Frobenius. Pour simplifier les notations, on identifiera  $P_0, U_0, X_0, Y_0$  comme sousschéma de  $P_0 \times P_0$  via  $\delta_{F_0}$  (on prendra garde de ne pas les identifier via l'immersion diagonale par exemple).

Comme il existe un isocristal  $\widetilde{E}$  sur  $Y_0$  surconvergent le long de  $X_0 \cap T_0$  tel que  $\mathcal{D}^{\dagger}_{\mathcal{P}}(^{\dagger}T_0)_{\mathbb{Q}} \otimes_{j_*\mathcal{D}^{(0)}_{U^{\dagger}}} j_*v_+(\mathcal{E}^{(0)}) \widetilde{\to} \operatorname{sp}_{X_0 \hookrightarrow \mathcal{P}, T_0, +}(\widetilde{E})$ , celui-ci est  $\mathcal{D}^{\dagger}_{\mathcal{P}}(^{\dagger}T_0)_{\mathbb{Q}}$  surcohérent (2.1.4). Puisque  $\mathcal{D}^{\dagger}_{\mathcal{P}'}(^{\dagger}T_0')_{\mathbb{Q}} \otimes_{j_*'\mathcal{D}^{(0)}_{U'}} j_*'(v_+'F^!(\mathcal{E}^{(0)}))$  est un  $\mathcal{D}^{\dagger}_{\mathcal{P}'}(^{\dagger}T_0')_{\mathbb{Q}}$ -module cohérent à support dans  $X_0$  (et donc dans  $P_0$ ), il dérive alors de 1.4.14.3 le morphisme dans  $\mathcal{D}^{\mathrm{b}}_{\mathrm{coh}}(\mathcal{D}^{\dagger}_{\mathcal{P}'}(^{\dagger}T_0')_{\mathbb{Q}})$ :

$$\mathcal{D}_{\mathcal{P}'}^{\dagger}(^{\dagger}T_{0}')_{\mathbb{Q}} \otimes_{j_{*}'\mathcal{D}_{U'}^{(0)}} j_{*}'(v_{+}'F^{!}(\mathcal{E}^{(0)}))$$

$$\to \mathbb{R}\underline{\Gamma}_{P_{0}}^{\dagger} \circ f_{2,T_{0}',T_{0}}^{!}(\mathcal{D}_{\mathcal{P}}^{\dagger}(^{\dagger}T_{0})_{\mathbb{Q}} \otimes_{j_{*}\mathcal{D}_{U^{\dagger}}^{(0)}} j_{*}v_{+}(\mathcal{E}^{(0)})). \tag{1.4.14.4}$$

 $\begin{array}{l} \operatorname{Comme} \, \delta_{F_0}^{-1}(f_1^{-1}(T_0)) = T_0, \, \delta_{F_0}^{-1}(f_2^{-1}(T_0)) = T_0^{(s)} \text{ et } T_0' = f_1^{-1}(T_0) \cup \\ f_2^{-1}(T_0), \, \mathbb{R}\underline{\varGamma}_{P_0}^{\dagger} \circ (^{\dagger}f_2^{-1}(T_0)) \tilde{\rightarrow} \, \mathbb{R}\underline{\varGamma}_{P_0}^{\dagger} \circ (^{\dagger}T_0'). \, \text{On en d\'eduit } \mathbb{R}\underline{\varGamma}_{P_0}^{\dagger} \circ f_{2,T_0',T_0}^! \\ \tilde{\rightarrow} \, \mathbb{R}\underline{\varGamma}_{P_0}^{\dagger} \circ f_{2,T_0}^!. \, \operatorname{Comme} \, \delta_{F_0,f_1^{-1}(T_0),+} \tilde{\rightarrow} \, \delta_{F_0,+} \tilde{\rightarrow} \, \delta_{F_0,f_2^{-1}(T_0),+}, \, \text{on obtient} \end{array}$ 

$$\begin{split} \mathbb{R}\underline{\varGamma}_{P_0}^{\dagger} \circ f_{2,T_0',T_0}^! \tilde{\to} \mathbb{R}\underline{\varGamma}_{P_0}^{\dagger} \circ f_{2,T_0}^! \tilde{\to} \delta_{F_0,f_2^{-1}(T_0),+} \delta_{F_0,f_2^{-1}(T_0)}^! f_{2,T_0}^! \\ \tilde{\to} \delta_{F_0,f_2^{-1}(T_0),+} F_{0,T_0}^* \tilde{\to} \delta_{F_0,f_1^{-1}(T_0),+} F_0^*. \end{split}$$

Le morphisme 1.4.14.4 est donc canoniquement isomorphe à

$$\mathcal{D}_{\mathcal{P}'}^{\dagger}(^{\dagger}T_{0}')_{\mathbb{Q}} \otimes_{j_{*}'\mathcal{D}_{U'}^{(0)}} j_{*}'(v_{+}'F^{!}(\mathcal{E}^{(0)}))$$

$$\to \delta_{F_{0},f_{1}^{-1}(T_{0}),+}F_{0}^{*}(\mathcal{D}_{\mathcal{P}}^{\dagger}(^{\dagger}T_{0})_{\mathbb{Q}} \otimes_{j_{*}\mathcal{D}_{U^{\dagger}}^{(0)}} j_{*}v_{+}(\mathcal{E}^{(0)})). \tag{1.4.14.5}$$

Notons j'' l'immersion ouverte  $U^\dagger \times P^\dagger \hookrightarrow P'^\dagger$  et  $v'': Y^\dagger \hookrightarrow U^\dagger \times P^\dagger$  l'immersion fermée composée du graphe de  $j \circ v \circ F$  (qui est une immersion fermée car car  $P_0$  est séparé) suivi de  $v \times id: Y^\dagger \times P^\dagger \hookrightarrow U^\dagger \times P^\dagger$ . Comme  $j'' \circ v'' = j' \circ v', j''_* \circ v''_+ \tilde{\rightarrow} j'_* \circ v'_+$ . Il en découle que le morphisme d'adjonction  $j''_* \mathcal{D}^{(0)}_{U^\dagger \times P^\dagger} \to j'_* \mathcal{D}^{(0)}_{U'^\dagger}$  induit la flèche

$$\mathcal{D}_{\mathcal{P}'}^{\dagger}(^{\dagger}T'_{0})_{\mathbb{Q}} \underset{j_{*}''\mathcal{D}_{U^{\dagger}\times P^{\dagger}}^{(0)}}{\otimes} j_{*}''(v_{+}''F^{!}(\mathcal{E}^{(0)})) \to \mathcal{D}_{\mathcal{P}'}^{\dagger}(^{\dagger}T'_{0})_{\mathbb{Q}} \underset{j_{*}'\mathcal{D}_{U^{\dagger}}^{(0)}}{\otimes} j_{*}'(v_{+}'F^{!}(\mathcal{E}^{(0)})).$$

Comme  $f_1 \circ \delta_{F_0} = id$ , on vérifie  $Y_0 = X_0 \times_{P_0 \times P_0} (U_0 \times P_0)$ .  $F^* \mathcal{E}^{(0)}$  est un  $\mathcal{D}^{(0)}_{Y^\dagger}$ -module globalement de présentation,  $\mathcal{O}_{Y^\dagger}$ -cohérent et tel que  $F^* \mathcal{E}^{(0)}_{\mathbb{Q}} \tilde{\to} F^* \mathcal{E}$ . Il représente donc un modèle de l'isocristal surconvergent  $F^* E$ . Or,  $\mathcal{D}^\dagger_{\mathcal{D}'}(^\dagger f_1^{-1}(T_0))_{\mathbb{Q}} \otimes_{j_*'' \mathcal{D}^{(0)}_{U^\dagger \times P^\dagger}} j_*''(v_+'' F^*(\mathcal{E}^{(0)}))$  est dans l'image es-

sentielle de  $\operatorname{sp}_{X_0\hookrightarrow P_0',f_1^{-1}(T_0),+}$ . Par 1.4.13, celui-ci est même un  $\mathcal{D}_{\mathcal{P}'}^{\dagger}(^{\dagger}T_0')_{\mathbb{Q}}$ -module cohérent et donc le morphisme canonique

$$\mathcal{D}_{\mathcal{P}'}^{\dagger}(^{\dagger}f_{1}^{-1}(T_{0}))_{\mathbb{Q}} \otimes_{j_{*}''\mathcal{D}_{U^{\dagger}\times P^{\dagger}}^{(0)}} j_{*}''(v_{+}''F^{!}(\mathcal{E}^{(0)}))$$

$$\to \mathcal{D}_{\mathcal{P}'}^{\dagger}(^{\dagger}T_{0}')_{\mathbb{Q}} \otimes_{j_{*}''\mathcal{D}_{U^{\dagger}\times P^{\dagger}}^{(0)}} j_{*}''(v_{+}''F^{!}(\mathcal{E}^{(0)})). \tag{1.4.14.7}$$

est un isomorphisme. En composant 1.4.14.5, 1.4.14.6 et 1.4.14.7, on obtient

$$\mathcal{D}^{\dagger}_{\mathcal{P}'}(^{\dagger}f_{1}^{-1}(T_{0}))_{\mathbb{Q}} \otimes_{j_{*}''\mathcal{D}^{(0)}_{U^{\dagger}\times P^{\dagger}}} j_{*}''(v_{+}''F^{!}(\mathcal{E}^{(0)}))$$

$$\rightarrow \delta_{F_{0},f_{1}^{-1}(T_{0}),+} F_{0}^{*}(\mathcal{D}^{\dagger}_{\mathcal{P}}(^{\dagger}T_{0})_{\mathbb{Q}} \otimes_{j_{*}\mathcal{D}^{(0)}_{U^{\dagger}}} j_{*}v_{+}(\mathcal{E}^{(0)})). \tag{1.4.14.8}$$

Or, d'après 1.2.21, on dispose du morphisme

$$\mathcal{D}_{\mathcal{D}}^{\dagger}(^{\dagger}T_{0})_{\mathbb{Q}} \otimes_{j_{*}\mathcal{D}_{U^{\dagger}}^{(0)}} j_{*}(h_{1,+}v_{+}''F^{*}(\mathcal{E}^{(0)}))$$

$$\to f_{1,T_{0},+}(\mathcal{D}_{\mathcal{D}'}^{\dagger}(^{\dagger}f_{1}^{-1}(T_{0}))_{\mathbb{Q}} \otimes_{j_{*}''\mathcal{D}_{U^{\dagger}\times\mathcal{P}^{\dagger}}^{(0)}} j_{*}''(v_{+}''F^{*}(\mathcal{E}^{(0)}))), \quad (1.4.14.9)$$

qui est un isomorphisme grâce à [Ber96a, 4.3.12]. Comme  $h_{1,+}v''_+\stackrel{\sim}{\to} id_+$  et  $f_{1,T_0,+}\circ\delta_{F_0,f_1^{-1}(T_0),+}\stackrel{\sim}{\to} id_+$ , en utilisant 1.4.14.9 et en appliquant  $f_{1,T_0,+}$  à 1.4.14.8, on obtient alors

$$\mathcal{D}_{\mathcal{P}}^{\dagger}(^{\dagger}T_{0})_{\mathbb{Q}} \otimes_{j_{*}\mathcal{D}_{U^{\dagger}}^{(0)}} j_{*}(v_{+}F^{*}(\mathcal{E}^{(0)}))$$

$$\to F_{0}^{*}(\mathcal{D}_{\mathcal{P}}^{\dagger}(^{\dagger}T_{0})_{\mathbb{Q}} \otimes_{j_{*}\mathcal{D}_{U^{\dagger}}^{(0)}} j_{*}v_{+}(\mathcal{E}^{(0)})). \tag{1.4.14.10}$$

Par [Ber96a, 4.3.12], pour conclure la démonstration, il suffit de prouver que le diagramme 1.4.14.1 est commutatif. Cela est local en  $\mathfrak U$  et on se ramène au cas où  $U^{\dagger}$  est affine. On notera  $F:U^{\dagger}\to U^{\dagger}$  un relèvement de Frobenius et  $\delta_F=(id,F):U^{\dagger}\hookrightarrow U'^{\dagger}$ . On aura besoin du lemme ci-après.

**Lemme 1.4.15** Avec les notations ci-dessus, pour tout  $\mathcal{D}^{\dagger}_{\mathcal{P}'}({}^{\dagger}f_1^{-1}(T_0))_{\mathbb{Q}}$ -module (ou complexe) cohérent à support dans  $P_0$ , on dispose d'un isomorphisme canonique  $(f_{1,T_0,+}(\mathcal{E})|_{\mathfrak{U}}\tilde{\to}g_{1,+}(\mathcal{E}|_{\mathfrak{U}})$  fonctoriel en  $\mathcal{E}$ .

Démonstration. On a toujours  $(f_{1,T_0,+}(\mathcal{E})|_{\mathfrak{U}}\tilde{\to}h_{1,+}(\mathcal{E}|_{\mathfrak{U}\times\mathcal{P}})$ . On termine alors la preuve en remarquant que  $\mathcal{E}|_{\mathfrak{U}\times\mathcal{P}}$  est à support dans  $U_0$  et l'immersion fermée  $U_0\hookrightarrow U_0\times P_0$  induite par  $\delta_{F_0}$  se factorise par  $U_0\hookrightarrow U_0'$ .

En appliquant  $h_{1,+}^{\dagger}$  au morphisme  $\theta$  de

$$\mathcal{D}_{\mathfrak{U}',\mathbb{Q}}^{\dagger} \otimes_{\mathcal{D}_{U'}^{(0)}} (v'_{+}F^{!}(\mathcal{E}^{(0)})) = \mathcal{D}_{\mathfrak{U}',\mathbb{Q}}^{\dagger} \otimes_{\mathcal{D}_{U'}^{(0)}} (v'_{+}F^{!}(\mathcal{E}^{(0)}))$$

$$\downarrow^{\dagger} \theta \qquad \qquad \downarrow^{\dagger} \psi$$

$$\delta_{F+\dagger}F^{*}(\mathcal{D}_{\mathfrak{U},\mathbb{Q}}^{\dagger} \otimes_{\mathcal{D}_{U}^{(0)}} v_{+}(\mathcal{E}^{(0)})) \qquad \mathcal{D}_{\mathfrak{U}',\mathbb{Q}}^{\dagger} \otimes_{\mathcal{D}_{U'}^{(0)}} (g_{2}^{!}v_{+}(\mathcal{E}^{(0)}))$$

$$\uparrow^{\dagger} \qquad \qquad \downarrow^{\prime} \psi$$

$$\delta_{F+\dagger}\delta_{F}^{!\dagger}g_{2}^{!\dagger}(\mathcal{D}_{\mathfrak{U},\mathbb{Q}}^{\dagger} \otimes_{\mathcal{D}_{U}^{(0)}} v_{+}(\mathcal{E}^{(0)})), \longrightarrow g_{2}^{!\dagger}(\mathcal{D}_{\mathfrak{U},\mathbb{Q}}^{\dagger} \otimes_{\mathcal{D}_{U}^{(0)}} v_{+}(\mathcal{E}^{(0)}))$$

$$(1.4.15.$$

où la flèche de droite du haut est 1.4.14.2, on obtient, modulo 1.4.15, 1.2.9 et les isomorphismes  $h_{1,+,\dagger}\delta_{F+,\dagger}\tilde{\to}id_+$  et  $h_{1,+\dagger}v'_{+\dagger}\tilde{\to}v_{+\dagger}$ , la restriction de 1.4.14.10 à  $\mathfrak U$ , i.e.,  $\mathcal D_{\mathfrak U,\mathbb Q}^\dagger\otimes_{\mathcal D_{U^\dagger}^{(0)}}v_+F^*(\mathcal E^{(0)})\to F^*(\mathcal D_{\mathfrak U,\mathbb Q}^\dagger\otimes_{\mathcal D_{U^\dagger}^{(0)}}v_+(\mathcal E^{(0)}))$ .

En appliquant  $\delta_{F+\dagger}$  à l'isomorphisme canonique  $v_+^{\dagger}F^*\widehat{\mathcal{E}} \xrightarrow{\sim} F^*v_+^{\dagger}\widehat{\mathcal{E}}$ , on obtient  $v_+^{\prime\dagger}F^*\widehat{\mathcal{E}} \xrightarrow{\sim} \delta_{F+\dagger}F^*v_+^{\dagger}\widehat{\mathcal{E}}$ , que l'on notera  $\theta^{\dagger}$ . Il s'agit de vérifier que  $\theta$  et  $\theta^{\dagger}$  se correspondent via les isomorphismes 1.2.9, 1.2.5 et 1.2.6. Or, d'après

[Car03], le morphisme trace  ${\rm Tr}:id\to v^{!\dagger}v_{+\dagger}$  est compatible à Frobenius, i.e., le diagramme canonique

$$F^{*}(\widehat{\mathcal{E}}) \xrightarrow{\operatorname{Tr}} v^{!\dagger} v_{+\dagger} F^{*}(\widehat{\mathcal{E}}) \tag{1.4.15.2}$$

$$\downarrow^{\operatorname{Tr}} \qquad \qquad \downarrow^{\sim}$$

$$F^{*} v^{!\dagger} v_{+\dagger}(\widehat{\mathcal{E}}) \xrightarrow{\sim} v^{!\dagger} F^{*} v_{+\dagger}(\widehat{\mathcal{E}}),$$

est commutatif. En lui appliquant  $v_{+\dagger}$ , on obtient le carré de gauche du diagramme

$$v_{+\dagger}F^{*}(\widehat{\mathcal{E}}) \xrightarrow{\operatorname{Tr}} v_{+\dagger}v^{!\dagger}v_{+\dagger}F^{*}(\widehat{\mathcal{E}}) \xrightarrow{\operatorname{Tr}} v_{+\dagger}F^{*}(\widehat{\mathcal{E}}) \qquad (1.4.15.3)$$

$$\downarrow^{\operatorname{Tr}} \qquad \qquad \downarrow^{\sim} \qquad \qquad \downarrow$$

$$v_{+\dagger}F^{*}v^{!\dagger}v_{+\dagger}(\widehat{\mathcal{E}}) \xrightarrow{\sim} v_{+\dagger}v^{!\dagger}F^{*}v_{+\dagger}(\widehat{\mathcal{E}}) \xrightarrow{\operatorname{Tr}} F^{*}v_{+\dagger}(\widehat{\mathcal{E}}).$$

Ainsi, le diagramme de droite de 1.4.15.3 est commutatif. Or, on dispose du diagramme commutatif :

En effet, le carré en bas à droite est commutatif par transitivité du morphisme trace, les deux du milieu le sont par fonctorialité et par transitivité de l'isomorphisme de commutation à la composition des images inverses extraordinaires, et les deux autres le sont par fonctorialité. Grâce à la commutativité de 1.4.15.3, le morphisme  $\delta_{F+\uparrow}v_+^{\dagger}F^*(\widehat{\mathcal{E}}) \to \delta_{F+\uparrow}F^*v_{+\uparrow}(\widehat{\mathcal{E}})$  de 1.4.15.4 passant par la droite est  $\theta^{\dagger}$ , i.e., l'image par  $\delta_{F+\uparrow}$  de l'isomorphisme  $v_+^{\dagger}F^*(\widehat{\mathcal{E}})\tilde{\to}F^*v_{+\uparrow}(\widehat{\mathcal{E}})$ . Or, la flèche  $\delta_{F+\uparrow}v_+^{\dagger}F^*(\widehat{\mathcal{E}}) \to \delta_{F+\uparrow}F^*v_{+\uparrow}(\widehat{\mathcal{E}})$  de 1.4.15.4 passant par la gauche, correspond à  $\theta$  (voir 1.4.15.1) modulo les isomorphismes 1.2.9, 1.2.5 et 1.2.6. En effet, cela découle tautologiquement de 1.2.10 et 1.2.11.

**Proposition 1.4.16** On suppose  $X_0$  lisse. Pour tout F-isocristal E surconvergent sur  $Y_0$ , on dispose d'un isomorphisme F- $\mathcal{D}_{\mathcal{P}}^{\dagger}(^{\dagger}T_0)_{\mathbb{Q}}$ -linéaire  $\operatorname{sp}_{Y^{\dagger} \hookrightarrow U^{\dagger}, T_0, +}(E) \tilde{\rightarrow} \operatorname{sp}_{X_0 \hookrightarrow \mathcal{P}, T_0 +} \circ \rho_{Y_0, X_0}(E)$  et fonctoriel en E.

Démonstration. Grâce à 1.4.14,  $\operatorname{sp}_{Y^{\dagger} \hookrightarrow U^{\dagger}, T_0, +}(E)$  est muni d'une structure de  $F - \mathcal{D}_{\mathfrak{P}}^{\dagger}(^{\dagger}T_0)_{\mathbb{Q}}$ -module telle que  $\operatorname{sp}_{Y^{\dagger} \hookrightarrow U^{\dagger}, T_0, +}(E)|_{\mathfrak{U}} \overset{\sim}{\to} \operatorname{sp}_{Y_0 \hookrightarrow \mathfrak{U}, +}(\widehat{E})$  commute à Frobenius. On conclut grâce à la pleine fidélité du foncteur restriction  $F\operatorname{-Isoc}^{\dagger}(\mathfrak{P}, T_0, X_0/K) \to F\operatorname{-Isoc}^{\dagger}(\mathfrak{U}, Y_0/K)$ .

Terminons cette section par la proposition suivante.

**Proposition 1.4.17** Soient  $f: P'^{\dagger} \to P^{\dagger}$  un morphisme lisse de  $\mathbb{V}$ -schémas formels faibles lisses,  $T_0$  un diviseur de  $P_0$ ,  $T'_0:=f^{-1}(T_0)$ ,  $U^{\dagger}$  (resp.  $U'^{\dagger}$ ) l'ouvert de  $P^{\dagger}$  (resp.  $P'^{\dagger}$ ) complémentaire de  $T_0$  (resp.  $T'_0$ ), j (resp. j') l'immersion ouverte correspondante. On se donne de plus un morphisme  $b: Y'^{\dagger} \to Y^{\dagger}$  de  $\mathbb{V}$ -schémas formels faibles affines et lisses, des immersions fermées  $v: Y^{\dagger} \to U^{\dagger}$  et  $v': Y'^{\dagger} \to U'^{\dagger}$ , tels que  $g \circ v' = v \circ b$ , où  $g: U'^{\dagger} \to U^{\dagger}$  est le morphisme induit par f. Enfin,  $X_0$  (resp.  $X'_0$ ) désigne l'adhérence de  $Y_0$  (resp.  $Y'_0$ ) dans  $P_0$  (resp.  $P'_0$ ).

Pour tout objet  $E \in \operatorname{Isoc}^{\dagger}(Y_0/K)$  tel que  $\mathbb{R}\underline{\varGamma}_{X_0'}^{\dagger}f_{T_0}^!(\operatorname{sp}_{Y^{\dagger}\hookrightarrow U^{\dagger},T_0,+}(E))$  soit à cohomologie  $\mathfrak{D}_{\mathcal{P}'}^{\dagger}(^{\dagger}T_0')_{\mathbb{Q}}$ -cohérente, il existe un isomorphisme canonique  $\operatorname{sp}_{Y'^{\dagger}\hookrightarrow U'^{\dagger},T_0',+}(b^*E)[d_{X_0'/X_0}]\tilde{\to} \mathbb{R}\underline{\varGamma}_{X_0'}^{\dagger}f_{T_0}^!(\operatorname{sp}_{Y^{\dagger}\hookrightarrow U^{\dagger},T_0,+}(E)).$ 

En outre, celui-ci commute aux isomorphismes de commutation des images inverses (resp. images inverses extraordinaires).

En particulier, lorsque  $X_0' = f^{-1}(X_0)$ , pour tout  $E \in \operatorname{Isoc}^{\dagger}(Y_0/K)$ , on obtient  $\operatorname{sp}_{Y'^{\dagger} \hookrightarrow U'^{\dagger}, T_0', +}(b^*E)[d_{X_0'/X_0}] \tilde{\to} f_{T_0}^!(\operatorname{sp}_{Y^{\dagger} \hookrightarrow U^{\dagger}, T_0, +}(E))$ .

## 2. F-isocristaux surcohérents sur les schémas lisses

- 2.1. Surcohérence différentielle des F-isocristaux surconvergent dans le cas d'une compactification lisse
- **2.1.1** (Propriété  $P_{\mathcal{P},T}$ ). Soient  $\mathcal{P}$  un  $\mathcal{V}$ -schéma formel lisse, T un diviseur de P et  $\mathcal{E} \in D^{\mathrm{b}}_{\mathrm{coh}}(\mathcal{D}^{\dagger}_{\mathcal{P}}(^{\dagger}T)_{\mathbb{Q}})$ . On dira que  $\mathcal{E}$  vérifie  $P_{\mathcal{P},T}$  si  $\mathcal{E}$  est  $\mathcal{D}^{\dagger}_{\mathcal{P}}(^{\dagger}T)_{\mathbb{Q}}$ -surcohérent et si pour tout morphisme lisse  $\alpha: \mathcal{Q} \to \mathcal{P}$ , pour tout sous-schéma fermé  $Z \subset Q$ , en notant  $U := \alpha^{-1}(T)$ ,  $\mathbb{D}_{\mathcal{Q},U}\mathbb{R}\underline{\Gamma}_Z^{\dagger}(\alpha_T^!(\mathcal{E}))$  est  $\mathcal{D}^{\dagger}_{\mathcal{Q}}(^{\dagger}U)_{\mathbb{Q}}$ -surcohérent.

Remarques 2.1.2 (i) Avec les notations de 2.1.1, comme la  $\mathcal{D}_{\mathbb{Q}}^{\dagger}({}^{\dagger}U)_{\mathbb{Q}}$ surcohérence est locale en  $\mathbb{Q}$ , la propriété  $P_{\mathfrak{P},T}$  est locale en  $\mathfrak{P}$ , i.e., si  $(\mathfrak{P}_{\alpha})_{\alpha\in\Lambda}$  est un recouvrement ouvert de  $\mathfrak{P}$ , alors  $\mathcal{E}$  vérifie  $P_{\mathfrak{P},T}$  si et seulement si  $\mathcal{E}|_{\mathfrak{P}_{\alpha}}$  vérifie  $P_{\mathfrak{P}_{\alpha},T\cap P_{\alpha}}$  pour tout  $\alpha\in\Lambda$ .

- (ii) Il n'est pas évident que la propriété  $P_{\mathbb{P},T}$  se préserve par foncteur dual.
- (iii)  $\mathcal{E}$  vérifie  $P_{\mathcal{P},T}$  si et seulement si  $\mathcal{E}$  est  $\mathcal{D}^{\dagger}_{\mathcal{P}}(^{\dagger}T)_{\mathbb{Q}}$ -surcohérent et si pour tout morphisme  $\alpha: \mathcal{Q} \to \mathcal{P}$  tel que  $U:=\alpha^{-1}(T)$  soit un diviseur de Q, pour tout sous-schéma fermé  $Z,Z'\subset Q$ ,  $\mathbb{D}_{\mathcal{Q},U}\mathbb{R}\underline{\Gamma}_Z^{\dagger}(^{\dagger}Z')(\alpha_T^!(\mathcal{E}))$  est  $\mathcal{D}^{\dagger}_{\mathcal{O}}(^{\dagger}U)_{\mathbb{Q}}$ -surcohérent.

En effet, via un triangle de localisation, on peut supposer  $Z' = \emptyset$ . De plus,  $\alpha$  est le composé de son graphe  $\gamma: \Omega \to \Omega \times \mathbb{P}$  suivi de la projection canonique  $p: \Omega \times \mathbb{P} \to \mathbb{P}$ . Or, grâce au théorème de Kashiwara, au théorème de dualité relative et à la commutation de la cohomologie locale à l'image directe, en posant  $T' = p^{-1}(T)$ , on a

$$\begin{split} \mathbb{D}_{\mathcal{Q},U} \mathbb{R} \underline{\Gamma}_{Z}^{\dagger}(\alpha_{T}^{!}(\mathcal{E})) \tilde{\to} \mathbb{D}_{\mathcal{Q},U} \mathbb{R} \underline{\Gamma}_{Z}^{\dagger} \gamma_{T'}^{!} p_{T}^{!}(\mathcal{E}) \tilde{\to} \gamma_{T'}^{!} \gamma_{T'+} \mathbb{D}_{\mathcal{Q},U} \mathbb{R} \underline{\Gamma}_{Z}^{\dagger} \gamma_{T'}^{!} p_{T}^{!}(\mathcal{E}) \\ \tilde{\to} \gamma_{T'}^{!} \mathbb{D}_{\mathcal{Q},T'} \gamma_{T'+} \mathbb{R} \underline{\Gamma}_{Z}^{\dagger} \gamma_{T'}^{!} p_{T}^{!}(\mathcal{E}) \tilde{\to} \gamma_{T'}^{!} \mathbb{D}_{\mathcal{Q},T'} \mathbb{R} \underline{\Gamma}_{Z}^{\dagger} \gamma_{T'+} \gamma_{T'}^{!} p_{T}^{!}(\mathcal{E}) \\ \tilde{\to} \gamma_{T'}^{!} \mathbb{D}_{\mathcal{Q},T'} \mathbb{R} \underline{\Gamma}_{Z}^{\dagger} \mathbb{R} \underline{\Gamma}_{Q}^{\dagger} p_{T}^{!}(\mathcal{E}) \tilde{\to} \gamma_{T'}^{!} \mathbb{D}_{\mathcal{Q},T'} \mathbb{R} \underline{\Gamma}_{Z}^{\dagger} p_{T}^{!}(\mathcal{E}). \end{split} \tag{2.1.2.1}$$

On conclut la remarque grâce à la stabilité de la surcohérence par image inverse extraordinaire.

**Proposition 2.1.3** Soient  $f: \mathcal{P}' \to \mathcal{P}$  un morphisme de  $\mathcal{V}$ -schémas formels lisses, T un diviseur de P tel que  $T':=f^{-1}(T)$  soit un diviseur de Q. Pour tout sous-schémas fermés  $Z'_1$  et  $Z'_2$  de P', pour tout  $\mathcal{E} \in D^{\mathrm{b}}_{\mathrm{coh}}(\mathcal{D}^{\dagger}_{\mathcal{P}}(^{\dagger}T)_{\mathbb{Q}})$  vérifiant  $P_{\mathcal{P},T}$ ,  $\mathbb{R}\underline{\Gamma}^{\dagger}_{Z'_2}(^{\dagger}Z'_1)f^{\dagger}_T(\mathcal{E})$  satisfait  $P_{\mathcal{P}',T'}$ . Si f est propre alors, pour tout  $\mathcal{F} \in D^{\mathrm{b}}_{\mathrm{coh}}(\mathcal{D}^{\dagger}_{\mathcal{P}'}(^{\dagger}T')_{\mathbb{Q}})$  vérifiant  $P_{\mathcal{P}',T'}$ ,  $f_{T,+}(\mathcal{E})$  satisfait  $P_{\mathcal{P},T}$ .

Démonstration. La première assertion résulte de 2.1.2.(iii) et de la commutation de l'image inverse extraordinaire à la cohomologie locale (voir [Car04b, 2.2.18.1]) et à la composition. Prouvons à présent la deuxième. Soient  $\alpha: \mathcal{Q} \to \mathcal{P}$  un morphisme lisse et Z un sous-schéma fermé de Q. On note  $\mathcal{Q}':=\mathcal{P}'\times_{\mathcal{P}}\mathcal{Q}, \ \alpha': \mathcal{Q}'\to \mathcal{P}'$  et  $f':\mathcal{Q}'\to \mathcal{Q}$  les projections,  $U:=\alpha^{-1}(T), \ U':=\alpha'^{-1}(T')$  et  $Z':f'^{-1}(Z)$ . On obtient :  $\mathbb{D}_{\mathcal{Q},U}\mathbb{R}\underline{\Gamma}_Z^{\dagger}\alpha_T^l(f_{T,+}(\mathcal{F}))\tilde{\to}f_{T,+}^{\prime}\mathbb{D}_{\mathcal{Q}',U'}\mathbb{R}\underline{\Gamma}_{Z'}^{\dagger}\alpha_T^l(\mathcal{F})$  grâce [Car03, 1.2.5] et [Car04b, 2.2.18, 3.1.8]. Par hypothèse,  $\mathbb{D}_{\mathcal{Q}',U'}\mathbb{R}\underline{\Gamma}_Z^{\dagger}\alpha_T^l(\mathcal{F})$  est  $\mathbb{D}_{\mathcal{Q}'}^{\dagger}({}^{\dagger}U')_{\mathbb{Q}}$ -surcohérent. De même que [Car, 1.1.15], on remarque que [Car04b, 3.1.9] est valable lorsque le morphisme  $f_0$  se relève. Il en dérive la  $\mathbb{D}_{\mathcal{Q}}^{\dagger}({}^{\dagger}U)_{\mathbb{Q}}$ -surcohérence de  $f'_{T,+}\mathbb{D}_{\mathcal{Q}',U'}\mathbb{R}\underline{\Gamma}_{Z'}^{\dagger}\alpha_T^{\prime l}(\mathcal{F})$ .

**Théorème 2.1.4** Soient  $\mathcal{P}$  un  $\mathcal{V}$ -schéma formel lisse, X un sous-schéma fermé lisse de P et T un diviseur de P tel que  $T_X := T \cap X$  soit un

diviseur de X. On note  $\mathfrak{U}(resp.\ Y)$  l'ouvert de  $\mathfrak{P}(resp.\ X)$  complémentaire de  $T(resp.\ T_X)$ .

Pour tout isocristal sur Y surconvergent le long de  $T_X$ , E, le  $\mathcal{D}^{\dagger}_{\mathcal{P}}(^{\dagger}T)_{\mathbb{Q}}$ module cohérent à support dans X,  $\operatorname{sp}_{X\hookrightarrow \mathcal{P},T,+}(E)$  ([Car04a, 1.5]), vérifie  $P_{\mathcal{P},T}$ .

Démonstration. Notons  $\mathcal{E}:=\sup_{X\hookrightarrow\mathcal{P},T,+}(E)$ . Comme le théorème est local en  $\mathcal{P}$ , on peut supposer que P est affine et irréductible. L'immersion fermée  $X\hookrightarrow P$  se relève en une immersion fermée de  $\mathcal{V}$ -schémas formels lisses. Grâce à l'analogue du théorème de Kashiwara ([Ber02]), au théorème de changement de base de l'image directe par un morphisme lisse ([Car04b]), de la commutation du foncteur cohomologique local et dual à l'image inverse extraordinaire et à l'image directe ([Car04b, 2.2.17]), on se ramène donc à traiter le cas où X=P. On notera alors T pour  $T_X$  et  $\mathfrak{X}$  pour  $\mathfrak{P}$ .

Tout d'abord, il est suffisant de prouver que pour tout sous-schéma fermé Z de X,  $\mathbb{R}\underline{\varGamma}_Z^\dagger(\mathcal{E})$  est  $\mathcal{D}_{\mathfrak{X}}^\dagger(^\dagger T)_{\mathbb{Q}}$ -cohérent (ce qui implique la surcohérence de  $\mathcal{E}$ ) puis que  $\mathbb{D}_{\mathfrak{X},T}\mathbb{R}\underline{\varGamma}_Z^\dagger(\mathcal{E})$  est  $\mathcal{D}_{\mathfrak{X}}^\dagger(^\dagger T)_{\mathbb{Q}}$ -surcohérent. En effet, l'image inverse extraordinaire d'un isocristal surconvergent est, à un décalage près, un isocristal surconvergent.

Grâce au théorème de désingularisation de de Jong ([dJ96]), il existe un morphisme projectif, surjectif, génériquement fini et étale  $a: X' \to X$  tels que X' soit irréductible et k-lisse, et tel que  $a^{-1}(Z)$  soit un diviseur à croisements normaux de X'. Comme a est projectif, il existe ([Ber02]) donc un  $\mathcal V$ -schéma formel lisse  $\mathcal P'$ , une immersion fermée  $u': X' \hookrightarrow \mathcal P'$ , un morphisme propre et lisse  $f: \mathcal P' \to \mathfrak X$  tels que  $f \circ u' = u \circ a$ . On notera  $T' = f^{-1}(T)$  et  $Y' := a^{-1}(Y)$ .

Par adjonction ([Car03, 1.2.6]), on a :  $f_{T+}\mathbb{R}\underline{\Gamma}_{X'}^{\dagger}f_T^!(\mathcal{E}) \to \mathcal{E}$ . En dualisant celui-ci et en utilisant le théorème de dualité relative (i.e. commutation de l'image directe d'un morphisme propre au foncteur dual : [Vir04]), on obtient le suivant :  $\mathcal{E} \to f_{T+}\mathbb{D}_{\mathcal{P}',T'}\mathbb{R}\underline{\Gamma}_{Y'}^{\dagger}f_T^!\mathbb{D}_{\mathfrak{X},T}(\mathcal{E})$ .

obtient le suivant :  $\mathcal{E} \to f_{T+} \mathbb{D}_{\mathfrak{P}',T'} \mathbb{R} \underline{\Gamma}_{X'}^{\dagger} f_T^{!} \mathbb{D}_{\mathfrak{X},T}(\mathcal{E})$ . Or, comme X' est irréductible et comme T' est un diviseur de  $P', X' \cap T'$  est un diviseur de X' ou est égal à X'. Or, puisque a est génériquement fini et étale, on ne peut avoir  $X' \cap T' = X'$ . On en conclut que  $X' \cap T'$  est un diviseur de X'. D'où les isomorphismes ([Car04a]) :  $\mathbb{R} \underline{\Gamma}_{X'}^{\dagger} f_T^{!}(\mathcal{E}) \tilde{\to} \operatorname{sp}_{X' \hookrightarrow \mathcal{P}',T',+}(a^*(E))$  et  $\mathbb{D}_{\mathcal{P}',T'}\mathbb{R} \underline{\Gamma}_{X'}^{\dagger} f_T^{!}\mathbb{D}_{\mathfrak{X},T}(\mathcal{E}) \tilde{\to} \operatorname{sp}_{X' \hookrightarrow \mathcal{P}',T',+}(a^*(E^{\vee})^{\vee}) \tilde{\to} \operatorname{sp}_{X' \hookrightarrow \mathcal{P}',T',+}(a^*(E))$ . Les morphismes d'adjonction induisent alors la suite de morphismes :

$$\mathcal{E} \to f_{T+} \mathbb{R} \underline{\Gamma}_{X'}^{\dagger} f_T^!(\mathcal{E}) \to \mathcal{E}.$$

On vérifie de manière analogue à [Car04a], que ce morphisme composé est un isomorphisme, i.e., que  $\mathcal{E}$  est facteur direct de  $f_{T+}\mathbb{R}\underline{\Gamma}_{X'}^{\dagger}f_T^!(\mathcal{E})$ .

Le foncteur cohomologique local et le foncteur dual commutant à l'image directe ([Car04b]), et la surcohérence étant préservé par l'image directe

d'un morphisme propre de  $\mathcal{V}$ -schémas formels lisses, on se ramène alors au cas où Z est un diviseur à croisements normaux de X.

Grâce à la suite spectrale de Mayer-Vietoris ([Ber] du point de vue des isocristaux surconvergents ou [Car04b] de celui des  ${\mathbb D}$ -modules), il nous reste à traiter le cas où Z est un sous-schéma fermé intègre et lisse de X. On a alors deux cas : soit  $Z \subset T$ , soit  $Z \cap T$  est un diviseur de Z. Le premier cas donne les égalités  $\mathbb{R} \underline{\Gamma}_Z^\dagger(\mathcal{E}) = 0$  et  $\mathbb{D}_{\mathfrak{X},T} \mathbb{R} \underline{\Gamma}_Z^\dagger(\mathcal{E}) = 0$ , d'où la vérification du théorème dans ce cas-ci. Traitons a présent le second cas. Celui-ci étant locale en  $\mathfrak{X}$ , on peut supposer que l'immersion fermée  $Z \hookrightarrow X$  se relève en une immersion fermée de  $\mathcal{V}$ -schémas formels lisses  $u: \mathcal{Z} \hookrightarrow \mathfrak{X}$ . L'isomorphisme  $\mathbb{R} \underline{\Gamma}_Z^\dagger(\mathcal{E}) \tilde{\to} u_+ u^*(\mathcal{E})[d_{Z/X}]$  et le fait que  $u^*(\mathcal{E})$  soit un isocristal sur  $Z \setminus T$  surconvergent le long de  $Z \cap T$  nous permet de conclure que  $\mathbb{R} \underline{\Gamma}_Z^\dagger(\mathcal{E})$  est cohérent. On a donc prouver la première partie du théorème concernant la surcohérence des isocristaux surconvergents. On termine alors la preuve grâce à l'isomorphisme  $\mathbb{D}_{\mathfrak{X},T}\mathbb{R} \underline{\Gamma}_Z^\dagger(\mathcal{E}) \tilde{\to} u_+\mathbb{D}_{\mathcal{Z},T}u^!(\mathcal{E})$  et au fait que  $\mathbb{D}_{\mathcal{Z},T}u^!(\mathcal{E})$  est un isocristal sur  $Z \setminus T$  surconvergent le long de  $Z \cap T$ .  $\square$ 

**Proposition 2.1.5** Avec les notations de 2.1.4, pour tous isocristaux  $E_1$  et  $E_2$  sur Y surconvergents le long de  $T_X$ , en notant  $\operatorname{sp}_+ = \operatorname{sp}_{X \hookrightarrow \mathcal{P}, T, +}$ , on dispose d'un isomorphisme canonique :

$$\operatorname{sp}_{+}(E_{1} \otimes_{j^{\dagger} \mathcal{O}_{\mathcal{P}_{K}}} E_{2}) \tilde{\to} \operatorname{sp}_{+}(E_{1}) \otimes_{\mathcal{O}_{\mathcal{P}}({}^{\dagger}T)_{\mathbb{O}}}^{\mathbb{L}} \operatorname{sp}_{+}(E_{2})[d_{X/P}].$$

Démonstration. Supposons d'abord  $\mathcal{P}$  affine. Il existe alors un relèvement  $u: \mathfrak{X} \hookrightarrow \mathcal{P}$  de  $X \hookrightarrow P$ . En notant  $\mathcal{E}_1 := \mathrm{sp}_*(E_1)$  et  $\mathcal{E}_2 := \mathrm{sp}_*(E_2)$ , on obtient  $\mathrm{sp}_+(E_1)\tilde{\to} u_{T,+}(\mathcal{E}_1)$ ,  $\mathrm{sp}_+(E_2)\tilde{\to} u_{T,+}(\mathcal{E}_2)$  et  $\mathrm{sp}_+(E_1\otimes E_2)$   $\tilde{\to} u_{T+}(\mathcal{E}_1\otimes_{\mathcal{O}_{\mathfrak{X}}(^{\dagger}T_X)_{\mathbb{Q}}}\mathcal{E}_2)$ , ces isomorphismes ne dépendant pas (modulo les isomorphismes induits par [Ber00, 2.1.5]) du relèvement u choisi.

Or,  $\mathcal{E}_2 \xrightarrow{\sim} u_T^! u_{T,+}(\mathcal{E}_2)$  et, de manière analogue à [Car04b, 2.1.4], on dispose d'un isomorphisme canonique

$$u_{T+}(\mathcal{E}_1 \otimes_{\mathcal{O}_{\mathfrak{X}}(^{\dagger}T_X)_{\mathbb{Q}}} u_{T}^!(u_{T,+}(\mathcal{E}_2))) \tilde{\rightarrow} u_{T+}(\mathcal{E}_1) \overset{\mathbb{L}}{\otimes} \overset{\dagger}{\otimes}_{\mathcal{O}_{\mathcal{P}}(^{\dagger}T)_{\mathbb{Q}}} u_{T,+}(\mathcal{E}_2))[d_{X/P}]$$

qui ne dépend pas du relèvement u choisi. Il en dérive l'isomorphisme de 2.1.5.

Lorsque  $\mathcal P$  est quelconque, via la construction précédente, on obtient localement en  $\mathcal P$  des isomorphismes qui se recollent.  $\square$ 

### 2.2. Construction des F-isocristaux surcohérents

Sauf mention du contraire, on gardera les notations suivantes. Soient  $\mathcal P$  un  $\mathcal V$ -schéma formel lisse,  $u:X\hookrightarrow P$  une immersion fermée, T un diviseur de P et  $\mathfrak U$  l'ouvert de  $\mathcal P$  complémentaire de T. Enfin, on suppose  $Y:=X\setminus T$  lisse.

**Définition 2.2.1.** On définit la catégorie  $(F ext{-})\operatorname{Isoc}^{\dagger\dagger}(\mathfrak{P},T,X/K)$  de la manière suivante : les objets sont les  $(F ext{-})\mathcal{D}^{\dagger}_{\mathfrak{P}}(^{\dagger}T)_{\mathbb{Q}} ext{-}$ modules cohérents  $\mathcal E$  à support dans X tels que

- 1.  $\mathcal{E}|_{\mathfrak{U}} \in \operatorname{Isoc}^{\dagger}(\mathfrak{U}, Y/K)$  (notations de 1.4.6), i.e., il existe un isocristal G convergent sur Y tel que  $\mathcal{E}|_{\mathfrak{U}} \tilde{\to} \operatorname{sp}_{Y \hookrightarrow \mathfrak{U},+}(G)$ ;
- 2.  $\mathcal{E}$  et  $\mathbb{D}_{\mathcal{P},T}(\mathcal{E})$  sont  $\mathcal{D}_{\mathcal{P}}^{\dagger}(^{\dagger}T)_{\mathbb{O}}$ -surcohérents.

Enfin, les flèches sont les morphismes (F-) $\mathcal{D}^{\dagger}_{\mathcal{P}}(^{\dagger}T)_{\mathbb{Q}}$ -linéaires. Lorsque le diviseur T est vide, on omettra de l'indiquer.

Comme le foncteur  $\operatorname{sp}_{Y \hookrightarrow \mathfrak{U},+}$  est pleinement fidèle, l'isocristal G est défini à isomorphisme près. Avec les notations de [Car], on a en fait  $G \to \mathcal{R}ecol \circ \operatorname{sp}^* \circ \mathcal{L}oc(\mathcal{E}|_{\mathfrak{U}})$ . De plus, lorsque  $\mathcal{E} \in F\operatorname{-Isoc}^{\dagger\dagger}(\mathfrak{P},T,X/K)$ , on a automatiquement  $\mathcal{E}|_{\mathfrak{U}} \in F\operatorname{-Isoc}^{\dagger}(\mathfrak{U},Y/K)$ .

**2.2.2.** Il découle du théorème 2.1.4 que l'égalité  $F\operatorname{-Isoc}^{\dagger}(\mathcal{P},T,X/K)=F\operatorname{-Isoc}^{\dagger\dagger}(\mathcal{P},T,X/K)$  est validée si X est lisse. Le foncteur  $\operatorname{sp}_{X\hookrightarrow\mathcal{P},T,+}$  induit alors l'équivalence de catégorie :

 $F\operatorname{-Isoc}^{\dagger}(Y, X/K) \cong F\operatorname{-Isoc}^{\dagger}(\mathcal{P}, T, X/K) = F\operatorname{-Isoc}^{\dagger\dagger}(\mathcal{P}, T, X/K).$ 

Via la proposition ci-après, on se ramène par descente au cas où X est lisse.

**Proposition 2.2.3** On suppose X irréductible et  $T \not\supset X$ . Il existe alors un diagramme commutatif de la forme

$$Y' \longrightarrow X' \xrightarrow{u'} \mathfrak{P}'$$

$$\downarrow b \qquad \qquad \downarrow a \qquad \qquad \downarrow f$$

$$Y \longrightarrow X \xrightarrow{u} \mathfrak{P},$$

où f est un morphisme propre et lisse de V-schémas formels lisses, a est un morphisme projectif, génériquement fini et étale, le carré de gauche est cartésien, X' est lisse, u' est une immersion fermée, tel que,  $a^{-1}(T \cap X)$  est un diviseur à croisement normaux de X'.

Supposons choisi un tel diagramme. Soit  $\mathcal{E} \in F\text{-Isoc}^{\dagger\dagger}(\mathcal{P},T,X/K)$ . Il existe un (unique à isomorphisme près) F-isocristal E' sur Y' surconvergent le long de  $a^{-1}(T\cap X)$  tel que  $\mathbb{R}\underline{\Gamma}_{X'}^{\dagger}f_T^!(\mathcal{E})\tilde{\to}\operatorname{sp}_{X'\hookrightarrow\mathcal{P}',f^{-1}(T)}(E')$ . De plus, le faisceau  $\mathcal{E}$  est un facteur direct de  $f_{T,+}\operatorname{sp}_{X'\hookrightarrow\mathcal{P}',f^{-1}(T)}(E')$ .

Démonstration. Grâce au théorème de désingularisation de de Jong ([dJ96]), il existe un morphisme projectif, surjectif, génériquement fini et étale  $a: X' \to X$  tels que X' soit irréductible et k-lisse, et  $a^{-1}(T \cap X)$  un diviseur à croisements normaux de X'. Comme a est projectif, il existe un  $\mathcal{V}$ -schéma formel lisse  $\mathcal{P}'$ , une immersion fermée  $u': X' \hookrightarrow \mathcal{P}'$ , un morphisme propre et lisse  $f: \mathcal{P}' \to \mathcal{P}$  tels que  $f \circ u' = u \circ a$ . On note  $\mathfrak{U}'$  l'ouvert de  $\mathcal{P}'$  complémentaire de  $f^{-1}(T)$  et  $g: \mathfrak{U}' \to \mathfrak{U}$  le morphisme induit par f.

On a le morphisme d'adjonction  $f_{T,+}\mathbb{R}\underline{\Gamma}_{X'}^\dagger f_T^!(\mathcal{E}) \to \mathcal{E}$  et son dualisé  $\mathcal{E} \to f_{T,+}\mathbb{D}_{\mathcal{D}',f^{-1}(T)}^*\mathbb{R}\underline{\Gamma}_{X'}^\dagger f_T^!\mathbb{D}_{\mathcal{D},T}^*(\mathcal{E})$ . Notons  $Y':=X'\setminus a^{-1}(T\cap X)$ . Comme le foncteur  $\mathrm{sp}_{X'\hookrightarrow\mathcal{D}',f^{-1}(T)+}$  est pleinement fidèle, via la caractérisation de son image essentielle, il existe de manière unique des F-isocristaux  $E_1'$  et  $E_2'$  sur Y' surconvergents le long de  $a^{-1}(T\cap X)$  tels  $\mathrm{que}\,\mathbb{R}\underline{\Gamma}_{X'}^\dagger f_T^!(\mathcal{E})\tilde{\to}\,\mathrm{sp}_+'(E_1')$  et  $\mathbb{D}_{\mathcal{D}',f^{-1}(T)}^*\mathbb{R}\underline{\Gamma}_{X'}^\dagger f_T^!\mathbb{D}_{\mathcal{D},T}^*(\mathcal{E})\tilde{\to}\,\mathrm{sp}_+'(E_2')$ , où  $\mathrm{sp}_+'=\mathrm{sp}_{X'\hookrightarrow\mathcal{D}',f^{-1}(T)+}$ . Notons  $\widehat{E}_1'$ ,  $\widehat{E}_2'$  l'image par F-Isoc $^\dagger(Y',X'/K)\to F$ -Isoc(Y',X'/K) de  $E_1'$  et  $E_2'$ . D'où,  $\mathrm{sp}_{Y'\hookrightarrow\mathcal{U}'}(\widehat{E}_1')\tilde{\to}\,\mathbb{R}\underline{\Gamma}_{Y'}^\dagger g^!(\mathcal{E}|_{\mathfrak{U}})$  et  $\mathrm{sp}_{Y'\hookrightarrow\mathcal{U}'}(\widehat{E}_2')\tilde{\to}\,\mathbb{D}_{\mathfrak{U}'}^*\mathbb{R}\underline{\Gamma}_{Y'}^\dagger \mathbb{D}_{\mathfrak{U}}^*g^!(\mathcal{E}|_{\mathfrak{U}})$ . Or, il existe un et un seul F-isoccristal G convergent sur Y tel  $\mathrm{que}\,\,\mathcal{E}|_{\mathfrak{U}}\tilde{\to}\,\mathrm{sp}_{Y\hookrightarrow\mathcal{U},+}(G)$ . Il en dérive  $\mathbb{R}\underline{\Gamma}_{Y'}^\dagger g^!(\mathcal{E}|_{\mathfrak{U}})$   $\tilde{\to}\,\mathrm{sp}_{Y'\hookrightarrow\mathcal{U}'}(b^*(G))$  et  $\mathbb{D}_{\mathfrak{U}'}^*\mathbb{R}\underline{\Gamma}_{Y'}^\dagger \mathbb{D}_{\mathfrak{U}}^*g^!(\mathcal{E}|_{\mathfrak{U}})\tilde{\to}\,\mathrm{sp}_{Y'\hookrightarrow\mathcal{U}'}(b^*(G^\vee)^\vee)$ . Puisque  $b^*(G)\tilde{\to}b^*(G^\vee)^\vee$  et comme  $\mathrm{sp}_{Y'\hookrightarrow\mathcal{U}'}$  est pleinement fidèle,  $\widehat{E}_1'\tilde{\to}\widehat{E}_2'$ . Par pleine fidélité de F-Isoc $^\dagger(Y',X'/K)\to F$ -Isoc $^\dagger(Y',X'/K)$  ([Ked04]), on en tire  $E_1'\tilde{\to}E_2'$ . D'où :  $\mathcal{E}\to f_{T,+}\mathbb{R}\underline{\Gamma}_{X'}^\dagger f_T^!(\mathcal{E})\to \mathcal{E}$ . Or, ce morphisme composé est un isomorphisme puisqu'il l'est en dehors de T. Ainsi,  $\mathcal{E}$  est un facteur direct de  $f_{T,+}\mathbb{R}\underline{\Gamma}_{X'}^\dagger f_T^!(\mathcal{E})$ .

Intéressons-nous maintenant à la stabilité de  $(F ext{-})\operatorname{Isoc}^{\dagger\dagger}(\mathfrak{P},T,X/K)$ . Remarquons que l'on ne peut utiliser la proposition 2.2.3, très utile par la suite, seulement pour  $F ext{-}\operatorname{Isoc}^{\dagger\dagger}(\mathfrak{P},T,X/K)$ .

**Proposition 2.2.4** La catégorie F-Isoc $^{\dagger\dagger}(\mathfrak{P}, T, X/K)$  est stable par  $\mathbb{D}_{\mathfrak{P},T}$ . Soit,  $T' \supset T$  un deuxième diviseur de P. Le foncteur localisation  $(^{\dagger}T')$  induit  $(^{\dagger}T')$  : F-Isoc $^{\dagger\dagger}(\mathfrak{P}, T, X/K) \to F$ -Isoc $^{\dagger\dagger}(\mathfrak{P}, T', X/K)$ .

Démonstration. La première assertion découle de l'isomorphisme canonique  $\mathbb{D}_{\mathfrak{U}}(\mathcal{E}|_{\mathfrak{U}}) \tilde{\to} \operatorname{sp}_{Y \hookrightarrow \mathfrak{U},+}(G^{\vee})$  ([Car]). La deuxième résulte de la commutation du foncteur dual au foncteur (†T') et de la stabilité de la surcohérence par (†T').

**Proposition 2.2.5** Soient  $\mathcal{P}$  un  $\mathcal{V}$ -schéma formel lisse, X, X' deux sousschémas fermés de P, T et T' deux diviseurs de P tels que  $Y:=X\setminus T$  soit lisse et  $X\setminus T=X'\setminus T'$ . On a alors les égalités F-Isoc $^{\dagger\dagger}(\mathcal{P},T,X/K)=F$ -Isoc $^{\dagger\dagger}(\mathcal{P},T',X'/K)$ . En particulier, en notant  $\overline{Y}$  l'adhérence schématique de Y dans P, F-Isoc $^{\dagger\dagger}(\mathcal{P},T,X/K)=F$ -Isoc $^{\dagger\dagger}(\mathcal{P},T,\overline{Y}/K)$ .

En outre, pour tout  $\mathcal{E} \in F\text{-Isoc}^{\dagger\dagger}(\mathbb{P},T,X/K)$ ,  $\mathcal{E}$  vérifie  $P_{\mathbb{P},T}$  (voir 2.1.1).

*Démonstration.* Le cas où  $X \setminus T$  est vide implique, en notant 0 le faisceau nul,  $F\operatorname{-Isoc}^{\dagger\dagger}(\mathbb{P},T,X/K) = F\operatorname{-Isoc}^{\dagger\dagger}(\mathbb{P},T',X'/K) = \{0\}$ . Le cas où T'=T se traite de manière analogue à 1.4.13.

On se ramène ainsi à supposer  $X = X' = \overline{Y}$  et  $X \setminus T$  non vide. Comme Y est lisse, Y est somme de ses composantes connexes  $Y_{i=1,\dots,r}$ . Pour tout

 $i=1,\ldots,r$ , comme  $Y_i$  est fermé dans  $X\setminus T=X\setminus T'$ , en notant  $\overline{Y}_i$  l'adhérence schématique de  $Y_i$  dans  $P,\overline{Y}_i\setminus T=Y_i$  et  $\overline{Y}_i\setminus T'=Y_i$ . Pour tout objet  $\mathcal E$  de F-Isoc $^{\dagger\dagger}(\mathcal P,T,X/K)$  ou de F-Isoc $^{\dagger\dagger}(\mathcal P,T',X/K)$ , comme le morphisme canonique  $\mathbb R\underline{\varGamma}_X^\dagger(\mathcal E)\to \mathcal E$  est un isomorphisme, on dispose de la suite spectrale de Mayer-Vietoris :

$$\mathbb{R}\underline{\varGamma}_{\overline{Y}_1\cap\cup_{i=2,\ldots,r}\overline{Y}_i}^{\dagger}(\mathcal{E})\to\mathbb{R}\underline{\varGamma}_{\overline{Y}_1}^{\dagger}(\mathcal{E})\oplus\mathbb{R}\underline{\varGamma}_{\cup_{i=2,\ldots,r}\overline{Y}_i}^{\dagger}(\mathcal{E})\to\mathcal{E}\to+1$$

Il en dérive via une récurrence sur le nombre de composante irréductible de X, que l'on peut supposer sans nuire à la généralité que X est irréductible.

Soit  $\mathcal{E}$  un objet de F-Isoc $^{\dagger\dagger}(\mathcal{P}, T, X/K)$ . Par symétrie, pour terminer la preuve, il suffit de prouver que  $\mathcal{E}$  vérifie  $P_{\mathcal{P},T'}$ .

Mais, comme  $X \setminus T = X \setminus T'$ , il découle de 1.4.13 et 2.2.3 (et avec ses notations) que  $\mathbb{R}\underline{\Gamma}_{X'}^{\dagger}f_T^!(\mathcal{E})$  est associé via  $\mathrm{sp}_{X' \hookrightarrow \mathcal{P}', f^{-1}(T')+}$  à un F-isocristal sur  $X' \setminus a^{-1}(T' \cap X)$  surconvergent le long de  $a^{-1}(T' \cap X)$ . Grâce à 2.1.4,  $\mathbb{R}\underline{\Gamma}_{X'}^{\dagger}f_T^!(\mathcal{E})$  vérifie  $P_{\mathcal{P}',f^{-1}T'}$ . Par 2.1.3,  $f_{T,+}\mathbb{R}\underline{\Gamma}_{X'}^{\dagger}f_T^!(\mathcal{E})$  vérifie  $P_{\mathcal{P},T'}$ . Comme  $\mathcal{E}$  est facteur direct de  $f_{T,+}\mathbb{R}\underline{\Gamma}_{X'}^{\dagger}f_T^!(\mathcal{E})$ , il en est de même de  $\mathcal{E}$ .

Grâce à 2.2.5, la catégorie F-Isoc $^{\dagger\dagger}(\mathcal{P},T,Z/K)$  est stable par images inverses extraordinaire :

**Proposition 2.2.6** Soient  $f: \mathcal{P}' \to \mathcal{P}$  un morphisme de  $\mathcal{V}$ -schémas formels lisses, X et X' deux sous-schémas fermés respectifs de P et P', T un diviseur de P tel que  $T' := f^{-1}(T)$  soit un diviseur. On suppose les k-schémas  $Y := X \setminus T$  et  $Y' := X' \setminus T'$  lisses et  $f(Y') \subset Y$ .

On dispose de la factorisation

$$\mathbb{R}\underline{\Gamma}_{X'}^{\dagger}f_{T}^{!}[-d_{Y'/Y}] : F\text{-}Isoc^{\dagger\dagger}(\mathfrak{P}, T, X/K) \to F\text{-}Isoc^{\dagger\dagger}(\mathfrak{P}', T', X'/K).$$

Démonstration. Soient  $\mathcal{E} \in F\operatorname{-Isoc}^{\dagger\dagger}(\mathcal{P},T,X/K)$ ,  $\mathfrak{U}:=\mathcal{P}\setminus T$ ,  $\mathfrak{U}':=\mathcal{P}'\setminus T'$ ,  $g:\mathfrak{U}'\to\mathfrak{U}$  et  $b:Y'\to Y$  les morphismes induits par f. Par 2.2.5 et 2.1.3,  $\mathbb{R}_{T_{Z'}}^{\dagger}f_T^!(\mathcal{E})[-d_{Y'/Y}]$  vérifie  $P_{\mathcal{P}',T'}$ .

De plus,  $\mathbb{R}\underline{\varGamma}_{X'}^\dagger f_T^![-d_{Y'/Y}](\mathcal{E})|_{\mathfrak{U}}\tilde{\to}\mathbb{R}\underline{\varGamma}_{Y'}^\dagger g^![-d_{Y'/Y}](\mathcal{E}|_{\mathfrak{U}})$ . D'après [Car, 2.2.27], on obtient,  $\mathbb{R}\underline{\varGamma}_{Y'}^\dagger g^![-d_{Y'/Y}](\mathcal{E}|_{\mathfrak{U}})\tilde{\to}\operatorname{sp}_{Y'\hookrightarrow\mathfrak{U}'}(b^*(G))$ , où G est le F-isocristal convergent sur Y tel que  $\mathcal{E}|_{\mathfrak{U}}\tilde{\to}\operatorname{sp}_{Y\hookrightarrow\mathfrak{U}}(G)$ . D'où le résultat.  $\Box$ 

**2.2.7.** Comme Y est lisse, Y se décompose en somme directe de ses composantes connexes  $Y_r$ , pour  $r=1,\ldots,N$ . Comme, pour tout r, les immersions  $Y_r \hookrightarrow Y$  et  $Y \hookrightarrow P \setminus T$  sont fermées, on a  $X \setminus T = Y$  et  $X_r \setminus T = Y_r$ , où X (resp.  $X_r$ ) est l'adhérence schématique de Y (resp.  $Y_r$ ) dans P. Pour tout objet  $\mathcal{E}$  de F-Isoc $^{\dagger\dagger}(\mathcal{P},T,X/K)$ , le morphisme

canonique  $\bigoplus_r \mathbb{R}\underline{\varGamma}_{X_r}^\dagger \mathcal{E} \to \mathcal{E}$  est alors un isomorphisme en dehors de T. Par [Ber96a, 4.3.12], ce dernier est un isomorphisme.

Ainsi, on obtient des foncteurs  $\mathbb{R}\underline{\varGamma}_{X_r}^\dagger:F\text{-}\mathrm{Isoc}^{\dagger\dagger}(\mathcal{P},T,X/K)\to F\text{-}\mathrm{Isoc}^{\dagger\dagger}(\mathcal{P},T,X_r/K)$ . De plus, il en dérive une équivalence de catégorie  $\oplus_r\mathbb{R}\underline{\varGamma}_{X_r}^\dagger:F\text{-}\mathrm{Isoc}^{\dagger\dagger}(\mathcal{P},T,X/K)\cong\oplus_rF\text{-}\mathrm{Isoc}^{\dagger\dagger}(\mathcal{P},T,X_r/K)$ .

**Proposition 2.2.8** Soient 
$$\mathcal{E}_1$$
 et  $\mathcal{E}_2 \in F\text{-}\mathrm{Isoc}^{\dagger\dagger}(\mathcal{P}, T, X/K)$ . On a  $\mathcal{E}_1 \otimes_{\mathcal{O}_{\mathcal{P}}(\dagger T)_{\mathbb{Q}}}^{\mathbb{L}} \mathcal{E}_2[d_{X/P}] \in F\text{-}\mathrm{Isoc}^{\dagger\dagger}(\mathcal{P}, T, X/K)$ .

 $\begin{array}{l} \textit{D\'{e}monstration}. \ \, \text{Avec} \ \, \text{les notations} \ \, \text{de} \ \, 2.2.7, \ \, \mathbb{R}\underline{\varGamma}_{X_r}^{\dagger}(\mathcal{E}_1\overset{\mathbb{L}}{\otimes}_{\mathcal{O}_{\mathcal{P}}(^{\dagger}T)_{\mathbb{Q}}}^{\dagger}\mathcal{E}_2) \\ \tilde{\to}\, \mathbb{R}\underline{\varGamma}_{X_r}^{\dagger}(\mathcal{E}_1)\overset{\mathbb{L}}{\otimes}_{\mathcal{O}_{\mathcal{P}}(^{\dagger}T)_{\mathbb{Q}}}^{\dagger}\mathbb{R}\underline{\varGamma}_{X_r}^{\dagger}(\mathcal{E}_1), \text{ on se ramène au cas où }X \text{ est irr\'{e}ductible}. \\ \text{Il d\'{e}coule de } 2.1.5 \text{ que } \mathcal{E}_1\overset{\mathbb{L}}{\otimes}_{\mathcal{O}_{\mathcal{P}}(^{\dagger}T)_{\mathbb{Q}}}^{\dagger}\mathcal{E}_2[d_{X/P}]|_{\mathfrak{U}} = \mathcal{E}_1|_{\mathfrak{U}}\overset{\mathbb{L}}{\otimes}_{\mathcal{O}_{\mathfrak{U},\mathbb{Q}}}^{\dagger}\mathcal{E}_2|_{\mathfrak{U}}[d_{Y/U}] \in \\ F\text{-Isoc}^{\dagger}(\mathfrak{U},Y/K). \text{ De plus, gr\^{a}ce à }2.2.3 \text{ et avec ses notations, }\mathcal{E}_1 \text{ est un facteur direct de } f_{T,+}\mathbb{R}\underline{\varGamma}_{X'}^{\dagger}f_T^{\dagger}(\mathcal{E}_1). \text{ Il en r\'{e}sulte que }\mathcal{E}_1\overset{\mathbb{L}}{\otimes}_{\mathcal{O}_{\mathcal{P}}(^{\dagger}T)_{\mathbb{Q}}}^{\dagger}\mathcal{E}_2[d_{X/P}] \\ \text{est facteur direct de } f_{T,+}(\mathbb{R}\underline{\varGamma}_{X'}^{\dagger}f_T^{\dagger}(\mathcal{E}_1))\overset{\mathbb{L}}{\otimes}_{\mathcal{O}_{\mathcal{P}}(^{\dagger}T)_{\mathbb{Q}}}^{\dagger}\mathcal{E}_2[d_{X/P}]. \text{ Or, d'après } \\ [\text{CarO4b, }2.1.4] \text{ (toujours valable en rajoutant des diviseurs), on dispose de l'isomorphisme :} \\ \end{array}$ 

$$f_{T,+}(\mathbb{R}\underline{\varGamma}_{X'}^{\dagger}f_{T}^{!}(\mathcal{E}_{1})\overset{\mathbb{L}}{\otimes}_{\mathcal{O}_{\mathbb{P}'}(^{\dagger}T')_{\mathbb{O}}}^{\dagger}f_{T}^{!}(\mathcal{E}_{2}))\tilde{\rightarrow}f_{T,+}(\mathbb{R}\underline{\varGamma}_{X'}^{\dagger}f_{T}^{!}(\mathcal{E}_{1}))\overset{\mathbb{L}}{\otimes}_{\mathcal{O}_{\mathbb{P}}(^{\dagger}T)_{\mathbb{O}}}^{\dagger}\mathcal{E}_{2}[d_{P'/P}].$$

Or, il existe des F-isocristaux  $E'_1$  et  $E'_2$  sur Y' surconvergent le long de  $a^{-1}(T\cap X)$  tel que, pour r=1,2,  $\mathbb{R}\underline{\Gamma}_{X'}^\dagger f_T^!(\mathcal{E}_r)\tilde{\to}\operatorname{sp}_{X'\hookrightarrow\mathcal{P}',f^{-1}(T)}(E'_r)$ . Avec 2.1.5, en posant  $\operatorname{sp}'_+=\operatorname{sp}_{X'\hookrightarrow\mathcal{P}',T',+}$ , on obtient :

$$\operatorname{sp}'_{+}(E'_{1} \otimes_{j^{\dagger} \mathcal{O}_{\mathcal{P}'_{K}}} E'_{2}) \tilde{\to} \mathbb{R} \underline{\Gamma}_{X'}^{\dagger} f_{T}^{!}(\mathcal{E}_{1}) \overset{\mathbb{L}}{\otimes}_{\mathcal{O}_{\mathcal{P}'}(^{\dagger}T')_{\mathbb{Q}}}^{\dagger} \mathbb{R} \underline{\Gamma}_{X'}^{\dagger} f_{T}^{!}(\mathcal{E}_{2}) [d_{X'/P'}]$$
$$\tilde{\to} \mathbb{R} \underline{\Gamma}_{X'}^{\dagger} f_{T}^{!}(\mathcal{E}_{1}) \overset{\mathbb{L}}{\otimes}_{\mathcal{O}_{\mathcal{P}'}(^{\dagger}T')_{\mathbb{Q}}}^{\dagger} f_{T}^{!}(\mathcal{E}_{2}) [d_{X'/P'}].$$

D'où le résultat. □

**Proposition 2.2.9** On reprend la construction et les notations de 2.2.3. Le foncteur

$$(\mathbb{R}\underline{\Gamma}_{X'}^{\dagger}f^{!},|_{\mathfrak{U}}) : F\text{-}\mathrm{Isoc}^{\dagger\dagger}(\mathcal{P},T,X/K) \\ \to F\text{-}\mathrm{Isoc}^{\dagger\dagger}(\mathcal{P}',T',X'/K) \times_{F\text{-}\mathrm{Isoc}^{\dagger}(\mathfrak{U}',Y'/K)} F\text{-}\mathrm{Isoc}^{\dagger}(\mathfrak{U},Y/K)$$

est pleinement fidèle.

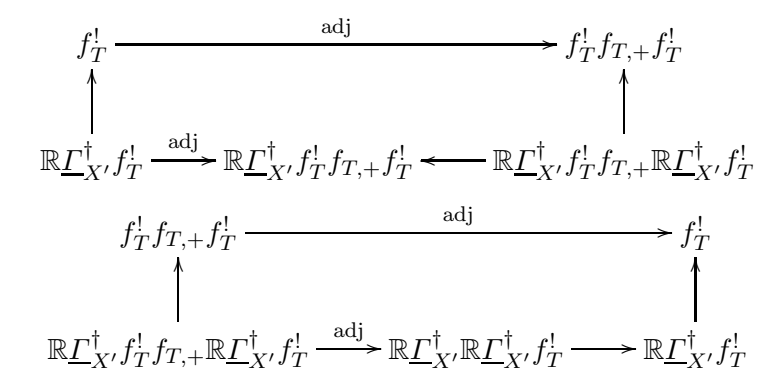
Démonstration. Par 2.2.6 et 2.2.1,  $\mathbb{R}\underline{\varGamma}_{X'}^\dagger f^!: F\operatorname{-Isoc}^{\dagger\dagger}(\mathfrak{P},T,X/K) \to F\operatorname{-Isoc}^{\dagger\dagger}(\mathfrak{P}',T',X'/K)$  et  $|_{\mathfrak{U}}: F\operatorname{-Isoc}^{\dagger\dagger}(\mathfrak{P},T,X/K) \to F\operatorname{-Isoc}^{\dagger}(\mathfrak{U},Y/K)$  sont bien définis. De plus, la fidélité résulte de l'injectivité et de la fonctorialité du morphisme d'adjonction  $\mathcal{E} \to f_+\mathbb{R}\underline{\varGamma}_{X'}^\dagger f^!(\mathcal{E})$ .

Soient  $\mathcal{E}_1, \mathcal{E}_2 \in F\text{-Isoc}^{\dagger\dagger}(\mathcal{P}, T, X/K), \phi : \mathbb{R}\underline{\Gamma}_{X'}^{\dagger} f^!(\mathcal{E}_1) \to \mathbb{R}\underline{\Gamma}_{X'}^{\dagger} f^!(\mathcal{E}_2)$ et  $\psi: \mathcal{E}_1|_{\mathfrak{U}} \to \mathcal{E}_2|_{\mathfrak{U}}$  induisant le même morphisme  $\mathbb{R}\underline{\Gamma}_{V'}^{\dagger}g^!(\mathcal{E}_1|_{\mathfrak{U}}) \to$  $\mathbb{R}\underline{\varGamma}_{Y'}^{\dagger}g^!(\mathcal{E}_2|_{\mathfrak{U}}).$  Il existe un et un seul morphisme  $\theta$  rendant commutatif le diagramme de gauche ci-dessous

$$\begin{array}{cccc}
\mathcal{E}_{1} & \xrightarrow{\rho_{1}} f_{T,+} \mathbb{R} \underline{\Gamma}_{X'}^{\dagger} f_{T}^{!}(\mathcal{E}_{1}) \xrightarrow{\operatorname{adj}} \mathcal{E}_{1} & \mathcal{E}_{1}|_{\mathfrak{U}} \xrightarrow{\rho_{1}|_{\mathfrak{U}}} g_{+} \mathbb{R} \underline{\Gamma}_{Y'}^{\dagger} g^{!}(\mathcal{E}_{1}) \xrightarrow{\operatorname{adj}} \mathcal{E}_{1}|_{\mathfrak{U}} \\
\downarrow^{\theta} & \downarrow^{f_{T,+}\phi} & \downarrow^{\theta} & \downarrow^{\theta|_{\mathfrak{U}}} & \downarrow^{g_{+}\phi|_{\mathfrak{U}}} \downarrow^{\psi} \\
\mathcal{E}_{2} & \xrightarrow{\rho_{2}} f_{T,+} \mathbb{R} \underline{\Gamma}_{X'}^{\dagger} f_{T}^{!}(\mathcal{E}_{2}) \xrightarrow{\operatorname{adj}} \mathcal{E}_{2}, & \mathcal{E}_{2}|_{\mathfrak{U}} \xrightarrow{\rho_{2}|_{\mathfrak{U}}} g_{+} \mathbb{R} \underline{\Gamma}_{Y'}^{\dagger} g_{T}^{!}(\mathcal{E}_{2}|_{\mathfrak{U}}) \xrightarrow{\operatorname{adj}} \mathcal{E}_{2}|_{\mathfrak{U}}, \\
(2.2.9.1)
\end{array}$$

dont, pour r=1,2, adj désigne le morphisme induit par le morphisme d'adjonction  $f_{T+}f_T^!(\mathcal{E}_r)\to\mathcal{E}_r$ , et dont  $\rho_r$  désigne une section. Le diagramme de droite de 2.2.9.1 s'en déduit par restriction. Comme  $\mathbb{R}\underline{\Gamma}_{Y'}^{\dagger}g^!\psi=$  $\phi|_{\mathfrak{U}}$ , le diagramme de droite de 2.2.9.1 est commutatif. D'où  $\theta|_{\mathfrak{U}} = \psi$ .

De plus, on dispose en composant les diagrammes commutatifs suivants



on vérifie que les morphismes composés horizontaux sont l'identité. Il en résulte, en notant f pour  $f_T$ , le suivant

$$\mathbb{R} \underline{\Gamma}_{X'}^{\dagger} f^! f_+ \mathbb{R} \underline{\Gamma}_{X'}^{\dagger} f^! (\mathcal{E}_1) \xrightarrow{\operatorname{adj}} \mathbb{R} \underline{\Gamma}_{X'}^{\dagger} f^! \mathcal{E}_1 \xrightarrow{\operatorname{adj}} \mathbb{R} \underline{\Gamma}_{X'}^{\dagger} f^! f_+ \mathbb{R} \underline{\Gamma}_{X'}^{\dagger} f^! (\mathcal{E}_1)$$

$$\mathbb{R} \underline{\Gamma}_{X'}^{\dagger} f^! f_+ \phi \downarrow \qquad \mathbb{R} \underline{\Gamma}_{X'}^{\dagger} f^! \theta \downarrow \qquad \mathbb{R} \underline{\Gamma}_{X'}^{\dagger} f^! f_+ \mathbb{R} \underline{\Gamma}_{X'}^{\dagger} f^! \theta \downarrow$$

$$\mathbb{R} \underline{\Gamma}_{X'}^{\dagger} f^! f_+ \mathbb{R} \underline{\Gamma}_{X'}^{\dagger} f^! (\mathcal{E}_2) \xrightarrow{\operatorname{adj}} \mathbb{R} \underline{\Gamma}_{X'}^{\dagger} f^! \mathcal{E}_2 \xrightarrow{\operatorname{adj}} \mathbb{R} \underline{\Gamma}_{X'}^{\dagger} f^! f_+ \mathbb{R} \underline{\Gamma}_{X'}^{\dagger} f^! (\mathcal{E}_2)$$

dont les composés horizontaux sont l'identité. Il en résulte  $\mathbb{R}\underline{\Gamma}_{X'}^{\dagger}f_T^!f_{T,+}\phi =$ 

 $\mathbb{R}\underline{\varGamma}_{X'}^\dagger f_T^! f_{T,+} \mathbb{R}\underline{\varGamma}_{X'}^\dagger f_T^! \theta.$  Or,  $f_{T,+}: F\text{-}\mathrm{Isoc}^{\dagger\dagger}(\mathcal{P}',T',X'/K) \to F\text{-}\mathrm{Isoc}^{\dagger\dagger}(\mathcal{P},T,X/K)$  est fidèle. En effet, soit  $\alpha: \mathcal{E}_1' \to \mathcal{E}_2'$  tel que  $f_{T,+}(\alpha) = 0$ . D'après [Tsu02, 4.1.2] et [Ked04],  $\alpha = 0$  si et seulement si sa restriction est nulle sur un ouvert  $\mathcal{P}_1'$  de  $\mathcal{P}'$  tel que  $P_1' \cap Y'$  soit dense dans Y'. On se ramène ainsi

à prouver que lorsque b est fini et étale et  $\mathfrak U$  est affine, le foncteur  $g_+$ :  $F\operatorname{-Isoc}^{\dagger\dagger}(\mathfrak U',Y'/K)\to F\operatorname{-Isoc}^{\dagger\dagger}(\mathfrak U,Y/K)$  est fidèle. Cela se voit via l'isomorphisme canonique  $\operatorname{sp}_{Y\hookrightarrow\mathfrak U,+}(b_*(E'))\tilde\to g_+\operatorname{sp}_{Y\hookrightarrow\mathfrak U,+}(E')$  valable pour  $E'\in F\operatorname{-Isoc}(Y'/K)$ .

Le foncteur  $\mathbb{R}\underline{\Gamma}_{X'}^{\dagger}f_T^!f_{T,+}$  est donc fidèle. Il en découle  $\phi=\mathbb{R}\underline{\Gamma}_{X'}^{\dagger}f_T^!\theta$ . On a ainsi prouvé que le foncteur de 2.2.9 est pleinement fidèle.  $\square$ 

## **Proposition 2.2.10** Le foncteur restriction

 $|_{\mathfrak{U}}: F\operatorname{-Isoc}^{\dagger\dagger}(\mathfrak{P}, T, X/K) \to F\operatorname{-Isoc}^{\dagger\dagger}(\mathfrak{U}, Y/K)$  est pleinement fidèle.

Démonstration. Avec l'aide de 2.2.7, on peut supposer que X est irréductible. Soient  $\mathcal{E}_1$  et  $\mathcal{E}_2$  deux objets de F-Isoc $^{\dagger\dagger}(\mathcal{P},T,X/K)$  et  $\psi:\mathcal{E}_1|_{\mathfrak{U}}\to\mathcal{E}_2|_{\mathfrak{U}}$  un morphisme de F-Isoc $^{\dagger\dagger}(\mathfrak{U},Y/K)$ . D'après le théorème 2.1.4, l'égalité F-Isoc $^{\dagger\dagger}(\mathcal{P}',T',X'/K)=F$ -Isoc $^{\dagger}(\mathcal{P}',T',X'/K)$  est validée (avec les notations de 2.2.3 et 1.4.6). Avec la construction de 2.2.3 et avec ses notations, il découle alors du théorème de pleine fidélité de Kedlaya, dont sa traduction dans notre cas est expliqué dans 1.4.6, qu'il existe un morphisme  $\phi:\mathbb{R}\underline{\Gamma}_{X'}^{\dagger}f^!(\mathcal{E}_1)\to\mathbb{R}\underline{\Gamma}_{X'}^{\dagger}f^!(\mathcal{E}_2)$  tel que  $\phi|_{\mathfrak{U}}=g^!(\psi)$ . On conclut grâce à 2.2.9.

Intéressons-nous maintenant à l'indépendance en  $\mathcal{P}$  et T de la catégorie  $F\operatorname{-Isoc}^{\dagger\dagger}(\mathcal{P}',T',Z'/K)$ .

**Lemme 2.2.11** Soient  $f: \mathcal{P}' \to \mathcal{P}$  un morphisme de  $\mathcal{V}$ -schémas formels lisses, X un k-schéma lisse,  $u: X \hookrightarrow \mathcal{P}$  et  $u': X \hookrightarrow \mathcal{P}'$  des immersions fermées telles que  $f \circ u' = u$ , T un diviseur de P tel que  $f^{-1}(T)$  et  $T_X := T \cap X$  soient respectivement des diviseurs de P' et X. Pour tout isocristal sur  $X \setminus T_X$  surconvergent le long de  $T_X$ , on dispose d'un isomorphisme canonique :  $f_{T,+} \operatorname{sp}_{X \hookrightarrow \mathcal{P}',f^{-1}(T),+}(E) \tilde{\to} \operatorname{sp}_{X \hookrightarrow \mathcal{P},T,+}(E)$ .

 $\begin{array}{l} \textit{D\'{e}monstration}. \ \ \text{Si} \ \mathcal{P} \ \text{est affine, il existe des relèvements} \ u: \mathfrak{X} \hookrightarrow \mathcal{P} \ \text{et} \ u': \\ \mathfrak{X} \hookrightarrow \mathcal{P}'. \ \text{On a alors, en notant sp}: \mathfrak{X}_K \to \mathfrak{X} \ \text{le morphisme de sp\'{e}cialisation} \\ \text{de } \mathfrak{X}, \text{sp}_{X \hookrightarrow \mathcal{P}, T, +}(E) \tilde{\rightarrow} u_{T+} \text{sp}_*(E) \ \text{et sp}_{X \hookrightarrow \mathcal{P}', T', +}(E) \tilde{\rightarrow} u'_{f^{-1}(T)+} \text{sp}(E), \\ \text{ceux-ci ne d\'{e}pendant pas, à isomorphisme canonique près, du choix de} \ u \ \text{et} \\ u'. \ \ \text{Il en r\'{e}sulte} \ f_{T, +} \text{sp}_{X \hookrightarrow \mathcal{P}', T', +}(E) \tilde{\rightarrow} \text{sp}_{X \hookrightarrow \mathcal{P}, T, +}(E), \ \text{par composition} \\ \text{des images directes.} \end{array}$ 

Comme les isomorphismes de la forme  $f_{T,+} \circ u'_{f^{-1}(T)+} \tilde{\to} u_{T,+}$  sont compatibles aux isomorphismes de recollement (induit par [Ber00, 2.1.5]), on conclut la preuve par recollement.

**Théorème 2.2.12** Soient  $f: \mathcal{P}' \to \mathcal{P}$  un morphisme propre et lisse de  $\mathcal{V}$ -schémas formels lisses et, T (resp. T') un diviseur et X (resp. X') un sous-schéma fermé de P (resp. P'). On suppose de plus  $X \setminus T$  lisse et que f induise l'isomorphisme  $X \setminus T = X' \setminus T'$ . On se donne  $\mathcal{E} \in F$ -Isoc $^{\dagger\dagger}(\mathcal{P}, T, X/K)$  et  $\mathcal{E}' \in F$ -Isoc $^{\dagger\dagger}(\mathcal{P}', T', X'/K)$ . Alors,

1. Pour tout  $k \neq 0$ ,  $\mathcal{H}^k(f_+)(\mathcal{E}') = 0$  et  $\mathcal{H}^k(\mathbb{R}\underline{\Gamma}_{X'}^{\dagger} \circ f^!(\mathcal{E})) = 0$ ;

2. Les morphismes canoniques  $f_+ \circ \mathbb{R}\underline{\Gamma}_{X'}^{\dagger} \circ f^!(\mathcal{E}) \to \mathcal{E}$  et  $\mathcal{E}' \to \mathbb{R}\underline{\Gamma}_{X'}^{\dagger} \circ f^!(\mathcal{E}')$  sont des isomorphismes.

Les foncteurs  $f_+$  et  $\mathbb{R}\underline{\Gamma}_{X'}^{\dagger} \circ f^!$  induisent des équivalences quasi-inverses entre les catégories F-Isoc $^{\dagger\dagger}(\mathcal{P}',T',X'/K)$  et F-Isoc $^{\dagger\dagger}(\mathcal{P},T,X/K)$ .

*Démonstration.* Notons  $\mathfrak{U}=\mathfrak{P}\setminus T$ ,  $\mathfrak{U}'=\mathfrak{P}'\setminus T'$ ,  $g:\mathfrak{U}'\to\mathfrak{U}$  le morphisme induit par f et  $Y=X\setminus T$ . Grâce à 2.2.5, on peut supposer X (resp. X') égale à l'adhérence schématique de Y dans P (resp. P').

Il résulte de [Ber96a, 4.3.12] et de [Car04b, 3.2.3] les égalités de (1).

Établissons maintenant que l'équivalence de catégorie mentionnée dans l'énoncé a un sens.

De plus, comme f est propre, l'immersion  $Y\hookrightarrow P'\setminus f^{-1}(T)$  est fermée. Comme X' est l'adhérence de Y dans P', il en dérive que  $Y=X'\setminus f^{-1}(T)$ . Grâce à 2.2.5, on obtient  $F\operatorname{-Isoc}^{\dagger\dagger}(\mathcal{P}',T',X'/K)=F\operatorname{-Isoc}^{\dagger\dagger}(\mathcal{P}',f^{-1}(T),X'/K)$ .

Il découle alors de 2.2.6 que  $\mathbb{R}\underline{\Gamma}_{X'}^{\dagger} \circ f^!(\mathcal{E}) \in F\text{-Isoc}^{\dagger\dagger}(\mathfrak{P}',T',X'/K)$ . Par 2.1.3,  $f_+(\mathcal{E}')$  vérifie  $P_{\mathfrak{P},T}$ . Comme il existe un isocristal convergent E' sur Y tel que  $\mathcal{E}'|_{\mathfrak{U}}\tilde{\to}\operatorname{sp}_{Y\hookrightarrow\mathfrak{U},+}(E')$ , il résulte de 2.2.11 l'isomorphisme,  $g_+\operatorname{sp}_{Y\hookrightarrow\mathfrak{U},+}(E')\tilde{\to}\operatorname{sp}_{Y\hookrightarrow\mathfrak{U},+}(E')$ . On a donc prouvé que  $f_+(\mathcal{E}')$  appartient à  $F\text{-Isoc}^{\dagger\dagger}(\mathfrak{P},T,X/K)$ .

Prouvons à présent 2). Par adjonction, on a  $\mathcal{E}' \in \mathbb{R} \underline{\Gamma}_{X'}^{\dagger}, \mathcal{E}' \to \mathbb{R} \underline{\Gamma}_{X'}^{\dagger}, \circ f^! \circ f_+(\mathcal{E}')$ . Comme ce composé est un isomorphisme au dessus de  $\mathfrak{U}'$  ([Car04b, 3.2.3]), celui-ci est un isomorphisme ([Ber96a, 4.3.12]). Avec les mêmes arguments, si  $\mathcal{E}$  est un objet de F-Isoc $^{\dagger\dagger}(\mathcal{P}, T, X/K)$ , on établit que le morphisme canonique :  $f_+ \circ \mathbb{R} \underline{\Gamma}_{X'}^{\dagger} \circ f^! \mathcal{E} \to \mathcal{E}$  est un isomorphisme.  $\square$ 

**2.2.13.** Soit  $b: Y' \to Y$  un morphisme de k-schémas lisses. On suppose qu'il existe  $\mathcal{P}, \mathcal{P}'$  deux  $\mathcal{V}$ -schémas formels propres et lisses, T (resp. T') un diviseur de P (resp. P'),  $\mathfrak{U}:=\mathcal{P}\setminus T$  et  $\mathfrak{U}':=\mathcal{P}'\setminus T'$  et des immersions fermées  $Y\hookrightarrow \mathfrak{U}$  et  $Y'\hookrightarrow \mathfrak{U}'$ .

On note X (resp. X') l'adhérence schématique de Y (resp. Y') dans P (resp. P'),  $\mathcal{P}'':=\mathcal{P}'\times\mathcal{P}, \, \mathfrak{U}'':=\mathfrak{U}'\times\mathfrak{U}, \, X''$  l'adhérence schématique de Y (immergé via le graphe de b) dans  $X'\times X$ ,  $f_1:\mathcal{P}''\to \mathcal{P}'$  et  $f_2:\mathcal{P}''\to \mathcal{P}$  les projections, et  $T'':=f_1^{-1}(T')\cup f_2^{-1}(T)$ . Grâce à 2.2.12, les foncteurs  $f_{1+}$  et  $\mathbb{R}\underline{\Gamma}_{X'}^\dagger f_1^!$  induisent des équivalences quasi-inverses entre les catégories  $F\operatorname{-Isoc}^{\dagger\dagger}(\mathcal{P}'',T'',X''/K)$  et  $F\operatorname{-Isoc}^{\dagger\dagger}(\mathcal{P}'',T',X''/K)$ .

Lorsque b=id,  $\mathbb{R}\underline{\Gamma}_{X''}^{\dagger}f_2^!$  et  $f_{2+}$  induisent des équivalences quasiinverses entre  $F\operatorname{-Isoc}^{\dagger\dagger}(\mathcal{P},T,X/K)$  et  $F\operatorname{-Isoc}^{\dagger\dagger}(\mathcal{P}'',T'',X''/K)$ . On obtient l'équivalence canonique de catégorie

$$f_{1+} \circ \mathbb{R}\underline{\Gamma}_{X''}^{\dagger}f_2^! : F\text{-Isoc}^{\dagger\dagger}(\mathfrak{P}, T, X/K) \cong F\text{-Isoc}^{\dagger\dagger}(\mathfrak{P}', T', X'/K)$$

dont  $f_{2+} \circ \mathbb{R} \underline{\Gamma}_{X''}^{\dagger} f_1^!$  est un foncteur quasi-inverse. On remarque que lorsque b se relève en un morphisme  $f : \mathcal{P}' \to \mathcal{P}$ , on vérifie que  $f_{1+} \circ \mathbb{R} \underline{\Gamma}_{X''}^{\dagger} f_2^!$  (resp.

 $f_{2+} \circ \mathbb{R} \underline{\varGamma}_{X''}^\dagger f_1^!$ ) est canoniquement isomorphisme à  $\mathbb{R} \underline{\varGamma}_{X'}^\dagger f^!$  (resp.  $f_+$ ). De plus, ces isomorphismes sont transitifs en les choix  $\mathcal{P}$ , T et  $Y \hookrightarrow \mathfrak{U}$ . On écrira ainsi F-Isoc $^{\dagger\dagger}(Y/K)$  à la place de F-Isoc $^{\dagger\dagger}(\mathcal{P},T,X/K)$ . De plus, en notant  $p_{\mathcal{P}}: \mathcal{P} \to \mathcal{S}$  le morphisme structural, on vérifie que  $p_{\mathcal{P}+}[-d_Y]: F$ -Isoc $^{\dagger\dagger}(\mathcal{P},T,X/K) \to D^{\mathrm{b}}(K)$  est indépendant du choix de  $(\mathcal{P},T,X)$ . Il sera alors noté

$$H_{\mathrm{DR}}^{\bullet}(-/K) : F\operatorname{-Isoc}^{\dagger\dagger}(Y/K) \to D^{\mathrm{b}}(K).$$

Retournons au cas où b n'est plus forcément l'identité. Modulo l'équivalence de catégories précédente, on peut toujours supposer que b se prolonge en un morphisme  $f: \mathcal{P}' \to \mathcal{P}$  propre et lisse tel que  $T' \supset f^{-1}(T)$ . Un tel prolongement sera appelé bon prolongement. On dispose du foncteur  $\mathbb{R}\underline{\Gamma}_{X'}^\dagger f^![-d_{Y'/Y}]: F\text{-Isoc}^{\dagger\dagger}(Y/K) \to F\text{-Isoc}^{\dagger\dagger}(Y'/K)$ . Celui-ci ne dépend pas du choix du prolongement f de b. En effet, si  $f_1: \mathcal{P}_1' \to \mathcal{P}_1$  et  $f_2: \mathcal{P}_2' \to \mathcal{P}_2$  sont deux bons prolongements de b, en notant  $f_3 = (f_1, f_2): \mathcal{P}_1' \times \mathcal{P}_2' \to \mathcal{P}_1 \times \mathcal{P}_2, X_1', X_2'$  et  $X_3'$  l'adhérence schématique respectifs de Y dans  $P_1', P_2'$  et  $P_1' \times P_2'$ , on vérifie que les foncteurs  $\mathbb{R}\underline{\Gamma}_{X_1'}^\dagger f_1^\dagger [-d_{Y'/Y}]$  et  $\mathbb{R}\underline{\Gamma}_{X_3'}^\dagger f_3^\dagger [-d_{Y'/Y}]$  se correspondent modulo l'équivalence canonique de catégorie entre  $F\text{-Isoc}^{\dagger\dagger}(\mathcal{P}_1', T_1', X_1'/K)$  et  $F\text{-Isoc}^{\dagger\dagger}(\mathcal{P}_1' \times \mathcal{P}_2', T_3', X_3'/K)$ , où  $T_3'$  est le diviseur réduit dont le support est le complémentaire de  $\mathfrak{U}_1' \times \mathfrak{U}_2'$  dans  $\mathcal{P}_1' \times \mathcal{P}_2'$ . Et de même en remplaçant, "1" par "2". Le foncteur  $\mathbb{R}\underline{\Gamma}_{X'}^\dagger f^![-d_{Y'/Y}]$  sera donc simplement noté de la façon suivante

$$b^* : F\operatorname{-Isoc}^{\dagger\dagger}(Y/K) \to F\operatorname{-Isoc}^{\dagger\dagger}(Y'/K).$$

Enfin, les bifoncteurs  $\overset{\mathbb{L}}{\otimes}^{\dagger}_{\mathcal{O}_{\mathcal{P}}(^{\dagger}T)_{\mathbb{O}}}[d_{X/P}]$ 

$$F\text{-}\mathrm{Isoc}^{\dagger\dagger}(\mathfrak{P},T,X/K)\times F\text{-}\mathrm{Isoc}^{\dagger\dagger}(\mathfrak{P},T,X/K)\to F\text{-}\mathrm{Isoc}^{\dagger\dagger}(\mathfrak{P},T,X/K)$$

sont compatibles avec les isomorphismes canoniques  $F\operatorname{-Isoc}^{\dagger\dagger}(\mathcal{P},T,X/K)\cong F\operatorname{-Isoc}^{\dagger\dagger}(\mathcal{P}',T',X'/K)$ . En effet, on peut toujours supposer qu'il existe un bon prolongement  $f:\mathcal{P}'\to\mathcal{P}$  de l'identité de Y. L'isomorphisme canonique  $F\operatorname{-Isoc}^{\dagger\dagger}(\mathcal{P},T,X/K)\cong F\operatorname{-Isoc}^{\dagger\dagger}(\mathcal{P}',T',X'/K)$  est fourni par  $\mathbb{R}\underline{\Gamma}_{X'}^{\dagger}f^!$ . Pour tous  $\mathcal{E}_1,\mathcal{E}_2\in F\operatorname{-Isoc}^{\dagger\dagger}(\mathcal{P},T,X/K)$ , on a alors

$$\mathbb{R}\underline{\Gamma}_{X'}^{\dagger} f^{!} (\mathcal{E}_{1} \overset{\mathbb{L}}{\otimes}_{\mathcal{O}_{\mathcal{P}}(^{\dagger}T)_{\mathbb{Q}}}^{\dagger} \mathcal{E}_{2}[d_{X/P}]) \tilde{\rightarrow} \mathbb{R}\underline{\Gamma}_{X'}^{\dagger} (f^{!} \mathcal{E}_{1} \overset{\mathbb{L}}{\otimes}_{\mathcal{O}_{\mathcal{P}'}(^{\dagger}T')_{\mathbb{Q}}}^{\dagger} f^{!} \mathcal{E}_{2})[d_{X/P'}]) \\
\tilde{\rightarrow} (\mathbb{R}\underline{\Gamma}_{X'}^{\dagger} f^{!} \mathcal{E}_{1}) \overset{\mathbb{L}}{\otimes}_{\mathcal{O}_{\mathcal{P}'}(^{\dagger}T')_{\mathbb{Q}}}^{\dagger} (\mathbb{R}\underline{\Gamma}_{X'}^{\dagger} f^{!} \mathcal{E}_{2})[d_{X/P'}]),$$

le dernier isomorphisme résultant de [Car04b, 2.1.8].

On obtient ainsi le foncteur noté

$$\overset{\mathbb{L}}{\otimes_{\mathcal{O}_Y}} : F\text{-}\operatorname{Isoc}^{\dagger\dagger}(Y/K) \times F\text{-}\operatorname{Isoc}^{\dagger\dagger}(Y/K) \to F\text{-}\operatorname{Isoc}^{\dagger\dagger}(Y/K).$$

**2.2.14.** Soient Y un k-schéma lisse,  $\mathfrak U$  un  $\mathcal V$ -schéma formel lisse et  $Y \hookrightarrow \mathfrak U$  une immersion fermée.

On dispose de l'équivalence de catégorie  $\operatorname{sp}_{Y \hookrightarrow \mathfrak{U},+} : F\operatorname{-Isoc}^\dagger(Y,Y/K) \cong F\operatorname{-Isoc}^\dagger(\mathfrak{U},Y/K)$ . On en déduit que la catégorie  $F\operatorname{-Isoc}^{\dagger\dagger}(\mathfrak{U},Y/K)$  est indépendante de  $\mathfrak{U}$  à isomorphisme canonique près. En effet, si  $Y \hookrightarrow \mathfrak{U}'$  est un second choix, en notant  $g_1 : \mathfrak{U} \times \mathfrak{U}' \to \mathfrak{U}$  et  $g_2 : \mathfrak{U} \times \mathfrak{U}' \to \mathfrak{U}'$ , il découle du lemme 2.2.11 et de [Car, 2.2.27] que les foncteurs  $\mathbb{R}\underline{\varGamma}_Y^\dagger g_1^!$  et  $g_{1+}$  (resp.  $\mathbb{R}\underline{\varGamma}_Y^\dagger g_2^!$  et  $g_{2+}$ ) sont des équivalences quasi-inverses entre  $F\operatorname{-Isoc}^{\dagger\dagger}(\mathfrak{U},Y/K)$  (resp.  $F\operatorname{-Isoc}^{\dagger\dagger}(\mathfrak{U}',Y/K)$ ) et  $F\operatorname{-Isoc}^{\dagger\dagger}(\mathfrak{U} \times \mathfrak{U}',Y/K)$ . Le foncteur  $g_{2+}\mathbb{R}\underline{\varGamma}_Y^\dagger g_1^! : F\operatorname{-Isoc}^{\dagger\dagger}(\mathfrak{U},Y/K) \to F\operatorname{-Isoc}^{\dagger\dagger}(\mathfrak{U}',Y/K)$  fournit une équivalence de catégorie canonique. Cette catégorie s'écrira donc sans ambiguïté  $F\operatorname{-Isoc}^{\dagger\dagger}(Y,Y/K)$ .

De plus, le foncteur  $\operatorname{sp}_{Y\hookrightarrow \mathfrak{U},+}: F\operatorname{-Isoc}^\dagger(Y,Y/K)\cong F\operatorname{-Isoc}^{\dagger\dagger}(\mathfrak{U},Y/K)$ , grâce à 2.2.11 et à [Car, 2.2.27], est compatible à ces isomorphismes. On écrira alors  $\operatorname{sp}_{Y,Y,+}: F\operatorname{-Isoc}^\dagger(Y,Y/K)\cong F\operatorname{-Isoc}^{\dagger\dagger}(Y,Y/K)$  ce foncteur.

Si  $b: Y' \to Y$  est un morphisme de k-schémas lisses tels qu'il existe  $\mathfrak U$  et  $\mathfrak U'$  des  $\mathcal V$ -schémas formels lisses et des immersions fermées  $Y \hookrightarrow \mathfrak U$  et  $Y' \hookrightarrow \mathfrak U'$ . On dispose alors d'un foncteur canonique  $b^*: F\operatorname{-Isoc}^{\dagger\dagger}(Y,Y/K) \to F\operatorname{-Isoc}^{\dagger\dagger}(Y,Y'/K)$  bien défini. En effet, avec les notations ci-dessus, pour tout  $\mathcal E \in F\operatorname{-Isoc}^{\dagger\dagger}(Y,Y/K)$ , on pose  $b^*(\mathcal E):=g_{1+}\mathbb R\underline{\varGamma}_{Y'}^{\dagger}g_2^!(\mathcal E)$ . De plus, on dispose d'un isomorphisme canonique  $b^*\circ\operatorname{sp}_{Y,Y+}\to\operatorname{sp}_{Y',Y'+}\circ b^*$ .

En reprenant les notations de la section 2.2.13, on remarque que le foncteur  $|_{\mathfrak{U}}: F\operatorname{-Isoc}^{\dagger\dagger}(\mathcal{P},T,X/K) \to F\operatorname{-Isoc}^{\dagger\dagger}(\mathfrak{U},Y/K)$  est indépendant des choix fait à isomorphisme canonique près. On le notera  $\operatorname{cv}: F\operatorname{-Isoc}^{\dagger\dagger}(Y/K) \to F\operatorname{-Isoc}^{\dagger\dagger}(Y,Y/K)$ . Pour tout  $\mathcal{E} \in F\operatorname{-Isoc}^{\dagger\dagger}(Y/K)$ , on a l'isomorphisme canonique  $\operatorname{cv} \circ b^*(\mathcal{E}) \tilde{\to} b^* \circ \operatorname{cv}(\mathcal{E})$  fonctoriel en  $\mathcal{E}$ .

**2.2.15.** Soient X un k-schéma lisse,  $\mathcal P$  un  $\mathcal V$ -schéma formel propre et lisse,  $u:X\hookrightarrow \mathcal P$  une immersion fermée et un diviseur T de P tel que  $T\cap X$  soit un diviseur de X.

Le foncteur  $\operatorname{sp}_{X\hookrightarrow\mathcal{P},T,+}:F\operatorname{-Isoc}^\dagger(Y/K)\to F\operatorname{-Isoc}^{\dagger\dagger}(\mathcal{P},T,X/K)$ , qui est une équivalence de catégorie d'après 2.2.2, est indépendant du choix de  $X\hookrightarrow\mathcal{P}$  et E vérifiant les conditions ci-dessus. En effet, si E verifiant les conditions ci-dessus. En effet, si E verifier l'is som un second choix, on pose E is E verifier l'is E verifier l'is verifier l'is verifier l'is difference schématique de E dans E verifier l'is somorphisme : E is E is E conditions E is E conditions conditions E is E conditions conditions E is E conditions conditions E conditions E is E conditions conditions conditions E conditions conditions conditions conditions E conditions conditio

On le notera alors  $\operatorname{sp}_{Y+}: F\operatorname{-Isoc}^{\dagger}(Y/K) \cong F\operatorname{-Isoc}^{\dagger\dagger}(Y/K)$ . On bénéficie de l'isomorphisme canonique  $\operatorname{cv} \circ \operatorname{sp}_{Y+} \tilde{\to} \operatorname{sp}_{YY+} \circ \operatorname{cv}$ .

**Théorème 2.2.16** Soit Y un k-schéma lisse tel qu'il existe un V-schéma formel propre et lisse P, un diviseur T de P et une immersion fermée  $Y \hookrightarrow P \setminus T$ .

Il existe alors un foncteur (non canonique) pleinement fidèle

$$\rho_Y : F\operatorname{-Isoc}^{\dagger\dagger}(Y/K) \to F\operatorname{-Isoc}^{\dagger}(Y/K).$$

Les objets de F-Isoc $^{\dagger\dagger}(Y/K)$  serons alors appelés F-isocristaux sur Y surcohérents le long de T.

Démonstration. Notons X l'adhérence schématique de Y dans P et  $u: X \hookrightarrow \mathcal{P}$  l'immersion fermée canonique. Comme  $F\operatorname{-Isoc}^{\dagger}(Y/K) \cong \oplus_i F\operatorname{-Isoc}^{\dagger}(Y_i/K)$ , par 2.2.7, on se ramène à supposer Y irréductible. D'après 2.2.9 et avec ses notations, le foncteur  $(b^*,\operatorname{cv})$ :

$$F\operatorname{-Isoc}^{\dagger}(Y/K) \to F\operatorname{-Isoc}^{\dagger\dagger}(Y'/K) \times_{F\operatorname{-Isoc}^{\dagger\dagger}(Y',Y'/K)} F\operatorname{-Isoc}^{\dagger\dagger}(Y,Y/K)$$
(2.2.16.1)

est alors pleinement fidèle. Or, il résulte de [Éte02, Théorème 3] et de [Ked04], que le foncteur canonique

$$F\operatorname{-Isoc}^{\dagger}(Y/K) \to F\operatorname{-Isoc}^{\dagger}(Y'/K) \times_{F\operatorname{-Isoc}(Y'/K)} F\operatorname{-Isoc}(Y/K)$$
 (2.2.16.2) est une équivalence. Comme  $X'$  est lisse,  $\operatorname{sp}_{Y'+}: F\operatorname{-Isoc}^{\dagger}(Y'/K) \cong$ 

est une équivalence. Comme X' est lisse,  $\operatorname{sp}_{Y'+}: F\operatorname{-Isoc}^{\dagger}(Y'/K)\cong F\operatorname{-Isoc}^{\dagger\dagger}(Y'/K)$ .

Enfin, on a  $\mathrm{sp}_{Y,Y,+}: F\operatorname{-Isoc}^\dagger(Y,Y/K)\cong F\operatorname{-Isoc}^{\dagger\dagger}(Y,Y/K)$ , et de même en remplaçant Y par Y'.

**2.2.17** (**Remarques**). Soit  $b: Y' \to Y$  un morphisme de k-schémas lisses. On suppose qu'il existe  $\mathcal{P}, \mathcal{P}'$  deux  $\mathcal{V}$ -schémas formels propres et lisses, T (resp. T') un diviseur de P (resp. P'),  $\mathfrak{U}:=\mathcal{P}\setminus T$  et  $\mathfrak{U}':=\mathcal{P}'\setminus T'$  et des immersions fermées  $Y\hookrightarrow \mathfrak{U}$  et  $Y'\hookrightarrow \mathfrak{U}'$ .

Pour tout  $\mathcal{E} \in F\operatorname{-Isoc}^{\dagger\dagger}(Y/K)$ ,  $\rho_Y(\mathcal{E})$  est l'unique (à isomorphisme près)  $F\operatorname{-isocristal} E$  surconvergent sur Y tel que  $\operatorname{cv} \circ \rho_Y(\mathcal{E}) \tilde{\to} \operatorname{sp}_{Y,Y+} \circ \hat{E}$ , où  $\hat{E}$  est le  $F\operatorname{-isocristal}$  convergent sur Y associé à E. Il en résulte un isomorphisme  $\rho_{Y'} \circ b^*(\mathcal{E}) \tilde{\to} b^* \circ_{\mathbb{D}} \rho_Y(\mathcal{E})$ . De même, on obtient, pour tous  $\mathcal{E}_1, \mathcal{E}_2 \in F\operatorname{-Isoc}^{\dagger\dagger}(Y/K)$ ,  $\rho_Y(\mathcal{E}_1 \otimes_{\mathcal{O}_Y}^{\dagger} \mathcal{E}_2) \tilde{\to} \rho_Y(\mathcal{E}_1) \otimes_{j_{\mathcal{O}_{\mathcal{P}_K}}^{\dagger}} \rho_Y(\mathcal{E}_2)$ .

### 2.3. Surcohérence générique des F-isocristaux surconvergents

**Définition 2.3.1.** Soient  $Y_0$  un k-schéma affine et lisse,  $Y_0 \hookrightarrow X_0$  une immersion ouverte et  $Y^{\dagger}$  un  $\mathcal{V}$ -schéma formel faible affine et lisse relevant  $Y_0$ .

L'immersion ouverte  $Y_0 \hookrightarrow X_0$  se désingularise *idéalement* s'il existe un morphisme surjectif  $a_0: X_0' \to X_0$ , qui se décompose en une immersion fermée  $X_0' \hookrightarrow \mathbb{P}_{X_0}^r$  suivie de la projection canonique  $\mathbb{P}_{Y_0}^r \to Y_0$ , tel que

- 1.  $X'_0$  est lisse;
- 2. le morphisme  $Y_0' := a_0^{-1}(Y_0) \to Y_0$  induit par  $a_0$  est fini et étale ;
- 3. le morphisme  $Y_0' \hookrightarrow \mathbb{P}_{Y_0}^r$  induit par  $X_0' \hookrightarrow \mathbb{P}_{X_0}^r$  se relève un morphisme de  $\mathcal{V}$ -schémas formels faibles lisses de la forme  $Y'^\dagger \to \mathbb{P}_{Y_0^\dagger}^{r\dagger}$ .

L'immersion ouverte  $Y_0 \hookrightarrow X_0$  se désingularise localement idéalement s'il existe un recouvrement ouvert  $(X_{0,i})_{i\in I}$  de  $X_0$  tel que  $Y_0\cap X_{0,i}\hookrightarrow X_{0,i}$  se désingularise idéalement.

**Remarques 2.3.2** Avec les notations de 2.3.1, la condition iii) est indépendante du choix du relèvement  $Y^{\dagger}$  car ceux-ci sont isomorphes.

De plus, si  $Y_0 \hookrightarrow X_0$  se désingularise idéalement alors il en est de même, pour tout ouvert affine  $\widetilde{Y}_0$  de  $Y_0$ , de l'immersion ouverte induite  $\widetilde{Y}_0 \hookrightarrow X_0$ . En effet, le morphisme  $\widetilde{Y}_0' := a_0^{-1}(\widetilde{Y}_0) \to \widetilde{Y}_0$  induit par  $a_0$  est fini et étale. De plus, en notant  $\widetilde{Y}^\dagger$  l'ouvert de  $Y^\dagger$  d'espace sous-jacent  $\widetilde{Y}_0$ , la projection  $Y'^\dagger \times_{\mathbb{P}_{Y^\dagger}^{r\dagger}} \mathbb{P}_{\widetilde{Y}^\dagger}^{r\dagger} \to \mathbb{P}_{\widetilde{Y}^\dagger}^{r\dagger}$  est un relèvement de  $\widetilde{Y}_0' \to \mathbb{P}_{\widetilde{Y}_0}^r$ .

Lemme 2.3.3 Soit le diagramme de V-schémas formels faibles lisses

$$Y'^{\dagger} \xrightarrow{v'} U'^{\dagger} \xrightarrow{j'} P'^{\dagger}$$

$$\downarrow b \qquad \qquad \downarrow g \qquad \qquad \downarrow f$$

$$Y^{\dagger} \xrightarrow{v} U^{\dagger} \xrightarrow{j} P^{\dagger},$$

$$(2.3.3.1)$$

où f est propre, j est une immersion ouverte, le carré de droite est cartésien, v et v' sont des immersions fermées et b est fini et étale. On suppose de plus que  $T_0 := P_0 \setminus U_0$  et  $T_0' := P_0' \setminus U_0'$  sont le support de diviseurs. On désigne par  $b_*$  le foncteur canonique de la catégorie des isocristaux surconvergents sur  $Y_0'$  dans celle des isocristaux surconvergents sur  $Y_0$  (cela a un sens car b est fini, étale).

Pour tout isocristal surconvergent E' sur  $Y'_0$ , on dispose alors d'un isomorphisme canonique

$$\operatorname{sp}_{Y^{\dagger} \hookrightarrow U^{\dagger}, T_0, +}(b_* E') \tilde{\to} f_{T_0, +}(\operatorname{sp}_{Y'^{\dagger} \hookrightarrow U'^{\dagger}, f^{-1}T_0, +}(E')).$$
 (2.3.3.2)

En outre, ceux-ci commutent aux isomorphismes de composition des images directes.

 $\begin{array}{l} \textit{D\'{e}monstration}. \ \ \text{On note } \mathcal{E}' \ \text{le } \mathcal{D}_{Y^{\dagger},\mathbb{Q}}\text{-module associ\'e à } E', \, \mathcal{E}'^{(0)}, \, \text{un } \mathcal{D}^{(0)}_{Y'^{\dagger}}\text{-module globalement de pr\'esentation finie et } \mathcal{O}_{Y'^{\dagger}}\text{-coh\'erent tel que } \mathcal{E}^{\prime(0)}_{\mathbb{Q}} \overset{\sim}{\to} \mathcal{E}' \\ \text{et on pose } \mathcal{F}'^{(0)} := v'_{+}(\mathcal{E}'^{(0)}). \ \ \text{Un mod\`ele } \mathcal{D}^{(0)}_{Y^{\dagger}}\text{-globalement de pr\'esentation finie et } \mathcal{O}_{Y^{\dagger}}\text{-coh\'erent de } b_{*}(E') \ \text{est donn\'e par } b_{+}(\mathcal{E}'^{(0)}). \end{array}$ 

Comme  $g_{+}(\mathcal{F}'^{(0)}) = g_{+}v'_{+}(\mathcal{E}'^{(0)}) \tilde{\to} v_{+}b_{+}(\mathcal{E}'^{(0)})$ , il découle de 1.2.4 et de 1.2.12 que  $\mathcal{F}'^{(0)}$  (resp.  $g_+(\mathcal{F}'^{(0)})$ ) est localement en  $P'^{\dagger}$  (resp.  $P^{\dagger}$ ) de présentation finie. D'après 1.2.21, on dispose alors du morphisme

$$\mathcal{D}_{\mathcal{P}}^{\dagger}(^{\dagger} * T_{0}) \otimes_{j_{*}\mathcal{D}_{U^{\dagger}}^{(0)}} j_{*}g_{+}(\mathcal{F}^{\prime(0)})$$

$$\rightarrow \mathbb{R} f_{*}(\mathcal{D}_{\mathcal{P}\leftarrow\mathcal{P}^{\prime}}^{\dagger}(^{\dagger} * T_{0}) \otimes_{\mathcal{D}_{\mathcal{P}^{\prime}}^{\dagger}(^{\dagger} * T_{0}^{\prime})}^{\mathbb{L}} \mathcal{D}_{\mathcal{P}^{\prime}}^{\dagger}(^{\dagger} * T_{0}^{\prime}) \otimes_{j_{*}^{\prime}\mathcal{D}_{U^{\prime\dagger}}^{(0)}}^{\mathbb{L}} j_{*}^{\prime}\mathcal{F}^{\prime(0)}).$$

$$(2.3.3.3)$$

En appliquant  $\mathbb{Q} \otimes_{\mathbb{Z}}$  – à 2.3.3.3, on obtient le morphisme 2.3.3.2. Comme la cohérence différentielle est préservés par image directe par un morphisme propre, celui-ci est un morphisme de  $\mathcal{D}_{\mathcal{P}}^{\dagger}(^{\dagger}T_0)$ -modules cohérents. Comme 2.3.3.2 est un isomorphisme au dessus de  $\mathfrak{U}$ , par [Ber96a, 4.3.12], ce dernier est bien un isomorphisme.

**2.3.4.** Soient  $P^{\dagger}$  un  $\mathcal{V}$ -schéma formel faible lisse,  $T_0$  un diviseur de  $P_0$ ,  $U^{\dagger}$  l'ouvert de  $P^{\dagger}$  complémentaire de  $T_0$ ,  $j:U^{\dagger}\hookrightarrow P^{\dagger}$  l'immersion ouverte et  $v:Y^{\dagger}\hookrightarrow U^{\dagger}$  une immersion fermée de  $\mathcal{V}$ -schémas formels faibles. On suppose en outre  $Y^{\dagger}$  affine et lisse et on désigne par  $X_0$  l'adhérence schématique de  $Y_0$  dans  $P_0$ .

**Théorème 2.3.5** Avec les notations 2.3.4, on suppose que  $Y_0 \hookrightarrow X_0$  se désingularise localement idéalement.

Alors, pour tout isocristal E sur  $Y_0$  surconvergent le long de  $T_0 \cap X_0$ ,

le  $\mathcal{D}_{\mathcal{P}}^{\dagger}(^{\dagger}T_0)_{\mathbb{Q}}$ -cohérent  $\operatorname{sp}_{Y^{\dagger}\hookrightarrow U^{\dagger},T_0,+}(E)$  vérifie  $P_{\mathcal{P},T_0}$  (voir 2.1.1). D'autre part, l'isomorphisme canonique de commutation à Frobenius  $\phi: \operatorname{sp}_{Y^{\dagger} \hookrightarrow U^{\dagger}, T_0, +}(F^*E) \tilde{\to} F^* \operatorname{sp}_{Y^{\dagger} \hookrightarrow U^{\dagger}, T_0, +}(E)$  existe (voir 1.4.9), i.e., le diagramme ci-dessous

$$\operatorname{sp}_{Y^{\dagger} \hookrightarrow U^{\dagger}, T_{0}, +}(F^{*}E)|_{\mathfrak{U}} \xrightarrow{\phi|_{\mathfrak{U}}} F^{*}(\operatorname{sp}_{Y^{\dagger} \hookrightarrow U^{\dagger}, T_{0}, +}(E)|_{\mathfrak{U}}) \qquad (2.3.5.1)$$

$$\downarrow^{\sim} \qquad \qquad \downarrow^{\sim}$$

$$v_{+}^{\dagger} F^{*}\widehat{\varepsilon} \xrightarrow{\sim} F^{*}v_{+}^{\dagger}\widehat{\varepsilon},$$

où les isomorphismes verticaux sont 1.4.4 et celui du bas est l'isomorphisme de commutation à Frobenius de l'image directe, est commutatif.

Ainsi, on dispose d'un foncteur 
$$\operatorname{sp}_{Y^{\dagger} \hookrightarrow U^{\dagger}, T_0, +} : F\operatorname{-Isoc}^{\dagger}(Y_0/K) \to F\operatorname{-Isoc}^{\dagger\dagger}(\mathfrak{P}, T_0, X_0/K).$$

Démonstration. Comme la propriété  $P_{\mathcal{P},T_0}$  est locale en  $\mathcal{P}$  (voir 2.1.2), on peut supposer que  $Y_0 \hookrightarrow X_0$  se désingularise idéalement. Par hypothèses, il existe alors un morphisme surjectif  $a_0: X_0' \to X_0$ , qui se décompose en une immersion fermée  $X_0' \hookrightarrow \mathbb{P}_{X_0}^r$  suivie de la projection canonique  $\mathbb{P}^r_{Y_0} \to Y_0$ , et tel que  $X_0'$  soit lisse, le morphisme  $Y_0' = a_0^{-1}(Y_0) \to Y_0$ soit fini et étale et tel qu'il existe un relèvement  $Y'^{\dagger} \to \mathbb{P}_{V^{\dagger}}^{r\dagger}$  de  $Y'_0 \hookrightarrow \mathbb{P}_{Y_0}^r$ .

En composant ce dernier avec la projection canonique  $\mathbb{P}_{V^{\dagger}}^{r\dagger} \to Y^{\dagger}$  (resp. avec l'immersion fermée  $\mathbb{P}_{V^{\dagger}}^{r\dagger} \hookrightarrow \mathbb{P}_{U^{\dagger}}^{r\dagger}$ ), on obtient un morphisme fini, étale et surjectif  $b: Y'^{\dagger} \to Y^{\dagger}$  (resp. une immersion fermée  $v': Y'^{\dagger} \hookrightarrow \mathbb{P}_{U^{\dagger}}^{r^{\dagger}}$ ). En notant  $U'^{\dagger}:=\mathbb{P}^{r\dagger}_{U^{\dagger}},\,P'^{\dagger}:=\mathbb{P}^{r\dagger}_{P^{\dagger}},\,j':U'^{\dagger}\hookrightarrow P'^{\dagger}$  l'immersion ouverte,  $f: P'^{\dagger} \to P^{\dagger}$  et  $g: U'^{\dagger} \to U^{\dagger}$  les projections, on obtient un diagramme commutatif de la forme 2.3.3.1, avec en plus b surjectif.

Soit E un isocristal surconvergent sur  $Y_0$ . On note  $\mathcal{E}$  le  $\mathcal{D}_{Y^{\dagger},\mathbb{O}}$ -module associé à E et  $\mathcal{E}^{(0)}$ , un  $\mathcal{D}_{Y^{\dagger}}^{(0)}$ -module globalement de présentation finie et  $\mathcal{O}_{Y^\dagger}$ -cohérent tel que  $\mathcal{E}_{\mathbb{Q}}^{(\hat{0})} \tilde{\to} \mathcal{E}$ . On pose  $\mathcal{F}^{(0)} := v_+(\mathcal{E}^{(0)}), \; \mathcal{E}'^{(0)} :=$  $b^*(\mathcal{E}^{(0)})$  et  $\mathcal{F}'^{(0)}:=v'_+(\mathcal{E}'^{(0)})$ . On remarque que  $\mathcal{E}'^{(0)}$  est un modèle  $\mathcal{D}^{(0)}_{V'^{\dagger}}$ globalement de présentation finie et  $\mathcal{O}_{Y'^{\dagger}}$ -cohérent de  $b^*(E)$  et  $b_+(\mathcal{E}'^{(0)})$ est un modèle  $\mathcal{D}_{V^\dagger}^{(0)}$ -globalement de présentation finie et  $\mathfrak{O}_{Y^\dagger}$ -cohérent de  $b_*b^*(E)$ .

D'après 2.3.3, on dispose de l'isomorphisme canonique

$$\operatorname{sp}_{+}(b_{*}b^{*}E) \tilde{\to} f_{T_{0},+}(\operatorname{sp}'_{+}(b^{*}E)),$$
 (2.3.5.2)

où  $\operatorname{sp}_+ = \operatorname{sp}_{Y^\dagger \hookrightarrow U^\dagger, T_0, +}$  et  $\operatorname{sp}'_+ = \operatorname{sp}_{Y'^\dagger \hookrightarrow U'^\dagger, f^{-1}T_0, +}$ . Comme  $X'_0$  est lisse, il existe un isocristal E' sur  $Y'_0$  surconvergent le long de  $f^{-1}T_0$  et vérifiant  $\operatorname{sp}_{X_0' \to \mathcal{P}', f^{-1}T_0, +}(E') \tilde{\to} \operatorname{sp}'_+(b^*E)$ . Or, d'après 2.1.4,  $\operatorname{sp}_{X_0' \to \mathcal{P}', f^{-1}T_0, +}(E')$  vérifie  $P_{\mathcal{P}', f^{-1}T_0}$ . Avec 2.1.3 et 2.3.5.2, il en dérive que  $\operatorname{sp}_+(b_*b^*E)$  vérifie  $P_{\mathcal{P},T_0}$ .

Or, puisque b est fini, étale et surjectif, E est facteur direct de  $b_*b^*E$ . Le module  $\operatorname{sp}_+(E)$  est donc facteur direct de  $\operatorname{sp}_+(b_*b^*E)$ . D'où le premier

Prouvons à présent l'isomorphisme de commutation à Frobenius. Notons  $\theta$  le morphisme défini par le diagramme commutatif ci-dessous

où l'isomorphisme à droite du milieu découle de 1.4.14 et ceux horizontaux résultent de 2.3.5.2.

Soit  $\phi$  l'unique morphisme rendant commutatif le diagramme ci-après

$$\operatorname{sp}_{+}(F^{*}E) \longrightarrow \operatorname{sp}_{+}b_{*}b^{*}(F^{*}E) \xrightarrow{\rho} \operatorname{sp}_{+}(F^{*}E) \qquad (2.3.5.4)$$

$$\downarrow^{\phi} \qquad \qquad \downarrow^{\theta} \qquad \qquad \downarrow^{\phi}$$

$$F^{*}\operatorname{sp}_{+}(E) \longrightarrow F^{*}\operatorname{sp}_{+}b_{*}b^{*}(E) \xrightarrow{\rho} F^{*}\operatorname{sp}_{+}(E),$$

où  $\operatorname{sp}_+ = \operatorname{sp}_{Y^\dagger \hookrightarrow U^\dagger, T_0, +}$  (cela est toujours possible car le composé des morphismes horizontaux sont des isomorphismes). Par [Ber02, 4.3.12], il suffit de prouver que le diagramme 2.3.5.1 est commutatif.

Comme b est fini et étale, en notant  $\widehat{E}$  l'isocristal convergent sur  $Y_0$  associé à E et  $\widehat{\mathcal{E}} := \operatorname{sp}_*(E)$ , on dispose du diagramme commutatif suivant

$$b_{+\dagger}b^{!\dagger}\widehat{\mathcal{E}} \xrightarrow{\rho} \widehat{\mathcal{E}}$$

$$\downarrow^{\sim} \qquad \qquad \downarrow^{\sim}$$

$$\operatorname{sp}_{*}(b_{*}b^{*}\widehat{E}) \xrightarrow{\rho} \operatorname{sp}_{*}(\widehat{E}),$$

$$(2.3.5.5)$$

où les morphismes horizontaux sont les morphismes traces. Ainsi, les morphismes trace  $\rho$  se correspondent. De plus, on dispose du diagramme commutatif

$$g_{+\uparrow}v'_{+\uparrow}b^{!\dagger}F^{*}\widehat{\mathcal{E}} \longrightarrow v_{+\uparrow}b_{+\uparrow}b^{!\dagger}F^{*}\widehat{\mathcal{E}}$$

$$\downarrow \qquad \qquad \downarrow \qquad \qquad \downarrow$$

$$g_{+\uparrow}v'_{+\uparrow}F^{*}b^{!\dagger}\widehat{\mathcal{E}} \longrightarrow v_{+\uparrow}b_{+\uparrow}F^{*}b^{!\dagger}\widehat{\mathcal{E}}$$

$$\downarrow \qquad \qquad \downarrow$$

$$g_{+\uparrow}F^{*}v'_{+\uparrow}b^{!\dagger}\widehat{\mathcal{E}} \qquad v_{+\uparrow}F^{*}b_{+\uparrow}b^{!\dagger}\widehat{\mathcal{E}} \longrightarrow v_{+\uparrow}F^{*}\widehat{\mathcal{E}}$$

$$\downarrow \qquad \qquad \downarrow \psi$$

$$F^{*}g_{+\uparrow}v'_{+\uparrow}b^{!\dagger}\widehat{\mathcal{E}} \longrightarrow F^{*}v_{+\uparrow}b_{+\uparrow}b^{!\dagger}\widehat{\mathcal{E}} \stackrel{\rho}{\longrightarrow} F^{*}v_{+\uparrow}\widehat{\mathcal{E}},$$

$$(2.3.5.6)$$

où  $\psi: v_+^\dagger F^*\widehat{\mathcal{E}} \to F^* v_+^\dagger \widehat{\mathcal{E}}$  l'isomorphisme canonique. En effet, comme le morphisme trace  $b_+ b^! \to id$  est compatible à Frobenius, le triangle est commutatif. De plus, comme l'isomorphisme de commutation à la composition des images directes est compatible à Frobenius (voir [?]), le rectangle de droite est commutatif. Enfin, les deux carrés le sont par fonctorialité.

Or, modulo  $\operatorname{sp}_*b^*(\widehat{E})\tilde{\to}b^{!\dagger}(\widehat{\mathcal{E}})$  et  $\operatorname{sp}_+(E)|_{\mathfrak{U}}\tilde{\to}v_{+\dagger}(\widehat{\mathcal{E}})$  fonctoriels en E et  $\operatorname{sp}_*b_*(\widehat{E}')\tilde{\to}b_{+\dagger}(\widehat{\mathcal{E}}')$  et  $\operatorname{sp}'_+(E')\tilde{\to}v'_{+\dagger}(\widehat{\mathcal{E}}')$  fonctoriels en E, on a

$$v_{+\dagger}b_{+\dagger}b^{!\dagger}(F^*\widehat{\mathcal{E}}) \xrightarrow{\sim} g_{+\dagger}(v'_{+\dagger}(b^{!\dagger}F^*\widehat{\mathcal{E}})) \qquad (2.3.5.7)$$

$$\downarrow v_{+\dagger}v_{+\dagger}(F^*b^{!\dagger}\widehat{\mathcal{E}})) \qquad \qquad \downarrow v_{+\dagger}v_{+\dagger}v_{+\dagger}(v'_{+\dagger}(b^{!\dagger}\widehat{\mathcal{E}})) \qquad \qquad \downarrow v_{+\dagger}v_{+\dagger}v_{+\dagger}v_{+\dagger}v_{+\dagger}(\widehat{\mathcal{E}}) \qquad \qquad \downarrow v_{+\dagger}v_{+\dagger}v_{+\dagger}v_{+\dagger}v_{+\dagger}(\widehat{\mathcal{E}})$$

$$F^*v_{+\dagger}b_*b^*(\widehat{\mathcal{E}}) \xrightarrow{\sim} F^*g_{+\dagger}(v'_{+\dagger}(b^{!\dagger}\widehat{\mathcal{E}})).$$

En composant 2.3.5.7 et 2.3.5.6, on obtient, avec 2.3.5.5 et modulo les isomorphismes canoniques déjà cités, la restriction à  $\mathfrak U$  du carré de droite de 2.3.5.4. Il en dérive que les morphismes  $\phi|_{\mathfrak U}$  et  $\psi$  se correspondent.

**2.3.6 (Remarque).** Avec les notations et hypothèses de 2.3.5, on vérifie grâce à 1.4.4 que le diagramme

$$F\operatorname{-Isoc}^{\dagger}(Y_{0}/K) \xrightarrow{\operatorname{sp}_{Y^{\dagger} \hookrightarrow U^{\dagger}, T_{0}, +}} F\operatorname{-Isoc}^{\dagger\dagger}(\mathfrak{P}, T_{0}, X_{0}/K) \xrightarrow{\operatorname{sp}_{Y_{0} \hookrightarrow \mathfrak{U}, +}} F\operatorname{-Isoc}^{\dagger\dagger}(\mathfrak{U}, Y_{0}/K),$$

dont tous les foncteurs sont pleinement fidèles, est essentiellement commutatif.

**2.3.7.** On reprend les notations et hypothèses de 1.4.17. On suppose de plus que  $Y_0 \subset X_0$  se désingularise localement idéalement. On dispose alors d'un isomorphisme canonique

$$\operatorname{sp}_{Y'^{\dagger} \hookrightarrow U'^{\dagger}, T'_{0}, +}(b^{*}E)[d_{X'_{0}/X_{0}}] \tilde{\to} \mathbb{R} \underline{\Gamma}^{\dagger}_{X'_{0}} f^{!}_{T_{0}}(\operatorname{sp}_{Y^{\dagger} \hookrightarrow U^{\dagger}, T_{0}, +}(E)) \quad (2.3.7.1)$$

fonctoriel en  $E \in \operatorname{Isoc}^{\dagger}(Y_0/K)$ . On définit alors, via le diagramme ciaprès, l'isomorphisme de commutativité à Frobenius

$$\operatorname{sp}_{Y'^{\dagger} \hookrightarrow U'^{\dagger}, T'_{0}, +}(F^{*}b^{*}E)[d_{X'_{0}}/X_{0}] \xrightarrow{F^{*}\operatorname{sp}_{Y'^{\dagger} \hookrightarrow U'^{\dagger}, T'_{0}, +}(b^{*}E)[d_{X'_{0}}/X_{0}]} \downarrow^{\sim} \downarrow^{\sim} \\ \operatorname{sp}_{Y'^{\dagger} \hookrightarrow U'^{\dagger}, T'_{0}, +}(b^{*}F^{*}E)[d_{X'_{0}}/X_{0}] & F^{*}\mathbb{R}\underline{\Gamma}^{\dagger}_{X'_{0}}f^{!}_{T_{0}}(\operatorname{sp}_{Y^{\dagger} \hookrightarrow U^{\dagger}, T_{0}, +}(E)) \\ \downarrow^{\sim} & \downarrow^{\sim} \\ \mathbb{R}\underline{\Gamma}^{\dagger}_{X'_{0}}f^{!}_{T_{0}}(\operatorname{sp}_{Y^{\dagger} \hookrightarrow U^{\dagger}, T_{0}, +}(F^{*}E)) \xrightarrow{\sim} \mathbb{R}\underline{\Gamma}^{\dagger}_{X'_{0}}f^{!}_{T_{0}}F^{*}(\operatorname{sp}_{Y^{\dagger} \hookrightarrow U^{\dagger}, T_{0}, +}(E)),$$

$$(2.3.7.2)$$

où les isomorphismes verticaux sont 2.3.7.1 appliqué à E et  $F^*E$  ou sont les isomorphismes de commutation à Frobenius de l'image inverse (extraordinaire) et du foncteur cohomologique local et où l'isomorphisme du bas est l'isomorphisme de commutation à Frobenius 2.3.5. Cet isomorphisme est (au décalage  $[d_{X_0'/X_0}]$  près) l'isomorphisme canonique de commutation à Frobenius de  $\sup_{Y'^\dagger \hookrightarrow U'^\dagger, T'_0, +} (b^*E)$ .

**2.3.8.** Reprenons à présent les notations et hypothèses de 2.3.3. Si l'isomorphisme canonique de commutation à Frobenius de  $\sup_{Y'^{\dagger} \hookrightarrow U'^{\dagger}, f^{-1}T_0, +}$  en E' existe alors, via le diagramme

$$sp_{Y^{\dagger} \hookrightarrow U^{\dagger}, T_{0}, +}(F^{*}b_{*}E') \xrightarrow{\sim} F^{*}sp_{Y^{\dagger} \hookrightarrow U^{\dagger}, T_{0}, +}(b_{*}E')$$

$$\downarrow \sim \qquad \qquad \downarrow \sim$$

$$sp_{Y^{\dagger} \hookrightarrow U^{\dagger}, T_{0}, +}(b_{*}F^{*}E') \qquad F^{*}f_{T_{0}, +}(sp_{Y'^{\dagger} \hookrightarrow U'^{\dagger}, f^{-1}T_{0}, +}(E'))$$

$$\downarrow \sim \qquad \qquad \downarrow \sim$$

$$f_{T_{0}, +}(sp_{Y'^{\dagger} \hookrightarrow U'^{\dagger}, f^{-1}T_{0}, +}(F^{*}E')) \xrightarrow{\sim} f_{T_{0}, +}F^{*}(sp_{Y'^{\dagger} \hookrightarrow U'^{\dagger}, f^{-1}T_{0}, +}(E')),$$

$$(2.3.8.1)$$

on vérifie que l'isomorphisme canonique de commutation à Frobenius de  $\sup_{Y^{\dagger} \hookrightarrow U^{\dagger}, T_0, +} (b_* E')$  existe. De plus, pour tout F-isocristal surconvergent E sur  $Y_0$ , on vérifie que le carré de droite du diagramme

$$\operatorname{sp}_{+}(E) \longrightarrow \operatorname{sp}_{+}(b_{*}b^{*}E) \longrightarrow \operatorname{sp}_{+}(E) \qquad (2.3.8.2)$$

$$\parallel \qquad \qquad \qquad \qquad \qquad \qquad \qquad \qquad \parallel$$

$$\operatorname{sp}_{+}(E) \longrightarrow f_{T_{0,+}}\mathbb{R}\underline{\Gamma}_{X'_{0}}^{\dagger}f_{T_{0}}^{!}(\operatorname{sp}_{+}(E)) \longrightarrow \operatorname{sp}_{+}(E).$$

où  $\operatorname{sp}_+ = \operatorname{sp}_{Y^\dagger \hookrightarrow U^\dagger, T_0, +}$  et où l'isomorphisme vertical du milieu est le composé de 2.3.3.2 et de 2.3.7.1 et où les morphismes horizontaux de droite se déduisent des morphismes traces canoniques.

**Lemme 2.3.9** Avec les notations et hypothèses de 2.3.3, on suppose  $P_0$  propre et  $X_0$  lisse.

Pour tout F-isocristal surconvergent E sur  $Y_0$ , on bénéficie d'un isomorphisme canonique commutant à Frobenius

$$H_{DR}^{\bullet}(\operatorname{sp}_{Y'^{\dagger} \hookrightarrow U'^{\dagger}, f^{-1}T_0, +}(b^*E)/K) \tilde{\rightarrow} H_{\operatorname{rig}}^{\bullet}(b^*(E)/K),$$

où  $\operatorname{sp}_{Y'^{\dagger} \hookrightarrow U'^{\dagger}, f^{-1}T_0, +}(b^*E)$  est muni de la structure canonique de Frobenius induite par celle de E (voir 2.3.7).

 $\begin{array}{l} \textit{D\'{e}monstration}. \ \ \text{Comme} \ d_Y = d_Y', \text{ on a lses isomorphismes} \ H^{\bullet}_{DR}(b^*E/K) \tilde{\rightarrow} \\ H^{\bullet}_{DR}(f_{T_0+} \mathrm{sp}_{Y'^{\dagger} \hookrightarrow U'^{\dagger}, f^{-1}T_0+}(b^*E)/K) \tilde{\rightarrow} H^{\bullet}_{DR}(\mathrm{sp}_{Y^{\dagger} \hookrightarrow U^{\dagger}, T_0+}(b_*b^*E)/K), \\ \text{le dernier r\'{e}sultant de 2.3.8. Comme} \ X_0 \ \text{est lisse, d'après 1.4.16, on dispose} \\ \text{de l'isomorphisme} \ \mathrm{sp}_{Y^{\dagger} \hookrightarrow U^{\dagger}, T_0, +}(b_*b^*E) \tilde{\rightarrow} \ \mathrm{sp}_{X_0 \hookrightarrow \mathcal{P}, T_0, +}(b_*b^*E), \ \text{celui-ci} \\ \end{array}$ 

commutant à Frobenius. Par descente cohomologique par un recouvrement ouvert, on vérifie

$$H_{DR}^{\bullet}(\operatorname{sp}_{X_0 \hookrightarrow \mathcal{P}, T_0, +}(b_*b^*E)/K) \tilde{\to} H_{\operatorname{rig}}^{\bullet}(b^*(E)/K).$$

**Proposition 2.3.10** Avec les notations 2.3.4, on suppose que  $Y_0 \hookrightarrow X_0$  se désingularise localement idéalement et  $P_0$  propre.

Pour tout F-isocristal surconvergent E sur  $Y_0$ , on bénéficie d'un isomorphisme canonique

$$H_{DR}^{\bullet}(\operatorname{sp}_{Y^{\dagger} \hookrightarrow U^{\dagger}, T_0, +}(E)/K) \tilde{\to} H_{\operatorname{rig}}^{\bullet}(E/K)$$

commutant à Frobenius.

*Démonstration*. Cela résulte de 2.3.9 en pratiquant de la descente cohomologique finie et étale appliquée au recouvrement  $Y'^{\dagger} \rightarrow Y^{\dagger}$ .

**2.3.11.** Soient  $P^{\dagger}$ ,  $P'^{\dagger}$  deux  $\mathcal{V}$ -schémas formels faibles lisses,  $T_0$  (resp.  $T'_0$ ) un diviseur de  $P_0$  (resp.  $P'_0$ ),  $U^{\dagger}$  (resp.  $U'^{\dagger}$ ) l'ouvert de  $P^{\dagger}$  (resp.  $P'^{\dagger}$ ) complémentaire de  $T_0$  (resp.  $T_0$ ),  $j:U^{\dagger}\hookrightarrow P^{\dagger}$  (resp.  $j':U'^{\dagger}\hookrightarrow P'^{\dagger}$ ) l'immersion ouverte et  $v:Y^{\dagger}\hookrightarrow U^{\dagger}$  (resp.  $v':Y'^{\dagger}\hookrightarrow U'^{\dagger}$ ) une immersion fermée de  $\mathcal{V}$ -schémas formels faibles. On suppose en outre  $Y^{\dagger}$  et  $Y'^{\dagger}$  affines et lisses et on désigne par  $X_0$  (resp.  $X'_0$ ) l'adhérence schématique de  $Y_0$  (resp.  $Y'_0$ ) dans  $P_0$  (resp.  $P'_0$ ).

(resp.  $Y_0'$ ) dans  $P_0$  (resp.  $P_0'$ ). On note  $P''^\dagger := P^\dagger \times P'^\dagger$ ,  $U''^\dagger := U^\dagger \times U'^\dagger$ ,  $T_0''$  le diviseur réduit d'espace topologique  $P_0'' \setminus U_0''$ ,  $Y''^\dagger := Y^\dagger \times Y'^\dagger$ ,  $f_1 : P''^\dagger \to P^\dagger$ ,  $f_2 : P''^\dagger \to P'^\dagger$ ,  $g_1 : U''^\dagger \to U^\dagger$ ,  $g_2 : U''^\dagger \to U'^\dagger$ ,  $b_1 : Y''^\dagger \to Y^\dagger$ ,  $b_2 : Y''^\dagger \to Y'^\dagger$ .

Si  $E \in \operatorname{Isoc}^{\dagger}(Y_0/K)$  et  $E' \in \operatorname{Isoc}^{\dagger}(Y'_0/K)$ , on pose  $E \boxtimes E' := b_1^*(E) \otimes_{A''^{\dagger}} b_2^*(E')$ , où  $A''^{\dagger} = \Gamma(Y'', \mathcal{O}_{Y''^{\dagger}})$ .

**Proposition 2.3.12** Avec les notations 2.3.11, on suppose que  $Y_0 \subset X_0$  et  $Y_0' \subset X_0'$  se désingularise idéalement.

On dispose alors d'un isomorphisme canonique

$$\operatorname{sp}_{Y''^{\dagger} \hookrightarrow U''^{\dagger}, T_0'' +}(E \boxtimes E') \tilde{\to} \operatorname{sp}_{Y^{\dagger} \hookrightarrow U^{\dagger}, T_0 +}(E) \underset{\mathcal{O}_{p''}(\dagger T'')_{\mathbb{Q}}}{\overset{\mathbb{L}}{\boxtimes}} {}^{\dagger} \operatorname{sp}_{Y'^{\dagger} \hookrightarrow U'^{\dagger}, T_0' +}(E').$$

Démonstration. Considérons les diagrammes

$$\begin{split} \widetilde{Y}^{\dagger} &\stackrel{\widetilde{v}}{\longrightarrow} \widetilde{U}^{\dagger} \stackrel{\widetilde{j}}{\longrightarrow} \widetilde{P}^{\dagger} \quad \widetilde{Y}'^{\dagger} \stackrel{\widetilde{v}'}{\longrightarrow} \widetilde{U}'^{\dagger} \stackrel{\widetilde{j}'}{\longrightarrow} \widetilde{P}'^{\dagger} \quad \widetilde{Y}''^{\dagger} \stackrel{\widetilde{v}''}{\longrightarrow} \widetilde{U}''^{\dagger} \stackrel{\widetilde{j}''}{\longrightarrow} \widetilde{P}''^{\dagger} \\ \downarrow_b \qquad \downarrow_g \qquad \downarrow_f \qquad \downarrow_{b'} \qquad \downarrow_{g'} \qquad \downarrow_{f'} \qquad \downarrow_{b''} \qquad \downarrow_{g''} \qquad \downarrow_{f''} \\ Y^{\dagger} \stackrel{v}{\longrightarrow} U^{\dagger} \stackrel{j}{\longrightarrow} P^{\dagger}, \qquad Y'^{\dagger} \stackrel{v'}{\longrightarrow} U'^{\dagger} \stackrel{j''}{\longrightarrow} P''^{\dagger}, \qquad Y''^{\dagger} \stackrel{v''}{\longrightarrow} U''^{\dagger} \stackrel{j''}{\longrightarrow} P''^{\dagger}, \\ (2.3.12.1) \end{split}$$

où les deux diagrammes de gauche sont construits de manière analogue à celui du début de la preuve de 2.3.5, celui de droite s'en déduisant en

posant  $\widetilde{Y}''^{\dagger}:=\widetilde{Y}^{\dagger}\times\widetilde{Y}'^{\dagger},\,\widetilde{U}''^{\dagger}:=\widetilde{U}^{\dagger}\times\widetilde{U}'^{\dagger},\,\widetilde{P}''^{\dagger}:=\widetilde{P}^{\dagger}\times\widetilde{P}'^{\dagger},\,b''=b\times b',\,f''=f\times f',\,v''_1=v_1\times v'_1\text{ et }j''_1=j_1\times j'_1\text{. On note }\widetilde{X}_0\text{ (resp. }\widetilde{X}'_0\text{) l'adhérence schématique de }\widetilde{Y}_0\text{ (resp. }\widetilde{Y}'_0\text{) dans celle de }\widetilde{P}_0\text{ (resp. }\widetilde{P}'_0\text{)},\,\widetilde{X}''_0:=\widetilde{X}_0\times\widetilde{X}'_0,\,\widetilde{f}_1:\widetilde{P}''^{\dagger}\to\widetilde{P}^{\dagger}\text{ et }\widetilde{f}_2:\widetilde{P}''^{\dagger}\to\widetilde{P}'^{\dagger},\,\widetilde{b}_1:\widetilde{Y}''^{\dagger}\to\widetilde{Y}'^{\dagger},\,\widetilde{b}_2:\widetilde{Y}''^{\dagger}\to\widetilde{Y}'^{\dagger},\,\widetilde{b}_2:\widetilde{Y}''^{\dagger}\to\widetilde{Y}'^{\dagger},\,\mathrm{De \ plus,\ on\ pose\ sp}_+:=\mathrm{sp}_{Y}^{\dagger}\hookrightarrow U^{\dagger},T_0+,\,\mathrm{sp}'_+:=\mathrm{sp}_{Y}^{\dagger}\hookrightarrow U^{\dagger},T_0+,\,\widetilde{sp}'_+:=\mathrm{sp}_{Y}^{\dagger}\hookrightarrow \widetilde{U}'^{\dagger},f'^{-1}(\widetilde{T}_0)+,\,\widetilde{sp}''_+:=\mathrm{sp}_{Y}^{\dagger}\hookrightarrow \widetilde{U}'^{\dagger},f'^{-1}(\widetilde{T}_0)+.$ 

Avec les mêmes arguments qui ont permis d'établir 2.3.5.2, on obtient  $\operatorname{sp}''_+(E\boxtimes E')\to \operatorname{sp}''_+b''_*b''^*(E\boxtimes E')\tilde{\to} f''_+(\widetilde{\operatorname{sp}}''_+b''^*(E\boxtimes E')).$  (2.3.12.2) Or.

$$\begin{split} \widetilde{\operatorname{sp}}_{+}^{\prime\prime}b^{\prime\prime*}(E\boxtimes E^{\prime}) & \widetilde{\to} \widetilde{\operatorname{sp}}_{+}^{\prime\prime}(b^{\prime\prime*}b_{1}^{*}E\otimes b^{\prime\prime*}b_{2}^{\prime*}E^{\prime}) \widetilde{\to} \widetilde{\operatorname{sp}}_{+}^{\prime\prime}(\tilde{b}_{1}^{*}b^{*}E\otimes \tilde{b}_{2}^{*}b^{\prime*}E^{\prime}) \\ & \widetilde{\to} (\widetilde{\operatorname{sp}}_{+}^{\prime\prime}(\tilde{b}_{1}^{*}b^{*}E)) \overset{\mathbb{L}}{\otimes}_{\mathcal{O}_{\widetilde{\mathcal{p}}^{\prime\prime}}(^{\dagger}\widetilde{\mathcal{p}}^{\prime\prime})_{\mathbb{Q}}}^{\dagger} \widetilde{\operatorname{sp}}_{+}^{\prime\prime}(\tilde{b}_{2}^{*}b^{*}E^{\prime})[d\tilde{\chi}_{0}^{\prime\prime}/\tilde{\rho}_{0}^{\prime\prime}] \\ & \widetilde{\to} \tilde{f}_{1}^{!}(\widetilde{\operatorname{sp}}_{+}(b^{*}E)) \overset{\mathbb{L}}{\otimes}_{\mathcal{O}_{\widetilde{\mathcal{p}}^{\prime\prime}}(^{\dagger}\widetilde{\mathcal{p}}^{\prime\prime})_{\mathbb{Q}}}^{\dagger} \tilde{f}_{2}^{!}(\widetilde{\operatorname{sp}}_{+}^{\prime}(b^{\prime*}E^{\prime}))[d\tilde{\chi}_{0}^{\prime\prime}/\tilde{\rho}_{0}^{\prime\prime}] \\ & \widetilde{\to} \tilde{f}_{1}^{!}\mathbb{R}\underline{\Gamma}_{X_{0}}^{\dagger}f^{!}\operatorname{sp}_{+}(E) \overset{\mathbb{L}}{\otimes}_{\mathcal{O}_{\widetilde{\mathcal{p}}^{\prime\prime}}(^{\dagger}\widetilde{\mathcal{p}}^{\prime\prime})_{\mathbb{Q}}}^{\dagger} \tilde{f}_{2}^{!}\mathbb{R}\underline{\Gamma}_{X_{0}^{\prime}}^{\dagger}f^{\prime!}\operatorname{sp}_{+}^{\prime}(E^{\prime}))[-d\tilde{\rho}_{0}^{\prime\prime}] \\ & \widetilde{\to} \mathbb{R}\underline{\Gamma}_{X_{0}^{\prime}}^{\dagger}\tilde{f}_{1}^{!}f^{!}\operatorname{sp}_{+}(E) \overset{\mathbb{L}}{\otimes}_{\mathcal{O}_{\widetilde{\mathcal{p}^{\prime\prime}}}(^{\dagger}\widetilde{\mathcal{p}}^{\prime\prime})_{\mathbb{Q}}}^{\dagger} \mathbb{R}\underline{\Gamma}_{P_{0}^{\prime}}^{\dagger}\tilde{\chi}_{0}^{\prime}\tilde{f}_{2}^{!}f^{\prime!}\operatorname{sp}_{+}^{\prime}(E^{\prime}))[-d\tilde{\rho}_{0}^{\prime\prime}] \\ & \mathbb{R}\underline{\Gamma}_{X_{0}^{\prime\prime}}^{\dagger}f^{\prime\prime!}(f_{1}^{!}\operatorname{sp}_{+}(E) \overset{\mathbb{L}}{\otimes}_{\mathcal{O}_{\mathcal{p}^{\prime\prime}}(^{\dagger}T^{\prime\prime\prime})_{\mathbb{Q}}^{\prime}f_{2}^{!}\operatorname{sp}_{+}^{\prime}(E^{\prime}))[-d\tilde{\rho}_{0}^{\prime\prime}] \\ & = \mathbb{R}\underline{\Gamma}_{X_{0}^{\prime\prime}}^{\dagger}f^{\prime\prime!}(\operatorname{sp}_{+}(E) \overset{\mathbb{L}}{\boxtimes}_{\mathcal{O}_{\mathcal{p}^{\prime\prime}}(^{\dagger}T^{\prime\prime\prime})_{\mathbb{Q}}^{\dagger}\operatorname{sp}_{+}^{\prime}(E^{\prime})) \end{aligned}$$

où 2.3.12.3 se déduit de 2.1.5, 2.3.12.4 résulte de [Car04a], 2.3.12.5 découle de 1.4.17 et 2.3.5 En lui appliquant  $f''_+$  on obtient :

$$f''_{+}(\widetilde{\operatorname{sp}}''_{+}b''^{*}(E\boxtimes E'))\tilde{\to}f''_{+}\mathbb{R}\underline{\varGamma}^{\dagger}_{\widetilde{X}''_{0}}f''^{!}(\operatorname{sp}_{+}(E)\overset{\mathbb{L}}{\boxtimes}^{\dagger}_{\mathfrak{O}_{p''}(^{\dagger}T'')_{\mathbb{Q}}}\operatorname{sp}'_{+}(E')).$$
(2.3.12.7)

En composant 2.3.12.2, 2.3.12.7 avec le morphisme trace

$$f''_+ \mathbb{R} \underline{\Gamma}_{\widetilde{X}_0''}^{\dagger} f''^! (\operatorname{sp}_+(E) \overset{\mathbb{L}}{\boxtimes}_{\mathcal{O}_{\mathcal{P}''}(^{\dagger}T'')_{\mathbb{Q}}}^{\dagger} \operatorname{sp}'_+(E')) \to \operatorname{sp}_+(E) \overset{\mathbb{L}}{\boxtimes}_{\mathcal{O}_{\mathcal{P}''}(^{\dagger}T'')_{\mathbb{Q}}}^{\dagger} \operatorname{sp}'_+(E')$$
, on obtient

$$\operatorname{sp}''_{+}(E \boxtimes E') \to \operatorname{sp}_{+}(E) \overset{\mathbb{L}}{\boxtimes}^{\dagger}_{\mathcal{O}_{\mathcal{P}''}(\dagger T'')_{\mathbb{Q}}} \operatorname{sp}'_{+}(E'). \tag{2.3.12.8}$$

Comme 2.3.12.8 est un morphisme de  $\mathfrak{D}^{\dagger}_{\mathcal{P}''}(^{\dagger}T'')_{\mathbb{Q}}$ -modules cohérents, il suffit de le vérifier au dessus de  $\mathfrak{U} \times \mathfrak{U}'$ , ce qui découle de 2.1.5 et de 1.4.4.

**Corollaire 2.3.13** Avec les notations et hypothèses de 2.3.12, pour tous  $E_1, E_2 \in \operatorname{Isoc}^{\dagger}(Y_0/K)$ , en notant  $\operatorname{sp}_+ = \operatorname{sp}_{Y^{\dagger} \hookrightarrow U^{\dagger}, T_0 +}$ , on dispose d'un isomorphisme canonique :

$$\operatorname{sp}_{+}(E_{1} \otimes E_{2}) \tilde{\to} \operatorname{sp}_{+}(E_{1}) \overset{\mathbb{L}}{\otimes}^{\dagger}_{\mathcal{O}_{\mathfrak{D}}(^{\dagger}T)_{0}} \operatorname{sp}_{+}(E_{2})[d_{X/P}].$$

Démonstration. D'après 2.3.12 appliqué au cas particulier où les objets avec des primes sont égaux à ceux sans primes, on dispose de l'isomorphisme :

$$\operatorname{sp}_{Y''^{\dagger} \hookrightarrow U''^{\dagger}, T_0''^{\dagger}}(E_1 \boxtimes E_2) \tilde{\to} \operatorname{sp}_{+}(E_1) \overset{\mathbb{L}}{\boxtimes}_{\mathfrak{O}_{p''}(^{\dagger}T'')_{\mathbb{Q}}}^{\dagger} \operatorname{sp}_{+}(E_2).$$

Or, en notant  $\delta$  l'immersion diagonale  $\mathcal{P}\hookrightarrow_{\mathbb{L}}\mathcal{P}\times\mathcal{P}=\mathcal{P}''$ , on obtient :  $\delta^!(\mathrm{sp}_+(E_1)\boxtimes_{\mathcal{O}_{\mathcal{P}''}(^\dagger T'')_{\mathbb{Q}}}^\dagger \mathrm{sp}_+(E_2))\tilde{\to} \mathrm{sp}_+(E_1)\boxtimes_{\mathcal{O}_{\mathcal{P}}(^\dagger T)_{\mathbb{Q}}}^\dagger \mathrm{sp}_+(E_2)[-d_{P_0}]$ . Or, d'après 1.4.17

$$\delta^!(\operatorname{sp}_{Y''^{\dagger}\hookrightarrow U''^{\dagger},T_0''+}(E_1\boxtimes E_2))\tilde{\to}\operatorname{sp}_+(E_1\otimes E_2)[-d_{X_0}].$$

D'où le résultat. □

**2.3.14.** On garde les notations et hypothèses de 2.3.4. On suppose que  $P^{\dagger}$  est propre et que  $Y_0 \subset X_0$  se désingularise idéalement.

Le foncteur  $\operatorname{sp}_{Y^\dagger \hookrightarrow U^\dagger, T_0+}$  ne dépend ni du choix de  $P^\dagger$  ni de celui de v:  $Y^\dagger \hookrightarrow U^\dagger$  choisis de telle façon que  $Y_0 \subset X_0$  se désingularise idéalement. De plus, cette indépendance est compatible avec l'équivalence canonique entre les catégories de la forme  $F\operatorname{-Isoc}^{\dagger\dagger}(\mathcal{P},T_0,X_0/K)$ . En effet, en utilisant  $P^\dagger \times P'^\dagger$ , cela découle de 1.4.17. On obtient alors un foncteur  $\operatorname{sp}_{Y_0+}:F\operatorname{-Isoc}^\dagger(Y_0/K) \to F\operatorname{-Isoc}^\dagger(Y_0/K)$ , bien défini à isomorphisme canonique près.

**Théorème 2.3.15** On garde les notations et hypothèses de 2.3.14.

Les foncteurs  $\operatorname{sp}_{Y_0+}: F\operatorname{-Isoc}^\dagger(Y_0/K) \to F\operatorname{-Isoc}^{\dagger\dagger}(Y_0/K)$  et  $\rho_{Y_0}$  (voir 2.2.16) sont des équivalences quasi-inverses.

*Démonstration*. Cela résulte de 2.2.17, de 2.3.6, de 2.2.10 et du fait que le foncteur  $F\operatorname{-Isoc}^{\dagger}(Y/K) \to F\operatorname{-Isoc}(Y/K)$  est pleinement fidèle ([Ked04]).

**Proposition 2.3.16** Avec les notations 2.3.4, on suppose  $X_0$  intègre.

Il existe alors un diviseur  $\widetilde{T}_0$  de  $P_0$  contenant  $T_0$  tel que  $\widetilde{Y}_0 := (P_0 \setminus \widetilde{T}_0) \cap X_0$  soit affine, dense dans  $Y_0$  et l'immersion ouverte  $\widetilde{Y}_0 \hookrightarrow X_0$  se désingularise idéalement.

Démonstration. Grâce au théorème de désingularisation de de Jong ([dJ96]) et quitte à remplacer  $Y_0$  par un ouvert affine et dense, il existe un morphisme projectif et surjectif  $a_0: X_0' \to X_0$ , qui se décompose en une immersion fermée  $X_0' \hookrightarrow \mathbb{P}_{X_0}^r$  suivie de la projection canonique  $\mathbb{P}_{Y_0}^r \to Y_0$ , tel que

- 1.  $X'_0$  est intègre et lisse;
- 2. le morphisme  $b_0: Y_0':=a_0^{-1}(X_0) \to Y_0$  induit par  $a_0$  est fini et étale. Il reste à vérifier que quitte à rétrécir à nouveau  $Y_0$ , la propriété 3 de 2.3.1 est validée. Notons  $v_0'$  l'immersion fermée  $Y_0' \to \mathbb{P}_{Y_0}^r$ . On conserve les notations de 2.3.1. Si  $x_0, \ldots, x_r$  sont les coordonnées projectives de  $\mathbb{P}_k^r$ ,

on note, pour tout entier  $\alpha \in \{1,\dots,r\}$ ,  $D_{\alpha}$  le diviseur de  $\mathbb{P}^r_k$  défini par l'équation  $x_{\alpha}=0$  et  $D_{\alpha,Y_0}:=D_{\alpha}\times_{\mathbb{P}^r_k}\mathbb{P}^r_{Y_0}$ . Comme l'intersection des diviseurs  $D_{\alpha,Y_0}$  est vide, il existe un entier  $\alpha_0$  tel que  $v_0'(Y_0')$  ne soit pas inclus dans  $D_{\alpha_0,Y_0}$ . Comme Y' est intègre, on obtient  $\dim Y_0'\cap D_{\alpha_0,Y_0}<\dim Y_0'$ . Via [Gro65, 5.4.2], la finitude de  $b_0$  implique l'égalité  $\dim b_0(Y_0'\cap D_{\alpha_0,Y_0})=\dim Y_0'\cap D_{\alpha_0,Y_0}$ . Comme  $b_0$  est en outre surjectif, on a aussi  $\dim Y_0'=\dim Y_0$  et donc  $\dim b_0(Y_0'\cap D_{\alpha_0,Y_0})<\dim Y_0$ . Il résulte de cette dernière inégalité qu'il existe un diviseur  $T_0$  de  $P_0$  tel que l'ouvert  $(P_0\setminus T_0)\cap X_0$  de  $X_0$  soit affine et inclus dans  $Y_0\setminus b_0(Y_0'\cap D_{\alpha_0,Y_0})$ .

Posons  $\widetilde{T}_{X_0} = \widetilde{T}_0 \cap X_0$  et  $\widetilde{T}_{X_0'} := a_0^{-1}(\widetilde{T}_{X_0})$ . L'inclusion  $b_0(Y_0' \cap D_{\alpha_0,Y_0}) \subset \widetilde{T}_{X_0}$  (resp.  $X_0 \setminus \widetilde{T}_{X_0} \subset Y_0$ ) implique alors  $Y_0' \cap D_{\alpha_0,Y_0} \subset \widetilde{T}_{X_0'}$  (resp.  $X_0' \setminus \widetilde{T}_{X_0'} \subset Y_0'$ ). Il en résulte la factorisation  $X_0' \setminus T_{X_0'} \hookrightarrow (\mathbb{P}^r \setminus D_{\alpha_0}) \times_{\operatorname{Spec} k} X_0 \setminus \widetilde{T}_{X_0}$ . Celle-ci se relève en un morphisme de V-schémas formels faibles lisses. Il en découle que le morphisme canonique  $X_0' \setminus \widetilde{T}_{X_0'} \to \mathbb{P}^r_{X_0 \setminus \widetilde{T}_{X_0}}$  se relève en un morphisme de V-schémas formels faibles lisses. L'immersion ouverte  $X_0 \setminus \widetilde{T}_{X_0} \hookrightarrow X_0$  se désingularise donc idéalement.

**Définition 2.3.17.** Soit  $Y_0$  un k-schéma affine et lisse. On dit que  $Y_0$  possède un modèle idéal s'il existe un  $\mathcal{V}$ -schéma formel faible propre et lisse  $P^{\dagger}$ , un diviseur  $T_0$  de  $P_0$ , un sous-schéma fermé  $X_0$  de  $P_0$  tel que  $Y_0 \overset{\sim}{\to} X_0 \setminus T_0$  et l'immersion ouverte  $Y_0 \hookrightarrow X_0$  se désingularise idéalement.

D'après 2.3.15, si  $Y_0$  est un k-schéma affine, lisse et possédant un modèle idéal, le foncteur F-Isoc $^{\dagger\dagger}(Y_0/K) \to F$ -Isoc $^{\dagger}(Y_0/K)$  (2.2.16) est une équivalence de catégorie.

**Théorème 2.3.18** Soit  $Y_0$  un k-schéma lisse. Il existe  $\widetilde{Y}_0$  un ouvert affine, dense dans  $Y_0$ , possédant un modèle idéal et, en particulier, le foncteur canonique F-Isoc $^{\dagger\dagger}(\widetilde{Y}_0/K) \to F$ -Isoc $^{\dagger}(\widetilde{Y}_0/K)$  est une équivalence de catégorie.

Démonstration. Il ne coûte rien de supposer  $Y_0$  affine, lisse et intègre. Grâce à Elkik ([Elk73]), il existe un  $\mathcal{V}$ -schéma affine et lisse Y dont la réduction modulo  $\pi$  est isomorphe à  $Y_0$ . Il existe alors une immersion fermée  $Y \hookrightarrow \mathbb{A}^r_{\mathcal{V}}$ . On note  $P := \mathbb{P}^r_{\mathcal{V}}$ ,  $U := \mathbb{A}^r_{\mathcal{V}}$ , X l'adhérence schématique de Y dans  $\mathbb{P}^r_{\mathcal{V}}$  et  $T := P \setminus U$ , on obtient une immersion fermée  $Y^\dagger \hookrightarrow U^\dagger$  de  $\mathcal{V}$ -schémas formels faibles lisses.

Par 2.3.16, il existe un diviseur  $T_0$  de  $P_0$  contenant  $T_0$  tel que, en notant  $\widetilde{Y}$  l'ouvert de Y complémentaire de  $T_0$ ,  $\widetilde{Y}_0$  soit affine et dense dans  $Y_0$  et  $\widetilde{Y}_0 \subset X_0$  se désingularise idéalement. Notons  $\widetilde{U} := U \setminus T_0$ . L'immersion fermée  $Y \hookrightarrow U$  induit la suivante  $\widetilde{Y}^{\dagger} \hookrightarrow \widetilde{U}^{\dagger}$ .

# 3. F-complexes de $\mathcal{D}$ -modules arithmétiques dévissables

3.1. Définitions et lien avec la surholonomie

Dans cette section,  $\mathcal P$  est un  $\mathcal V$ -schéma formel propre et lisse et T est un diviseur de P.

**Définition 3.1.1.** Soient  $\mathcal{E}$  un objet de F- $D^{\mathrm{b}}_{\mathrm{coh}}(\mathcal{D}^{\dagger}_{\mathcal{P}}(^{\dagger}T)_{\mathbb{Q}})$ , X son support et  $Y:=X\setminus T$ . On dit que  $\mathcal{E}$  se dévisse en F-isocristaux surconvergents s'il existe des diviseurs  $T_1,\ldots,T_{r+1}$  de P contenant T tels que

- 1.  $Y_1 = X \setminus T_1$  est affine, lisse, intègre et possède un modèle idéal ;
- 2. Pour  $1 \le i \le r$ ,  $Y_{i+1} := (X \cap T_1 \cap \cdots \cap T_i) \setminus T_{i+1}$ , est affine, lisse et intègre et possède un modèle idéal;
- 3. Le sous-schéma fermé  $Y_{r+1} := X \cap T_1 \cap \cdots \cap T_{r+1}$  est lisse ;
- 4. Les espaces de cohomologie de  $({}^{\dagger}T_1)(\mathcal{E})$  sont associés à des F-isocristaux surconvergents sur  $Y_1$ , i.e., sont des objets de F-Isoc ${}^{\dagger\dagger}(\mathcal{P}, T_1, X/K)$  (voir 2.3.15);
- 5. Les espaces de cohomologie de  $\mathbb{R}\underline{\Gamma}_{T_1\cap\cdots\cap T_i}^{\dagger}({}^{\dagger}T_{i+1})(\mathcal{E})$  sont associés à des F-isocristaux surconvergents sur  $Y_i$ , i.e., sont des objets de F-Isoc $^{\dagger\dagger}(\mathcal{P}, T_{i+1}, X \cap T_1 \cap \cdots \cap T_i/K)$ ;
- 6. Les espaces de cohomologie de  $\mathbb{R}\underline{\varGamma}_{T_1\cap\cdots\cap T_{r+1}}^\dagger(\mathcal{E})$  sont associés via [Car] à des F-isocristaux sur  $X\cap T_1\cap\cdots\cap T_{r+1}\setminus T$ .

En gros, on dispose d'une stratification  $Y = \bigcup_{i=1,\dots r+1} Y_i$ , telle que, les espaces de cohomologie de la restriction de  $\mathcal E$  au-dessus de chaque strate  $Y_i$  soient associés à des F-isocristaux surconvergents sur  $Y_i$ . On dira aussi que  $\mathcal E$  est un F- $\mathcal D_{\mathcal P}^\dagger(^\dagger T)_{\mathbb Q}$ -complexe  $d\acute{e}vissable$  ou se  $d\acute{e}visse$  au-dessus de la stratification  $Y = \bigcup_{i=1,\dots r+1} Y_i$ . On notera F- $D_{\mathrm{d\acute{e}v}}^\mathrm{b}(\mathcal D_{\mathcal P}^\dagger(^\dagger T)_{\mathbb Q})$  la souscatégorie pleine de F- $D_{\mathrm{coh}}^\mathrm{b}(\mathcal D_{\mathcal P}^\dagger(^\dagger T)_{\mathbb Q})$  des F- $\mathcal D_{\mathcal P}^\dagger(^\dagger T)_{\mathbb Q}$ -complexes dévissables.

**Proposition 3.1.2** Soit  $(\mathcal{E}, \Phi) \in F\text{-}D^b_{d\acute{e}\nu}(\mathfrak{D}^\dagger_{\mathfrak{P}}(^\dagger T)_{\mathbb{Q}})$ . Les espaces de cohomologie de  $f_{T+}(\mathcal{E})$  sont des K-espaces vectoriels de dimension finie.

*Démonstration*. Cela découle par dévissage de 2.3.10 et de la finitude la cohomologie rigide [Keda]. □

**Remarques 3.1.3** Soit  $\mathcal{E} \in D^{\mathrm{b}}_{\mathrm{coh}}(\mathfrak{D}^{\dagger}_{\mathfrak{P}}(^{\dagger}T)_{\mathbb{Q}})$ . Les deux propriétés ci-après sont équivalentes :

- (a) Pour tout diviseur T' de P,  $\mathbb{D}_{\mathfrak{P},T}(^{\dagger}T')(\mathcal{E}) \in D^{\mathrm{b}}_{\mathrm{surcoh}}(\mathfrak{D}^{\dagger}_{\mathfrak{P}}(^{\dagger}T)_{\mathbb{Q}})$ ;
- (b) Pour tous sous-schémas fermés Z et Z' de P,  $\mathbb{D}_{\mathcal{P},T}\mathbb{R}\underline{\Gamma}_Z^\dagger(^\dagger Z')(\mathcal{E})$  est un objet de  $D^{\mathrm{b}}_{\mathrm{surcoh}}(\mathbb{D}_{\mathcal{P}}^\dagger(^\dagger T)_{\mathbb{Q}})$ ;

En effet, supposons que  $\mathcal{E}$  satisfasse (a). En utilisant le dualisé du triangle de localisation en  $T_1$  de  $\mathbb{R}\underline{\Gamma}_{Z_1}^{\dagger}({}^{\dagger}T_2)(\mathcal{E})$  suivant

$$\mathbb{R}\underline{\varGamma}_{T_1\cap Z_1}^{\dagger}({}^{\dagger}T_2)(\mathcal{E}) \to \mathbb{R}\underline{\varGamma}_{Z_1}^{\dagger}({}^{\dagger}T_2)(\mathcal{E}) \to \mathbb{R}\underline{\varGamma}_{Z_1}^{\dagger}({}^{\dagger}T_1\cup T_2)(\mathcal{E}) \to +1$$

valable pour tout sous-schéma fermé  $Z_1$ , et tous diviseurs  $T_1$  et  $T_2$ , on vérifie d'abord par récurrence sur le nombre minimal de diviseurs d'intersection Z (on convient que celui-ci est nul lorsque Z=X), que, pour tout sous-schéma fermé Z et tout diviseur T', le complexe  $\mathbb{D}_{\mathbb{P},T}\mathbb{R}\underline{\Gamma}_Z^{\dagger}(^{\dagger}T')(\mathcal{E})$  appartient à  $D_{\mathrm{surcoh}}^{\flat}(\mathcal{D}_{\mathbb{P}}^{\dagger}(^{\dagger}T)_{\mathbb{Q}})$ . Ensuite, en appliquant le foncteur  $\mathbb{D}_{\mathbb{P},T}$  au triangle de localisation en Z' de  $\mathbb{R}\underline{\Gamma}_Z^{\dagger}(\mathcal{E})$ , on prouve que la propriété (b) est validée pour  $\mathcal{E}$ . La réciproque est une tautologie.

Ils résultent des équivalences entre (a) et (b) que la propriété (a) est préservée, pour tout sous-schéma fermé Z de P, par les foncteurs  $\mathbb{R}\underline{\Gamma}_Z^{\dagger}$  est  $({}^{\dagger}Z)$ .

**Théorème 3.1.4** Soit  $\mathcal{E} \in F$ - $D^{\mathrm{b}}_{\mathrm{coh}}(\mathfrak{D}^{\dagger}_{\mathfrak{P}}(^{\dagger}T)_{\mathbb{Q}})$ . On suppose que pour tout diviseur T' de P,  $\mathcal{E}$  et  $\mathbb{D}_{\mathfrak{P},T}(^{\dagger}T')(\mathcal{E})$  sont dans F- $D^{\mathrm{b}}_{\mathrm{surcoh}}(\mathfrak{D}^{\dagger}_{\mathfrak{P}}(^{\dagger}T)_{\mathbb{Q}})$ . Alors  $\mathcal{E}$  se dévisse en F-isocristaux surconvergents.

Démonstration. On procède à une récurrence sur la dimension de X, le support de  $\mathcal{E}$ . Via 2.3.18, il existe un diviseur  $T_1$  contenant T tel que  $Y_1 := X \setminus T_1$  soit affine, lisse et dense dans X et possède un modèle idéal. Notons  $u: \mathcal{Y}_1 \hookrightarrow \mathcal{P}$  un relèvement de l'immersion  $Y_1 \hookrightarrow P$ . Comme le faisceau  $u^!(\mathcal{E})$  étant  $\mathcal{D}_{\mathcal{Y}_1,\mathbb{Q}}^{\dagger}$ -surcohérent, quitte à remplacer  $T_1$  par un diviseur plus grand, on peut supposer que  $u^!(\mathcal{E})$  est  $\mathcal{O}_{\mathcal{Y}_1,\mathbb{Q}}$ -cohérente ([Car03]). Ainsi,  $(^{\dagger}T_1)(\mathcal{E}) \in F$ -Isoc $^{\dagger\dagger}(\mathcal{P},T_1,X/K)$ . Grâce à la remarque 3.1.3 et comme la dimension de  $X \cap T_1$  est strictement inférieure à celle de X, par hypothèse de récurrence,  $\mathbb{R}\underline{\mathcal{F}}_{T_1}^{\dagger}(\mathcal{E})$  se dévisse en F-isocristaux surconvergents. D'où le résultat.

Le théorème 3.1.4 implique aussitôt l'inclusion ci-après.

**Théorème 3.1.5** On a l'inclusion 
$$F$$
- $D^{\mathrm{b}}_{\mathrm{surhol}}(\mathcal{D}^{\dagger}_{\mathfrak{P},\mathbb{Q}}) \subset F$ - $D^{\mathrm{b}}_{d\acute{e}v}(\mathcal{D}^{\dagger}_{\mathfrak{P},\mathbb{Q}})$ .

**Conjecture 3.1.6.** Il est raisonnable de penser que l'inclusion 3.1.5 est une égalité. Cela résulte aussitôt de la conjecture suivante :

« Soit Y un k-schéma affine, lisse, intègre et possédant un bon modèle. Pour tout F-isocristal surconvergent sur Y,  $\operatorname{sp}_{Y+}(E)$  est un F- $\mathcal{D}_Y$ -module arithmétique surholonome (voir [Car, 1.2.7]). »

**Remarques 3.1.7** Si la conjecture de Berthelot [Ber02, 5.3.6.D] sur la stabilité de l'holonomie est vraie alors la conjecture 3.1.6 l'est aussi. De plus, le théorème qui suit nous permet de penser que 3.1.6 est réaliste.

**Théorème 3.1.8** Soit Y un k-schéma affine, lisse, intègre et possédant un bon modèle. Pour tout F-isocristal unité surconvergent sur Y,  $\operatorname{sp}_{Y+}(E)$  est un F- $\mathbb{D}_Y$ -module arithmétique surholonome.

*Démonstration*. Grâce à 2.2.3, on peut supposer que la compactification est lisse, ce qui a été traité dans [Car04a, 2.3.2]. □

**Théorème 3.1.9** Si la conjecture 3.1.6 est validée, alors la catégorie des complexes de F- $\mathbb{D}_Y$ -modules arithmétiques surholonomes, F- $D^{\mathrm{b}}_{\mathrm{surhol}}(\mathbb{D}_Y)$ , est stable par produit tensoriel interne.

Démonstration. Cela découle de 2.3.13 et de l'égalité F- $D^{\mathrm{b}}_{\mathrm{surhol}}(\mathcal{D}_Y) = F$ - $D^{\mathrm{b}}_{\mathrm{dév}}(\mathcal{D}_{\mathcal{P},\mathbb{O}}^{\dagger})$  vérifiée par hypothèse.  $\square$ 

**Proposition 3.1.10** Soient  $\mathcal{E}, \mathcal{E}' \in F\text{-}D^b_{\mathrm{coh}}(\mathfrak{D}^{\dagger}_{\mathfrak{P}}(^{\dagger}T)_{\mathbb{Q}})$ . On suppose que, pour tout diviseur T' de P, les faisceaux  $\mathcal{E}$ , et  $\mathbb{D}_{\mathfrak{P},T}(^{\dagger}T')(\mathcal{E})$  sont des objets de  $F\text{-}D^b_{\mathrm{surcoh}}(\mathfrak{D}^{\dagger}_{\mathfrak{P}}(^{\dagger}T)_{\mathbb{Q}})$  et de même pour  $\mathcal{E}'$ .

Si  $\mathcal{E}|_{\mathfrak{U}}$  et  $\mathcal{E}'|_{\mathfrak{U}}$  sont isomorphes, alors  $\mathcal{E}$  et  $\mathcal{E}'$  sont isomorphes.

Démonstration. Notons X la réunion des supports de  $\mathcal{E}$  et  $\mathcal{E}', \mathfrak{U} := \mathfrak{P} \setminus T$  et  $Y := X \setminus T$ . On procède à une récurrence sur la dimension de X. De manière analogue à la preuve de 3.1.4, il existe un diviseur  $T_1$  contenant T tel que  $Y_1 := X \setminus T_1$  soit affine, lisse et dense dans X et possède un modèle idéal et tel que les espaces de cohomologie de  $(^{\dagger}T_1)(\mathcal{E}), (^{\dagger}T_1)(\mathcal{E}')$  soient des objets de F-Isoc $^{\dagger\dagger}(\mathcal{P}, T_1, X/K)$ . Comme le foncteur canonique F-Isoc $^{\dagger}(Y_1/K) \to F$ -Isoc $^{\dagger}(Y_1, Y/K)$  est pleinement fidèle ([Ked04]), le foncteur restriction  $|_{\mathfrak{U}} : F$ -Isoc $^{\dagger\dagger}(\mathcal{P}, T_1, X/K) \to F$ -Isoc $^{\dagger}(\mathfrak{U}, T_1 \cap U, Y/K)$  (notations 1.4.6) l'est aussi. Comme  $(^{\dagger}T_1)(\mathcal{E})|_{\mathfrak{U}} \tilde{\to} (^{\dagger}T_1)(\mathcal{E}')|_{\mathfrak{U}}$ , il en résulte  $(^{\dagger}T_1)(\mathcal{E}) \tilde{\to} (^{\dagger}T_1)(\mathcal{E}')$ . Avec la remarque 3.1.3 et puisque dim  $X \cap T_1 < \dim X$ , par hypothèse de récurrence,  $\mathbb{R}\underline{\Gamma}_{T_1}^{\dagger}(\mathcal{E}) \tilde{\to} \mathbb{R}\underline{\Gamma}_{T_1}^{\dagger}(\mathcal{E}')$ . On conclut grâce aux triangles de localisation en  $T_1$  de  $\mathcal{E}$  et  $\mathcal{E}'$  qui sont par conséquent isomorphes.  $\square$ 

### 3.2. Application aux fonctions L

**3.2.1.** On suppose ici  $k = \mathbb{F}_q$  où  $q = p^s$ . On se donne  $\mathcal{P}$  un  $\mathcal{V}$ -schéma formel propre et lisse, T un diviseur de P,  $\mathfrak{U}$  l'ouvert de  $\mathcal{P}$  complémentaire de T et  $j: \mathfrak{U} \hookrightarrow \mathcal{P}$  l'immersion ouverte correspondante.

Si x est un point fermé de P, on désigne par k(x) le corps résiduel de x,  $\deg x$  son degré,  $i_x: \mathbb{S}(x) = \operatorname{Spf} \mathcal{V}(x) \hookrightarrow \mathcal{P}$  un relèvement  $\mathcal{V}$ -linéaire de l'immersion fermée canonique  $\operatorname{Spec} k(x) \hookrightarrow P$ , K(x) le corps des fractions de  $\mathcal{V}(x)$  et  $f_x: \mathbb{S}(x) \to \mathbb{S}$  le morphisme structural.

La définition des fonctions L (voir [Car03] ou [Car04b]) s'étend aux duaux des F-complexes dévissables :

**Définition 3.2.2.** On note F- $D_{\text{dév}}^{\text{b*}}(\mathcal{D}_{\mathcal{P}}^{\dagger}(^{\dagger}T)_{\mathbb{Q}})$ , la sous-catégorie pleine de F- $D_{\text{coh}}^{\text{b}}(\mathcal{D}_{\mathcal{P}}^{\dagger}(^{\dagger}T)_{\mathbb{Q}})$  des complexes  $\mathcal{E}$  tels que  $\mathbb{D}_{T}(\mathcal{E}) \in F$ - $D_{\text{dév}}^{\text{b}}(\mathcal{D}_{\mathcal{P}}^{\dagger}(^{\dagger}T)_{\mathbb{Q}})$ .

Soient S est un sous-ensemble de Y,  $S^0$  l'ensemble des points fermés de S et  $\mathcal{E} \in F\text{-}D^{\mathrm{b}*}_{\mathrm{dév}}(\mathcal{D}^{\dagger}_{\mathcal{P}}(^{\dagger}T)_{\mathbb{Q}})$ . La fonction L associée à  $\mathcal{E}$  au dessus de S est définie en posant :

$$L(S, \mathcal{E}, t) = \prod_{x \in S^0} \prod_{r \in \mathbb{Z}} \det_K \left( 1 - t^{\deg x} F_{|H^r(f_{x+}i_{x,T}^+(\mathcal{E}))}^{\deg x} \right)^{(-1)^{r+1+d_X/\deg x}}.$$

De plus, sa fonction cohomologique P s'écrit :

$$P(\mathfrak{U}, \mathcal{E}, t) := \prod_{r \in \mathbb{Z}} \det_K \left( 1 - t F_{|H^r(f_{T,!}\mathcal{E})} \right)^{(-1)^{r+1+d_X}}.$$

On remarque que grâce à 3.1.2, cette fonction a bien un sens et est de surcroît une fraction rationnelle.

**3.2.3.** Soient X un sous-schéma fermé de P et  $Y:=X\setminus T$  tels que  $Y\subset X$  se désingularise localement idéalement, et E un F-isocristal sur Y surconvergent le long de T.

Pour tout point fermé x de Y, soient  $E_x := H^0_{\mathrm{rig}}(\operatorname{Spec} k(x), i_{x,K}^* E)$  la fibre de E en x et  $F_{|E_x}$  son automorphisme de Frobenius.

Dans [ÉLS93, 2.3], la fonction L associée à E est donnée par

$$L(Y, E, t) := \prod_{x \in Y^0} \det_K (1 - t^{\deg x} F_{|E_x}^{\deg x})^{-1/\deg x}.$$

Lemme 3.2.4 Avec les notations 3.2.3, on a l'égalité :

$$L(Y, E^{\vee}, t) = L(\mathcal{Y}, \mathbb{D}_{\mathcal{P}, T}(\operatorname{sp}_{Y+} E), t).$$

Démonstration. Analogue à [Car03, 3.3.1].

**Proposition 3.2.5** Avec les notations 3.2.3, on pose  $\mathcal{E} := \mathbb{D}_{\mathcal{P},T}(\operatorname{sp}_{Y+}E)$ . L'égalité  $L(\mathfrak{U},\mathcal{E},t) = P(\mathfrak{U},\mathcal{E},t)$  est satisfaite.

*Démonstration*. De manière analogue à [Car03, 3.3.3], cela découle de 2.3.10, 3.2.4 et de la formule cohomologique d'Étesse et Le Stum :

$$L(Y, E^{\vee}, t) = \prod_{r=0}^{2d_{\mathfrak{X}}} \det_{K} (1 - tq^{d_{\mathfrak{X}}} F_{|H_{\mathrm{rig}}^{r}(Y, E)}^{-1})^{(-1)^{r+1}}. \square$$
 (3.2.5.1)

**Théorème 3.2.6** Pour tout  $\mathcal{E} \in F$ - $D_{d\acute{e}v}^{b*}(\mathcal{D}_{\mathcal{P}}^{\dagger}(^{\dagger}T)_{\mathbb{Q}})$ , la formule  $L(\mathfrak{U},\mathcal{E},t) = P(\mathfrak{U},\mathcal{E},t)$  est validée.

Démonstration. Cela découle par dévissage de 3.2.5.

## 3.3. Analogue p-adique Weil II

On reprend les notations et hypothèses de 3.2.1. La proposition a été prouvée par Kedlaya (voir [Kedb, 5.10]).

Proposition 3.3.1 (Kedlaya) Soient Y un k-schéma lisse et de dimension pure n et E un F-isocristal surconvergent sur Y. Si E est de poids  $\iota$ -pure w, alors, pour tout  $r \in \mathbb{Z}$ ,  $H^r(Y; E)$  est de poids  $\iota$ -mixte  $\geq w + r$ .

La notion de poids pour F-isocristaux surconvergents s'étend naturellement aux complexes à fibres extraordinaires finies (voir la définition dans [Car04c]):

**Définition 3.3.2.** Soit  $\mathcal{E} \in F$ - $D_{\text{coh}}^{\text{b}}(\mathcal{D}_{\mathcal{P}}^{\dagger}(^{\dagger}T)_{\mathbb{Q}})$  à fibres extraordinaires finies, x un point fermé de P.

- 1.  $\mathcal{E}$  est de poids  $\iota$ -pure w en x si, pour tout  $r \in \mathbb{Z}$ ,  $\mathcal{H}^r i_x^!(\mathcal{E})$  est de poids  $\iota$ -pure w+r (au sens des F-isocristaux surconvergents);
- 2.  $\mathcal E$  est de poids  $\iota$ -mixte  $\geq w$  en x si, pour tout  $r \in \mathbb Z$ ,  $\mathcal H^ri_x^!(\mathcal E)$  est de poids  $\iota$ -mixte  $\geq w + r$ .

De plus,  $\mathcal{E}$  est de poids  $\iota$ -pure w (resp. de poids  $\iota$ -mixte  $\geq w$ ) s'il l'est en tout point fermé de P.

On peut voir le théorème qui suit comme un analogue p-adique de Weil II.

**Théorème 3.3.3** On suppose P de dimension pure  $d_P$  et soit  $\mathcal{E}$  un com-

plexe de F- $D^{\rm b}_{d\acute{e}\nu}(\mathfrak{D}^{\dagger}_{\mathfrak{P}}(^{\dagger}T)_{\mathbb{Q}})$ . Si  $\mathcal{E}$  est de poids  $\iota$ -pure w, alors,  $f_{T,+}(\mathcal{E})[-d_P]$  est de poids  $\iota$ -mixte  $\geq w$ .

Démonstration. Cela résulte par dévissage de 3.3.1 et de 2.3.10. 

#### Références

- P. BERTHELOT « Cohomologie rigide et cohomologie rigide à support propre. Deuxième partie ».
- [Ber90] P. BERTHELOT « Cohomologie rigide et théorie des  $\mathcal{D}$ -modules », p-adic analysis (Trento, 1989), Springer, Berlin, 1990, p. 80-124.
- [Ber96a] —, « D-modules arithmétiques. I. Opérateurs différentiels de niveau fini », Ann. Sci. École Norm. Sup. (4) 29 (1996), no. 2, p. 185–272.
- [Ber96b] P. BERTHELOT « Cohomologie rigide et cohomologie rigide à support propre. Première partie », Prépublication IRMAR 96-03, Université de Rennes, 1996.
- [Ber00] P. BERTHELOT « D-modules arithmétiques. II. Descente par Frobenius », Mém. Soc. Math. Fr. (N.S.) (2000), no. 81, p. vi+136.
- [Ber02] —, « Introduction à la théorie arithmétique des D-modules », Astérisque (2002), no. 279, p. 1–80, Cohomologies p-adiques et applications arithmétiques, II.
- [Car] D. CARO « D-modules arithmétiques surholonomes. », Prépublication.
- [Car02] D. CARO « Fonctions L associées aux D-modules arithmétiques », Thèse, Université de Rennes1, 2002.

- [Car03] D. CARO « Fonctions L associées aux  $\mathcal{D}$ -modules arithmétiques. Cas des courbes », Preprint of Dipartimento di Matematica pura ed applicata di Padova,  $n^0$  1, 2003
- [Car04a] D. CARO « Cohérence différentielle des F-isocristaux unités », C. R. Math. Acad. Sci. Paris 338 (2004), no. 2, p. 145–150.
- [Car04b] , « D-modules arithmétiques surcohérents. Application aux fonctions L », Ann. Inst. Fourier, Grenoble **54** (2004), no. 6, p. 1943–1996.
- [Car04c] D. CARO « Surcohérence : holonomie des F-isocristaux unités », Prépublication de l'Université de Sydney, 2004.
- [Del80] P. DELIGNE « La conjecture de Weil. II », *Inst. Hautes Études Sci. Publ. Math.* (1980), no. 52, p. 137–252.
- [dJ96] A. J. DE JONG «Smoothness, semi-stability and alterations », *Inst. Hautes Études Sci. Publ. Math.* (1996), no. 83, p. 51–93.
- [Elk73] R. ELKIK « Solutions d'équations à coefficients dans un anneau hensélien », Ann. Sci. École Norm. Sup. (4) 6 (1973), p. 553–603 (1974).
- [ÉLS93] J.-Y. ÉTESSE et B. LE STUM « Fonctions L associées aux F-isocristaux surconvergents. I. Interprétation cohomologique », Math. Ann. **296** (1993), no. 3, p. 557–576.
- [Éte02] J.-Y. ÉTESSE « Descente étale des F-isocristaux surconvergents et rationalité des fonctions L de schémas abéliens », Ann. Sci. École Norm. Sup. (4) **35** (2002), no. 4, p. 575–603.
- [Gro60] A. GROTHENDIECK « Éléments de géométrie algébrique. I. Le langage des schémas », *Inst. Hautes Études Sci. Publ. Math.* (1960), no. 4, p. 228.
- [Gro65] , « Éléments de géométrie algébrique. IV. Étude locale des schémas et des morphismes de schémas. II », Inst. Hautes Études Sci. Publ. Math. (1965), no. 24, p. 231.
- [Keda] K. S. KEDLAYA « Finiteness of rigid cohomology with coefficients ».
- [Kedb]  $\,$  , « Fourier transforms and p-adic "Weil II" ».
- [Ked04] K. S. KEDLAYA « Full faithfulness for overconvergent F-isocrystals », Geometric aspects of Dwork theory. Vol. I, II, Walter de Gruyter GmbH & Co. KG, Berlin, 2004, p. 819–835.
- [Mer72] D. MEREDITH « Weak formal schemes », Nagoya Math. J. 45 (1972), p. 1–38.
- [MNM90] Z. MEBKHOUT et L. NARVÁEZ-MACARRO « Sur les coefficients de de Rham-Grothendieck des variétés algébriques », p-adic analysis (Trento, 1989), Lecture Notes in Math., vol. 1454, Springer, Berlin, 1990, p. 267–308.
- [MW68] P. Monsky et G. Washnitzer « Formal cohomology. I », Ann. of Math. (2) 88 (1968), p. 181–217.
- [NH03] C. NOOT-HUYGHE « Un théorème de comparaison entre les faisceaux d'opérateurs différentiels de Berthelot et de Mebkhout–Narváez-Macarro », *J. Algebraic Geom.* **12** (2003), no. 1, p. 147–199.
- [Tsu02] N. TSUZUKI « Morphisms of *F*-isocrystals and the finite monodromy theorem for unit-root *F*-isocrystals », *Duke Math. J.* **111** (2002), no. 3, p. 385–418.
- [vdP86] M. VAN DER PUT « The cohomology of Monsky and Washnitzer », *Mém. Soc. Math. France (N.S.)* (1986), no. 23, p. 4, 33–59, Introductions aux cohomologies *p*-adiques (Luminy, 1984).
- [Vir00] A. VIRRION « Dualité locale et holonomie pour les  $\mathcal D$ -modules arithmétiques », Bull. Soc. Math. France **128** (2000), no. 1, p. 1–68.
- [Vir04] , « Trace et dualité relative pour les D-modules arithmétiques », Geometric aspects of Dwork theory. Vol. I, II, Walter de Gruyter GmbH & Co. KG, Berlin, 2004, p. 1039–1112.